



ใบรับรองวิทยานิพนธ์  
บัณฑิตวิทยาลัย มหาวิทยาลัยเกษตรศาสตร์

วิทยาศาสตร์มหาบัณฑิต (รังสีประยุกต์และไอโซโทป)  
ปริญญา

รังสีประยุกต์และไอโซโทป  
สาขา

รังสีประยุกต์และไอโซโทป  
ภาควิชา

เรื่อง การปรับปรุงความสามารถในการย่อยโปรตีนของกาเมาลีดสบู่คำโดยการฉายรังสีแกมมา

Protein Digestibility Improvement of *Jatropha curcas* Press Cake by Gamma Irradiation

ผู้วิจัย นายพิพัฒน์ พงษ์ จันทร์แดง

ได้พิจารณาเห็นชอบโดย

อาจารย์ที่ปรึกษาวิทยานิพนธ์หลัก

( ผู้ช่วยศาสตราจารย์วันวิสา สุดประเสริฐ, Ph.D. )

อาจารย์ที่ปรึกษาวิทยานิพนธ์ร่วม

( ผู้ช่วยศาสตราจารย์จำเริญ เที่ยงธรรม, Ph.D. )

หัวหน้าภาควิชา

( ผู้ช่วยศาสตราจารย์วันวิสา สุดประเสริฐ, Ph.D. )

บัณฑิตวิทยาลัย มหาวิทยาลัยเกษตรศาสตร์รับรองแล้ว

( รองศาสตราจารย์กัญจนा ชีระกุล, D.Agr. )

คณบดีบัณฑิตวิทยาลัย

วันที่ ..... เดือน ..... พ.ศ. ....

สิงหาคม มหาวิทยาลัยเกษตรศาสตร์

วิทยานิพนธ์

เรื่อง

การปรับปรุงความสามารถในการย่อยโปรตีนของกากเมล็ดสนูด์โดยการฉายรังสีแกมมา

Protein Digestibility Improvement of *Jatropha curcas* Press Cake by Gamma Irradiation

โดย

นายพิพัฒน์ พงษ์ จันทร์แดง

เสนอ

บัณฑิตวิทยาลัย มหาวิทยาลัยเกษตรศาสตร์

เพื่อความสมบูรณ์แห่งปริญญาวิทยาศาสตร์มหาบัณฑิต (รังสีประยุกต์และไอโซโทป)

พ.ศ. 2553

สิงห์ มหาวิทยาลัยเกษตรศาสตร์

พิพัฒน์พงษ์ จันทร์แดง 2553: การปรับปรุงความสามารถในการย่อยโปรตีนของกากระเมล็ดสนู่ด้วยการฉายรังสีแคมมา ปริมาณวิทยาศาสตร์บัณฑิต (รังสีประยุกต์และไอโซโทป) สาขาวิชารังสีประยุกต์และไอโซโทป ภาควิชาช่างสีประยุกต์และไอโซโทป อาจารย์ที่ปรึกษาวิทยานิพนธ์หลัก: ผู้ช่วยศาสตราจารย์วันวิสา สุคประเสริฐ, Ph.D.  
95 หน้า

งานวิจัยนี้ศึกษาผลของรังสีแคมมาต่อความสามารถในการย่อยโปรตีนของกากระเมล็ดสนู่ด้วยเทคนิคการย่อยในห้องปฏิบัติการ (*in vitro* digestibility) โดยนำเมล็ดสนู่ด้ำทั้ง 5 สายพันธุ์ได้แก่ KU BP-16, KU BP-20, KU BP-27, KU BP 78-9 และ KU BP 80-3 มาฉายรังสีแคมมาจากต้นกำเนิดรังสีโคบอดต์-60 ปริมาณรังสีคูคลีน 0, 10, 20, 30, 60 และ 100 กิโลเกรย์ ก่อนนำมาหีบห่ำมัน นำภาคที่ได้มาหาค่าความสามารถในการย่อยโปรตีนโดยวิธี Trinitrobenzene sulphonic acid (TNBS) ซึ่งเป็นหาราปริมาณแอลฟ-อะมิโนที่เกิดขึ้นเนื่องจากการทำงานของเอนไซม์โดยใช้ *L*-Alanine เป็นสารมาตรฐาน โดย primary amines ทำปฏิกิริยากับสาร TNBS ได้ผลิตภัณฑ์สีเหลืองมีค่าการดูดกลืนแสงสูงสุดที่ความยาวคลื่น 420 นาโนเมตร ผลการศึกษาพบว่ารังสีแคมมาที่ปริมาณ 60 กิโลเกรย์ เป็นปริมาณรังสีคูคลีนที่เหมาะสมต่อการเพิ่มความสามารถในการย่อยโปรตีนในกากระเมล็ดสนู่ด้วยตั้งแต่ร้อยละ 15-92 เมื่อเปรียบเทียบกับความสามารถในการย่อยโปรตีนของกลุ่มควบคุม โดยการฉายรังสีไม่มีผลต่อองค์ประกอบพื้นฐานทางโภชนาชของเมล็ดสนู่ด ได้แก่ ความชื้น ไขมัน เด็ก และ โปรตีน ยกเว้นปริมาณเยื่อไขที่มีปริมาณลดลงอย่างมีนัยสำคัญทางสถิติ ( $P<0.05$ ) หลังจากผ่านการฉายรังสีปริมาณ 60 กิโลเกรย์ และจากการศึกษาความสามารถในการย่อยโปรตีนของเมล็ดสนู่ดสายพันธุ์ KU BP-16 และ KU BP-20 พบร่างการฉายรังสีแคมมาสามารถเพิ่มความสามารถในการย่อยโปรตีนของกากระเมล็ดสนู่ดสำหรับรังสีที่สูงขึ้น และสามารถลดกิจกรรมของสารขับยับทริปชินลงได้ การฉายรังสีแคมมาจึงเป็นทางเลือกหนึ่งที่สามารถเพิ่มนูลด่าให้กับกากระเมล็ดสนู่ดและสนับสนุนให้มีการใช้ประโยชน์จากสนู่ดอย่างครบวงจร

Pipatpong Chundang 2010: Protein Digestibility Improvement of *Jatropha curcas* Press Cake by Gamma Irradiation. Master of Science (Applied Radiation and Isotopes), Major Field: Applied Radiation and Isotopes, Department of Applied Radiation and Isotopes. Thesis Advisor: Assistant Professor Wanwisa Sudprasert, Ph.D. 95 pages.

The study was conducted to investigate the effect of gamma radiation on protein digestibility of *Jatropha curcas* press cake using *in vitro* digestibility technique. Five varieties of *Jatropha curcas* seeds, i.e., KU BP-16, KU BP-20, KU BP-27, KU BP 78-9 and KU BP 80-3, were subjected to Cobolt-60 gamma radiation at 0, 10, 20, 30, 60 and 100 kGy. All treated seeds were defatted by screw press. *In vitro* protein digestibilities in defatted seeds were assayed using trinitrobenzene sulphonic acid (TNBS) method, by which the contents of alpha-amino induced from the function of enzymes were determined. The absorbance of yellow products generated from the reaction of primary amine and TNBS was obtained at the maximum wavelength of 420 nm. It was found that irradiation treatment at 60 kGy significantly increased the protein digestibility by 15-92 %, compared to controls or 0 kGy ( $P < 0.05$ ). The results showed that moisture, crude protein, fat and ash were unchanged by irradiation whereas fiber was significantly decreased at 60 kGy radiation. The relationship between trypsin inhibitor activity and protein digestibility of irradiated *Jatropha curcas* press cake (KU BP-16 and KU BP-20) was studied. It was found that the protein digestibility was negatively correlated with trypsin inhibitor activity for all doses studied. Therefore, irradiation could serve as a possible processing method for protein utilization improvement in defatted *Jatropha curcas* seeds before using as a protein supplement in animal feed.

---

Student's signature

---

Thesis Advisor's signature

## กิตติกรรมประกาศ

ขอทราบขอบพระคุณ ผู้ช่วยศาสตราจารย์ ดร.วันวิสา สุดประเสริฐ ประธานกรรมการที่ปรึกษา ที่ได้กรุณาให้คำปรึกษา ให้ความรู้ ให้คำแนะนำ ตลอดจนแนวทางในการทำวิทยานิพนธ์ และกรุณาตรวจสอบแก้ไขจนวิทยานิพนธ์ฉบับนี้เสร็จสมบูรณ์ ขอขอบพระคุณ ผู้ช่วยศาสตราจารย์ ดร. จำเริญ เที่ยงธรรม กรรมการที่ปรึกษา ที่ได้กรุณาให้คำแนะนำและตรวจสอบแก้ไขวิทยานิพนธ์จนเสร็จสมบูรณ์ ขอขอบพระคุณ รองศาสตราจารย์ ดร.อุทัยวรรณ โภวิทวี ที่ได้ให้คำแนะนำแนวทางในการทำวิจัยประกอบวิทยานิพนธ์ จนเสร็จสมบูรณ์

ขอทราบขอบพระคุณคณาจารย์ทุกท่านที่ประส蒂ทึปประจำวิชาจนสำเร็จการศึกษาและรวมทั้งเจ้าของผลงานวิจัยที่ข้าพเจ้าได้นำมาใช้อ้างอิงประกอบวิทยานิพนธ์

ขอขอบคุณ นายกรุณ ทองประจุแก้ว นิสิตปริญญาเอก ภาควิชาวิทยาศาสตร์ชีวภาพ คณะวิทยาศาสตร์ มหาวิทยาลัยเกษตรศาสตร์ ที่ได้ให้คำแนะนำและให้คำปรึกษาตลอดการทำวิจัยประกอบวิทยานิพนธ์ และขอขอบคุณเพื่อนๆ รุ่นพี่และรุ่นน้องนิสิตภาควิชารังสีประยุกต์และไอโซโทปทุกท่านที่เคยให้คำปรึกษาและเป็นกำลังใจในการทำวิทยานิพนธ์ครั้งนี้ สำเร็จลุล่วงไปได้ด้วยดี

สุดท้ายนี้ขอทราบขอบพระคุณครอบครัวที่ให้การสนับสนุนให้ความรักและเป็นกำลังใจตลอดมา

พิพัฒน์ พงษ์ จันทร์แดง

มีนาคม 2553

## สารบัญ

หน้า

สารบัญ	(1)
สารบัญตาราง	(2)
สารบัญภาพ	(5)
คำอธิบายสัญลักษณ์และคำย่อ	(7)
คำนำ	1
วัตถุประสงค์	3
การตรวจสอบสาร	4
อุปกรณ์และวิธีการ	23
อุปกรณ์	23
วิธีการ	25
ผลและวิจารณ์	35
ผล	35
วิจารณ์	52
สรุปและข้อเสนอแนะ	58
สรุป	58
ข้อเสนอแนะ	59
เอกสารและดิจิทัล	60
ภาคผนวก	69
ประวัติการศึกษา และการทำงาน	95

## สารบัญตาราง

ตารางที่	หน้า
1 องค์ประกอบบนทางโภชนาะในเมล็ดสนู่ดำทั้ง 5 สายพันธุ์ที่ไม่ผ่านการฉายรังสี	36
2 ปริมาณความชื้นระหว่างกลุ่มควบคุมและกลุ่มฉายรังสีปริมาณ 60 และ 100 กิโลกรัม ทั้ง 5 สายพันธุ์	38
3 ปริมาณไขมันระหว่างกลุ่มควบคุมและกลุ่มฉายรังสีปริมาณ 60 และ 100 กิโลกรัม ทั้ง 5 สายพันธุ์	38
4 ปริมาณเยื่อไขกระหว่างกลุ่มควบคุมและกลุ่มฉายรังสีปริมาณ 60 และ 100 กิโลกรัม ทั้ง 5 สายพันธุ์	39
5 ปริมาณถ้าระหว่างกลุ่มควบคุมและกลุ่มฉายรังสีปริมาณ 60 และ 100 กิโลกรัม ทั้ง 5 สายพันธุ์	39
6 ปริมาณโปรตีนระหว่างกลุ่มควบคุมและกลุ่มฉายรังสีปริมาณ 60 และ 100 กิโลกรัม ทั้ง 5 สายพันธุ์	40
7 ค่าการดูดกลืนแสงที่ความยาวคลื่น 410 นาโนเมตร กับความเข้มข้นของ <i>p</i> -nitroaniline ตั้งแต่ 0.03-0.21 ไมโครโมลต่อมิลลิลิตร	41
8 ค่าการดูดกลืนแสงที่ความยาวคลื่น 410 นาโนเมตร ในกิจกรรมของเอนไซม์ทริปซินจากการคำนวณหากิจกรรมของเอนไซม์ทริปซินใน multienzyme	42
9 ค่าการดูดกลืนแสงที่ความยาวคลื่น 410 นาโนเมตร กับความเข้มข้นของ <i>L</i> -Alanine ตั้งแต่ 0.3-3 ไมโครโมลต่อมิลลิลิตร	43
10 ความสามารถในการย่อยโปรตีนในกาเมล็ดสนู่ดำทั้ง 5 สายพันธุ์ ที่ไม่ผ่านการฉายรังสี	44
11 ความสามารถในการย่อยโปรตีนในกาเมล็ดสนู่ดำทั้ง 5 สายพันธุ์ ที่ผ่านการฉายรังสีปริมาณ 60 กิโลกรัม	45
12 ผลของรังสีแคมมาต่อความสามารถในการย่อยโปรตีนของสนู่ดำ ทั้ง 5 สายพันธุ์	46

## สารบัญตาราง (ต่อ)

ตารางผนวกที่	หน้า
1 ผลการวิเคราะห์ความชื้นในเมล็ดสนู่ดำของตัวควบคุม (Control)	70
2 ผลการวิเคราะห์ความชื้นในเมล็ดสนู่ดำปริมาณรังสี 60 กิโลกรัม	71
3 ผลการวิเคราะห์ความชื้นในเมล็ดสนู่ดำปริมาณรังสี 100 กิโลกรัม	72
4 ผลการวิเคราะห์ไขมันในเมล็ดสนู่ดำของตัวควบคุม (Control)	73
5 ผลการวิเคราะห์ไขมันในเมล็ดสนู่ดำปริมาณรังสี 60 กิโลกรัม	74
6 ผลการวิเคราะห์ไขมันในเมล็ดสนู่ดำปริมาณรังสี 100 กิโลกรัม	75
7 ผลการวิเคราะห์เยื่อไขในเมล็ดสนู่ดำของตัวควบคุม (Control)	76
8 ผลการวิเคราะห์เยื่อไขในเมล็ดสนู่ดำปริมาณรังสี 60 กิโลกรัม	77
9 ผลการวิเคราะห์เยื่อไขในเมล็ดสนู่ดำปริมาณรังสี 100 กิโลกรัม	78
10 ผลการวิเคราะห์ถ้าในเมล็ดสนู่ดำของตัวควบคุม (Control)	79
11 ผลการวิเคราะห์ถ้าในเมล็ดสนู่ดำปริมาณรังสี 60 กิโลกรัม	80
12 ผลการวิเคราะห์ถ้าในเมล็ดสนู่ดำปริมาณรังสี 100 กิโลกรัม	81
13 ผลการวิเคราะห์โปรตีนในเมล็ดสนู่ดำของตัวควบคุม (Control)	82
14 ผลการวิเคราะห์โปรตีนเมล็ดสนู่ดำปริมาณรังสี 60 กิโลกรัม	83
15 ผลการวิเคราะห์โปรตีนในเมล็ดสนู่ดำปริมาณรังสี 100 กิโลกรัม	84
16 ค่าการดูดกลืนแสงที่ความยาวคลื่น 410 นาโนเมตร กับความเข้มข้น ของ <i>p</i> -nitroaniline ตั้งแต่ 0.03-0.21 ไมโครโมลต์/มิลลิลิตร	85
17 ค่าการดูดกลืนแสงที่ความยาวคลื่น 410 นาโนเมตร ในกิจกรรมเอนไซม์ ทริปซินจากการคำนวณหากิจกรรมของเอนไซม์ทริปซินใน multienzyme	86
18 ความสามารถในการย่อยโปรตีนในกาเมล็ดสนู่ดำทั้ง 5 สายพันธุ์ ที่ไม่ผ่านการฉายรังสี	87
19 ความสามารถในการย่อยโปรตีนในกาเมล็ดสนู่ดำทั้ง 5 สายพันธุ์ ที่ผ่านการฉายรังสีปริมาณ 10 กิโลกรัม	88
20 ความสามารถในการย่อยโปรตีนในกาเมล็ดสนู่ดำทั้ง 5 สายพันธุ์ ที่ผ่านการฉายรังสีปริมาณ 20 กิโลกรัม	89

## สารบัญตาราง (ต่อ)

	ตารางผนวกที่	หน้า
21	ความสามารถในการย่อยโปรตีนในกากเมล็ดสนู่ดำทั้ง 5 สายพันธุ์ ที่ผ่านการฉายรังสีปริมาณ 30 กิโลกรัม	90
22	ความสามารถในการย่อยโปรตีนในกากเมล็ดสนู่ดำทั้ง 5 สายพันธุ์ ที่ผ่านการฉายรังสีปริมาณ 60 กิโลกรัม	91
23	ความสามารถในการย่อยโปรตีนในกากเมล็ดสนู่ดำทั้ง 5 สายพันธุ์ ที่ผ่านการฉายรังสีปริมาณ 100 กิโลกรัม	92

## สารบัญภาพ

ภาพที่	หน้า
1 ต้นสนผู้ดำและช่อดอกของเมล็ดสนผู้ดำ	5
2 ผลของสนผู้ดำและเนื้อภายในเมล็ดมีสีขาว	5
3 โครงสร้างทางเคมีของ Tigiane	8
4 การเกิดปฏิกิริยาระหว่าง TNBS กับ Primary amines	20
5 เมล็ดสนผู้ดำที่ผ่านการหีบหักมันแบบเกลียวอัดและการเมล็ดสนผู้ดำที่ผ่านการบด	35
6 องค์ประกอบทางโภชนาในเมล็ดสนผู้ดำทั้ง 5 สายพันธุ์	37
7 ปริมาณโปรตีนในเมล็ดสนผู้ดำทั้ง 5 สายพันธุ์ที่ผ่านการฉายรังสีปริมาณ 60 และ 100 กิโลกรัม เทียบกับตัวอย่างที่ไม่ผ่านการฉายรังสี	40
8 ความสามารถในการย่อยโปรตีนในภาคเมล็ดสนผู้ดำของสายพันธุ์ KU BP-16 ที่ผ่านการฉายรังสี	47
9 ความสามารถในการย่อยโปรตีนในภาคเมล็ดสนผู้ดำของสายพันธุ์ KU BP-20 ที่ผ่านการฉายรังสี	47
10 ความสามารถในการย่อยโปรตีนในภาคเมล็ดสนผู้ดำของสายพันธุ์ KU BP-27 ที่ผ่านการฉายรังสี	48
11 ความสามารถในการย่อยโปรตีนในภาคเมล็ดสนผู้ดำของสายพันธุ์ KU BP 78-9 ที่ผ่านการฉายรังสี	48
12 ความสามารถในการย่อยโปรตีนในภาคเมล็ดสนผู้ดำของสายพันธุ์ KU BP 80-3 ที่ผ่านการฉายรังสี	49
13 ความสามารถในการย่อยโปรตีนในภาคเมล็ดสนผู้ดำทั้ง 5 สายพันธุ์ที่ปริมาณรังสีต่างๆ	49
14 กราฟแสดงความสัมพันธ์ระหว่างความสามารถในการย่อยโปรตีนและกิจกรรมของสารขับยับทริปซินของการเมล็ดสนผู้ดำสายพันธุ์ KU BP-16 และ KU BP-20 ที่ฉายรังสีปริมาณ 0-60 กิโลกรัม	51

## สารบัญภาพ (ต่อ)

ภาพนิวเคลียร์	หน้า
1 ภาพมาตราฐานแสดงความสัมพันธ์ระหว่างค่าการดูดกลืนแสงที่ 410 นาโนเมตร กับความเข้มข้นของสารละลายนามาตรฐาน <i>p</i> -nitroaniline (ไมโครโมลต์/มิลลิลิตร)	93
2 ภาพมาตราฐานแสดงความสัมพันธ์ระหว่างค่าการดูดกลืนแสงที่ 410 นาโนเมตรกับความเข้มข้นของสารละลายนามาตรฐาน <i>L</i> -alanine (ไมโครโมลต์/มิลลิลิตร)	94

## คำอธิบายสัญลักษณ์และคำย่อ

### คำอธิบายสัญลักษณ์

$K_2SO_4$  = Potassium Sulphate

$CuSO_4$  = Copper Sulphate

$H_2SO_4$  = Sulfuric acid

$NaOH$  = Sodium Hydroxide

$HCl$  = Hydrochloric acid

### คำย่อ

kGy = kilogray (กิโลกราฟต์)

$\mu\text{m}$  = micromolar (ไมโครโมลาร์)

$\text{mM}$  = millimolar (มิลลิโมลาร์)

$M$  = molar (โมลาร์)

$N$  = normal (นอร์มัล)

$\text{nm}$  = nanometre (นาโนเมตร)

# การปรับปรุงความสามารถในการย่อยโปรตีนของกากเมล็ดสนู่ดำ โดยการฉายรังสีแกมมา

## Protein Digestibility Improvement of *Jatropha curcas* Press Cake by Gamma Irradiation

### คำนำ

ไบโอดีเซล (Biodiesel) เป็นพลังงานทางเลือกหนึ่งสำหรับเครื่องยนต์ดีเซลซึ่งในอนาคตคาดว่าพลังงานไบโอดีเซลจะมีการแบ่งขันในด้านเศรษฐกิจ จึงมีความเหมาะสมอย่างยิ่งในการนำมาใช้ทดแทนน้ำมันปีโตรเลียมที่มีแนวโน้มลดลงอีกทั้งยังปล่อยค่าน้ำมันต่ำสุด (Veljkovic *et al.*, 2006) ในปัจจุบันไบโอดีเซลที่ผลิตจากกากเมล็ดสนู่ดำเป็นแหล่งพลังงานทดแทนที่มีการกล่าวถึงมากที่สุด โดยเมล็ดสนู่ดำที่นำมาใช้เป็นไบโอดีเซลประกอบด้วยโปรตีนประมาณร้อยละ 25-30 หลังจากการหีบน้ำมันแล้ว (Openshaw, 2000; Dianika *et al.*, 2010) กากเมล็ดสนู่ดำที่เหลือจากการหีบน้ำมันมีโปรตีนเทียบเท่ากับเมล็ดพืชที่ให้น้ำมันชนิดอื่น เช่น เมล็ดถั่วเหลือง เมล็ดทานตะวัน หรือเมล็ดฟักทอง แต่เมล็ดสนู่ดำประกอบด้วยสารพิษ เช่น curcin (Lin *et al.*, 2003) phorbol esters นอกจากนี้เมล็ดสนู่ดำยังประกอบด้วยสารต้านออกซิเดชัน เช่น lectin, saponin, phytate และสารยับยั้งทริปซินในปริมาณสูงซึ่งมีผลขับยั้งการทำงานของเอนไซม์ทริปซิน ทำให้สัตว์ไม่สามารถใช้ประโยชน์จากโปรตีนได้อย่างเต็มที่จึงไม่เหมาะสมที่จะนำมาใช้เป็นอาหารสัตว์ (Martinez *et al.*, 2006; Makkar and Becker, 1998)

กากเมล็ดสนู่ดำที่เหลือจากการหีบน้ำมันสามารถนำไปใช้ในการผลิตเป็นอาหารสัตว์ได้หากมีการกำจัดหรือลดปริมาณสารพิษหรือสารต้านออกซิเดชันเหล่านั้น ลงให้อยู่ในระดับที่ไม่สามารถทำอันตรายต่อร่างกายของสัตว์ รวมทั้งไม่มีผลกระทบต่อการให้ผลผลิตและการเจริญเติบโตของสัตว์ การลดกิจกรรมของสารดังกล่าวโดยทั่วไปสามารถทำได้หลายวิธี เช่น การใช้ความร้อนโดยการใช้หม้อนึ่งความดันไอน้ำ (Aderibigbe *et al.*, 1997; Martinez *et al.*, 2006) การคั่วในกระทะ (Makkar and Becker, 1998) และการใช้ความร้อนร่วมกับสารเคมี (Chivandi *et al.*, 2004) เป็นต้น

นอกจากนี้ การใช้รังสีแกมมาที่เป็นอิทธิพลต่อการย่อยโปรตีนในกระเพาะอาหาร ทำให้ความสามารถในการย่อยโปรตีนเพิ่มขึ้นหลังจากการฉายรังสี (Hania and Niely, 2007) รวมทั้ง องค์ประกอบของกรดอะมิโนที่เป็นส่วนประกอบของอาหาร ไก่เนื้อที่ผ่านการฉายรังสีไม่เปลี่ยนแปลง (Thayer, 1990)

ดังนั้น งานวิจัยนี้จึงสนใจศึกษาวิธีการเพิ่มความสามารถในการย่อยโปรตีนโดยใช้เทคนิค *in vitro protein digestibility* ในภาคเมล็ดสนู่ดคำที่ผ่านการฉายรังสีแกมมา ซึ่งเน้นการศึกษาผลของ รังสีแกมมาที่มีต่อความสามารถในการย่อยโปรตีนในเมล็ดสนู่ดคำที่ผ่านการพัฒนาสายพันธุ์โดยศูนย์วิจัย ข้าวโพดและข้าวฟ่างแห่งชาติ สถาบันอินทรีย์จันทร์สก็อตต์เพื่อการค้นคว้าและพัฒนาพืชศาสตร์ ที่ผ่าน การหีบนำมันแบบเกลียวอัด (screw press) ทั้งนี้ เพื่อให้ทราบถึงปริมาณรังสีที่เหมาะสมในการเพิ่ม ความสามารถในการย่อยโปรตีนในภาคเมล็ดสนู่ดและสร้างกราฟความสัมพันธ์ระหว่างผลของรังสี แกมมาต่อความสามารถในการย่อยโปรตีนของภาคเมล็ดสนู่ดคำกับผลของรังสีแกมมาต่อกรรมของ สารขับยั่งทريปซินในภาคเมล็ดสนู่ดคำจากการทดลองของ ศรabyuth (2551) กับเพื่อนำข้อมูลที่ได้เป็น แนวทางในการใช้ภาคเมล็ดสนู่ดคำเป็นแหล่งวัตถุดินอาหารสัตว์ต่อไปในอนาคต เป็นการสร้างมูลค่า เพิ่มให้กับภาคเมล็ดสนู่ดคำและสนับสนุนให้มีการใช้ประโยชน์จากสนู่ดคำอย่างครบวงจร

## วัตถุประสงค์

1. ศึกษาผลของรังสีแกมมาที่มีต่อองค์ประกอบพื้นฐานทางโภชนาะในเมล็ดสนู่ดำโดยวิธีวิเคราะห์โดยประมาณ (proximate analysis)
2. ศึกษาผลของรังสีแกมมาที่มีต่อความสามารถในการย่อยโปรตีนในภาคเมล็ดสนู่ดำโดยใช้เทคนิค *in vitro digestibility*
3. ศึกษาปริมาณรังสีแกมมาที่เหมาะสมต่อการเพิ่มความสามารถในการย่อยโปรตีนในภาคเมล็ดสนู่ดำ
4. เพื่อเปรียบเทียบความสามารถสัมพันธ์ระหว่างความสามารถในการย่อยโปรตีนกับกิจกรรมของสารขับยั่งทิริปซินในภาคเมล็ดสนู่ดำที่ผ่านการฉายรังสี

## การตรวจเอกสาร

สนุุ่ดำ (Physic nut) เป็นพืชชนิดหนึ่ง มีชื่อทางวิทยาศาสตร์ว่า *Jatropha curcas* เป็นพืชที่อยู่ในวงศ์ไม้ยางพารา Euphorbiaceae ซึ่งเพาะปลูกกันในแถบตอนกลางและตอนใต้ของอเมริกา เอเชียตะวันออกเฉียงใต้ ประเทศไทยและฟิลิปปินส์ (Schmook and Serralta, 1997) ต่อมามีการเพาะปลูกกันแพร่หลายมากขึ้นในแถบทวีปคลาตินอเมริกา ทวีปแอฟริกาและทวีปเอเชีย ทั้งนี้คำว่า *Jatropha* มีรากศัพท์ทางการแพทย์ของภาษากรีก 2 คำ คือ *iatros* แปลว่า หมอ และ *trophe* แปลว่า อาหาร ส่วนคำว่า *curcas* เป็นชื่อเรียกบริเวณเมือง Malabar ในประเทศอินเดีย นอกจากนี้สนุุ่ดำยังมีชื่อเรียกแตกต่างกันมากกว่า 200 ชื่อ เช่น purging nut (อังกฤษ) purgeernoot (เนเธอร์แลนด์) purgueira (โปรตุเกส) fagiola d' India (อิตาลี) เป็นต้น (Heller, 1996) ในประเทศไทยสนุุ่ดำเป็นชื่อเรียกในภาคกลาง ส่วนภาคอื่นๆ จะมีชื่อเรียกแตกต่างกันไป ภาคเหนือเรียกว่า มะหุ่งชี้วัว ภาคใต้เรียกว่า มะหงเทศ มะเคะ ลักษณะต่างกันน้อย ภาคเหนือเรียกว่า มะยา หรือ สีหลอด เป็นต้น (กลุ่มสื่อส่งเสริมการเกษตร, 2548)

### ลักษณะทางพฤกษศาสตร์

ต้นสนุุ่ดำเป็นพืชที่มีจำนวนโкорโนมโขมแบบดิพโลยอด (Heller, 1996) เป็นไม้พุ่มยืนต้นขนาดกลาง สูงประมาณ 2-7 เมตร ลำต้นมีลักษณะเกลี้ยงเกลา ในเริบมี 4 แฉก คล้ายใบกระหุ่ง แต่มีหยักด้านกว่า ในที่เจริญเติบโตเต็มที่ มีขนาดเท่าฝ่ามือ ลำต้น ใบ ผล และเมล็ด มีสาร hydrocyanic acid ได้มีอหักลำต้น ส่วนยอดหรือส่วนก้านใบจะมีyangสีขาววุ่นคล้ายน้ำนมไหลอออกมา มีกลิ่นเหม็นเจียว ต้นสนุุ่ดำออกดอกเป็นช่อกระ冢กที่ข้อส่วนปลายของยอด ขนาดดอกเล็กสีเหลืองมีกลิ่นหอมอ่อนๆ (ภาพที่ 1) มีดอกตัวผู้จำนวนมากและดอกตัวเมียจำนวนน้อยอยู่บนต้นเดียวกัน เมื่อติดผล แล้วมีสีเขียวอ่อนเกลี้ยงเกลาเป็นช่อพวงมีหลายผล เวลาสุกแก่จัดมีสีเหลืองคล้ายลูกจัน เมล็ดมีสีดำและเนื้อภายในเมล็ดมีสีขาว ดังภาพที่ 2 (กลุ่มสื่อส่งเสริมการเกษตร, 2548)



(ก) ต้นสนูป์ดำ



(ข) ช่อดอกของเมล็ดสนูป์ดำ

ภาพที่ 1 ต้นสนูป์ดำและช่อดอกของเมล็ดสนูป์ดำ

ที่มา: กลุ่มสื่อส่งเสริมการเกษตร (2548)



ภาพที่ 2 ผลของสนูป์ดำและเนื้อ果ภายในเมล็ด

ที่มา: กลุ่มสื่อส่งเสริมการเกษตร (2548)

ภายในเมล็ดสนู่ด้ำประกอบด้วย เนื้อสีขาว (albumin หรือ kernel) ซึ่งประกอบด้วยน้ำมันถึงร้อยละ 50-60 ของเนื้อเมล็ด โดยร้อยละ 21 ของน้ำมันเป็นกรดไขมันอิ่มตัว และอิกร้อยละ 79 เป็นกรดไขมันไม่อิ่มตัว น้ำมันในเมล็ดประกอบด้วยกลุ่มสารเคมีหลายชนิด เช่น palmitic acid, linoleic acids, ricinoleic acids, oleic acid, stearic acid และ crotonoleic acids (Makkar *et al.*, 1997) และยังพบสารในกลุ่ม campesterol, stigmasterol,  $\beta$ -sitosterol,  $\Delta^5$ -avenasterol และ  $\Delta^7$ -stigmasterol ซึ่งเป็นสารที่พบในพืชที่ให้น้ำมัน (Akintayo, 2004) นอกจากนี้ยังพบว่าเนื้อในของเมล็ดสนู่ด้ำที่สกัดน้ำมันออกแล้วมีปริมาณของเส้นใยธรรมชาติร้อยละ 3.5-6.1 (Makkar *et al.*, 1997) และกรดอะมิโนจำเป็นอยู่สูง ยกเว้น lysine เมื่อเทียบกับมาตรฐานขององค์การ FAO/WHO เช่น cystine, methionine, valine, isoleucine, leucine, tyrosine, phynylalanine, histidine, และ threonine ในปริมาณตั้งแต่ 1.60-1.81, 1.38-1.58, 3.79-4.72, 3.08-3.98, 5.92-7.61, 2.45-4.94, 3.82-5.76, 2.65-3.03 และ 3.15-3.85 g  $16\text{ g}^{-1}\text{N}$  ตามลำดับ (Martinez-Herrera *et al.*, 2006)

### การใช้ประโยชน์จากเมล็ดสนู่ด้ำ

เนื่องจากสนู่ด้ำเป็นพืชที่มีคุณสมบัติให้น้ำมันและให้โปรตีนสูง (Makkar *et al.*, 1998) จึงมีการนำไปใช้ประโยชน์อย่างมากมาย โดยน้ำมันที่สกัดได้จากเมล็ดสนู่ด้ำมีคุณสมบัติช่วยในการหล่อลื่นเครื่องยนต์ดีเซลและสามารถลดแทนน้ำมันดีเซลได้ นอกจากนี้ยังใช้เป็นเชื้อเพลิงสำหรับให้แสงสว่างภายในบ้านเนื่องจากมีคุณสมบัติคล้ายน้ำมันก้าดแต่คุณสมบัติการเผาไหม้ไม่ดีเท่ากับน้ำมันก้าด น้ำมันที่ได้จากเมล็ดสนู่ด้ำมีค่า saponification value สูงซึ่งหมายความว่าสามารถใช้ผลิตสนู่ด้ำและมีการนำมาผลิตสนู่กันอย่างกว้างขวางในประเทศอินเดีย นอกจากนี้น้ำมันจากเมล็ดสนู่ด้ำมีคุณสมบัติในการฆ่าเชื้อและรักษาอาการอักเสบของผิวหนังและใช้เป็นยาแก้ท้องผูกและยาถ่ายพยาธิในสัตว์โดยนำเมล็ดสนู่ด้ำผสมกับอาหารในปริมาณ 0.0025 กรัมต่อกิโลกรัมของอาหารเพื่อใช้เป็นยาถ่ายในแพะ ปัจจุบันมีการนำเมล็ดสนู่ด้ำมาผลิตเป็นยาใช้ภายนอก เพื่อรักษาโรคผิวหนังและใช้เป็นยาทาแผลสัตว์เลี้ยงอิเก็ตัววัย (Adbel *et al.*, 2003)

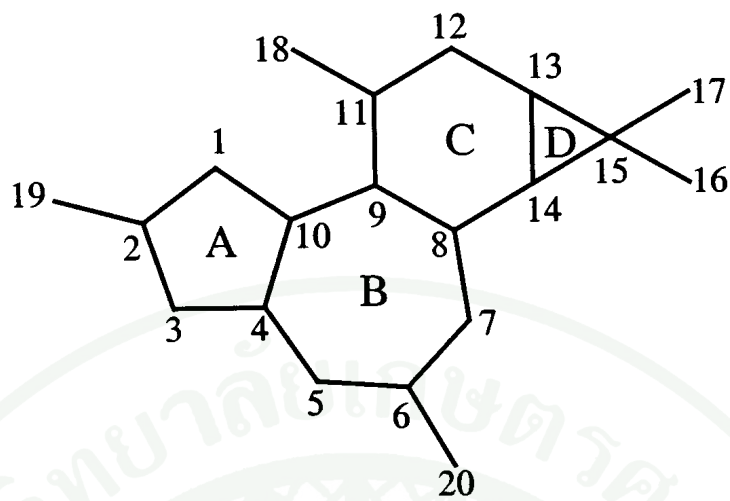
นอกจากนี้สารบางชนิดที่สกัดได้จากเมล็ดสนู่ด้ำยังสามารถใช้ควบคุมศัตรูพืชได้ เช่น ใช้ลดการเข้าทำลายของหนอนจะตันข้าว ควบคุมแมลงในฝ้าย มันฝรั่ง และข้าวโพด (Heller, 1996) ส่วนเมล็ดที่เหลือจากการสกัดน้ำมันมีปริมาณโปรตีนสูงถึงร้อยละ 31-34.5 (Martinez-Herrera *et al.*, 2006) จึงเหมาะสมที่จะนำไปใช้เป็นอาหารสัตว์ เช่น เป็ด ไก่ สุกร ควาย และ ปลา แต่ต้องใช้ในปริมาณที่จำกัด เนื่องจากมีปริมาณสารพิษและสารต้านโภชนาะอยู่ (Aderibrigde *et al.*, 1997)

## ความเป็นพิษในเมล็ดสนุุ่ดำ

แม้ว่ากากเนื้อในของเมล็ดสนุุ่ดำที่ผ่านการหีบห่ำมันเหมาะสมในการใช้เป็นอาหารสัตว์เนื่องจากมีโปรตีนสูงถึงร้อยละ 31-34.5 (Martinez-Herrera *et al.*, 2006; Liberalino *et al.*, 1988) และองค์ประกอบทางโภชนาณอื่นๆ เช่น ความชื้น เยื่อไข่ ไขมัน และเต้า ในปริมาณร้อยละ 0.57-0.83, 4.70-9.30, 44.83-49.67 และ 5.02-5.22 ตามลำดับ (ศราวุทธ, 2551) นอกจากรังนี้ยังมีค่าพลังงาน (gross energy) สูงถึง  $30.5\text{-}31.5 \text{ MJ kg}^{-1}$  แต่ต้องใช้ในปริมาณที่จำกัดเนื่องจากมีปริมาณสารพิษและสารต้านโภชนาณอยู่ (Aderibrigde *et al.*, 1997) เช่น phorbol esters, trypsin inhibitor, phytic, lectin, และ saponin (Martinez-Herrera *et al.*, 2006) ซึ่งสารเหล่านั้นนอกจากจะทำอันตรายต่อตัวสัตว์แล้วยังทำให้การเจริญเติบโตและการให้ผลผลิตของสัตว์ลดลง (Makkar, 1993) ดังนี้

### 1. Phorbol esters

Phorbol esters เป็นสารพิษหลักที่พบในเนื้อในของเมล็ดสนุุ่ดำ (Martinez-Herrera *et al.*, 2006) เนื้อในของเมล็ดสนุุ่ดำมี Phorbol esters 2-3 มิลลิกรัมต่อกิโลกรัมของเนื้อในเมล็ดและในน้ำมัน 2-4 มิลลิกรัมต่อกิโลกรัมของน้ำมัน (Makkar *et al.*, 1997) เป็นสารที่เกิดขึ้นเองตามธรรมชาติโดยมากจะพบในพืชตระกูล Euphorbiaceae และ Thymelaeaceae สาร phorbol esters นี้เป็นօสเทอร์ของ tigliane diterpenes (Gubitz, 1999) ภาพที่ 3 Tigiane เป็น tetracyclic diterpene เมื่อเกิดปฏิกิริยา Hydroxylation จะมีหมู่ hydroxyl (OH) เข้าจับกับสาร Tigiane ที่ตำแหน่งต่างๆ เกิดเป็นสารประเภท alcohol เกิดขึ้น เมื่อสารนี้รวมกับกรดก็จะเกิดเป็นสารประเภทօสเทอร์เกิดขึ้นและเรียกว่าเป็นพวก phorbol ester สาร phorbol ester จะมีผลที่เป็นอันตรายต่อสิ่งมีชีวิตต่างๆ ในแง่ของการส่งเสริมให้เกิดเนื้องอก (tumor promotion) การอักเสบ การบวมของผิวน้ำ เป็นต้น (Adolf, 1984) สาร phorbol ester นี้มีความจำเป็นที่จะต้องกำจัดออกจากน้ำมัน (detoxification) เพราะมีความเป็นไปได้ที่คนใช้น้ำมันจะสัมผัสถูกน้ำมันทำให้มีโอกาสได้รับสาร phorbol ester เข้าสู่ร่างกาย (Aregheore *et al.*, 2003) นอกจากนี้มีการทดลองให้น้ำมันจากเมล็ดสนุุ่ดำกับหนูที่ตั้งครรภ์ในปริมาณ 2 กรัมต่อน้ำหนักของร่างกาย มีผลทำให้เกิดความเป็นพิษแบบเฉียบพลัน โดยจะทำให้หนูที่ตั้งครรภ์นั้นแท้ง (Odusote *et al.*, 2002)



ภาพที่ 3 โครงสร้างทางเคมีของ Tiglane

ที่มา: Wilhelm and Martin (2000)

## 2. สารยับยั้งทริปซิน (Trypsin inhibitor)

พบในเมล็ดสนุ่ด้าปริมาณ 19-21 มิลลิกรัมต่อกรัมของเมล็ด (Aderibrigde *et al.*, 1997) และเนื้อในของเมล็ดสนุ่ด้าที่ผ่านการหีบนำ้มันปริมาณตั้งแต่ 18.4-27.5 มิลลิกรัมต่อกรัม (Makkar *et al.*, 1997) เป็นสารในกลุ่ม proteinase inhibitor (Siddhuraju *et al.*, 2002a) สามารถยับยั้งปฏิกิริยาการย่อยโปรตีน (proteolytic) ที่มี.enoen ใช้ม์ทริปซินเป็นตัวเร่งปฏิกิริยา (catalyst) เอน ใช้ม์ทริปซิน เป็น.enoen ใช้ม์ที่มีบทบาทสำคัญอย่างยิ่งต่อการย่อยโปรตีนในสัตว์หลายชนิดรวมทั้งมนุษย์ (Clarke and Wiseman, 2005) จัดเป็น.enoen ใช้ม์ในกลุ่ม proteinase หรือ proteolytic enzyme ที่มีคุณสมบัติในการสลายพันธะเปปไทด์ (-CO-NH-) ด้วยน้ำ (ปราณี, 2547) ดังนั้น สารยับยั้งทริปซินมีผลทำให้สัตว์ที่บริโภคอาหารที่มีสารยับยั้งทริปซินอยู่ไม่สามารถย่อย หรือใช้ประโยชน์จากโปรตีนได้อย่างเต็มที่ (Siddhuraju *et al.*, 2002a) นอกจากนี้การนำเมล็ดถั่วเหลืองที่มีสารยับยั้งทริปซินในปริมาณ 1.6 มิลลิกรัมต่อกรัมของอาหารหรือที่ปริมาณสูงกว่าให้กับปลา พบร่วมกับการเจริญเติบโตช้าลง และพบว่าปริมาณ 0.6 มิลลิกรัมต่อกรัมของอาหารไม่มีผลกระทบต่ออัตราการเจริญเติบโตของปลา (Wee and Shu, 1989) และการใช้เนื้อในของเมล็ดสนุ่ด้าเป็นแหล่งโปรตีนร้อยละ 23 ซึ่งไม่ผ่านกระบวนการให้ความร้อนในสูตรอาหารสำหรับปลา พบร่วมกับการเจริญเติบโตช้าและในกลุ่มที่ผ่านความร้อนไม่มีผลทำให้การเจริญเติบโตลดลง (Makkar *et al.*, 1999)

### 3. Phytic acid

Phytic acid (hexaphosphates of myo-inositol) มีโครงสร้างเป็น inositol ring ถูกจับด้วย phosphate 6 ตัว พบนากในพืชโดยเฉพาะในเมล็ด ส่วนใหญ่อยู่ในรูปของ phytate หรือจับกับโปรตีน ถูกสร้างและสะสมขึ้นในถั่วระหว่างการเจริญเป็นถั่วเมล็ดแก่ โดยเนื้อในของเมล็ดสนับได้มี phytate ประมาณร้อยละ 8.5-9.3 เนื่องจาก phytate มีคุณสมบัติในการจับกับแร่ธาตุได้หลายชนิด เช่น แคลเซียม เหล็ก สังกะสี แมgnีเซียม ซึ่งมีบทบาทในการขัดขวางการดูดซึมของแร่ธาตุเหล่านี้ (Duffus and Duffus, 1991; Martinez-Herrera *et al.*, 2006) นอกจากนี้ phytic acid ยังสามารถจับกับโปรตีนซึ่งจะไปขัดขวางการทำงานของเอนไซม์ เช่น ทริปซิน และเปปซิน ทำให้การย่อยได้และการดูดซึมของโปรตีนลดลง (Richardson *et al.*, 1985)

### 4. Saponin

Saponin เป็น glycoside ที่มีส่วน aglycone (sapogenin) เป็นสารจำพวกสเตอรอยด์หรือ triterpenoids มีคุณสมบัติเป็น detergent เมื่อละลายน้ำแล้วจะมีความเป็นพิษสูงต่อระบบหอยใจฟาง เหงื่อกของปลา (Fenwick *et al.*, 1991) นอกจากนี้คุณสมบัติของ saponin ยังมีบทบาทสำคัญในการเจริญเติบโตของสัตว์ โดยจะไปขัดขวางการย่อยโปรตีนของเอนไซม์iko ไม่ทริปซินในถั่วเหลือง (Shimoyamada *et al.*, 1998) เป็นต้น

### 5. Lectin

Lectin หรือ phytohaemagglutinins พบรูปในถั่วเหลืองและพืชเมล็ดแห้งชนิดอื่นๆ ในเมล็ดสนับได้มี lectin ประมาณ 0.35-1.46 มิลลิกรัม ของเนื้อเมล็ดต่อมิลลิลิตรของการสังเคราะห์ haemagglutinins (Martinez-Herrera *et al.*, 2006) โดย lectin จะไปขัดขวางการย่อยโปรตีนในถั่วเหลือง นอกจากนี้ lectin ยังสามารถลดคุณภาพของโปรตีนและลดอัตราการเจริญเติบโตในสัตว์ด้วย (Grant, 1991)

## การลดความเป็นพิษในเมล็ดสนู่ดា

การลดสารพิษและสารต้านโภชนาในเมล็ดสนู่ดា เช่น สารยับยั้งทริปซินนั้นสามารถกระทำได้หลายวิธี เช่น การใช้ความร้อน หรือการใช้ความร้อนร่วมกับสารเคมี และอีกวิธีหนึ่งที่สามารถลดสารพิษและสารต้านโภชนาในเมล็ดสนู่ด้าได้ ก็คือ การใช้รังสีแกมมา ดังนี้

### 1. การใช้ความร้อน

การใช้ความร้อน โดยการนึ่งที่อุณหภูมิ 100 องศาเซลเซียส (ความชื้นร้อยละ 67) นาน 30 นาที อุณหภูมิ 130 องศาเซลเซียส (ความชื้นร้อยละ 80) นาน 30 นาที และที่อุณหภูมิ 160 องศาเซลเซียส นาน 120 นาที ทำให้ปริมาณสารยับยั้งทริปซินจากเดิมที่มีอยู่ในเมล็ด 19-21 มิลลิกรัมลดลง 5, 4 และ 3 มิลลิกรัมต่อกรัมของเมล็ดตามลำดับ (Aderibigbe *et al.*, 1997) และการถ้าในกระทะนาน 15 นาที สามารถหยุดการทำงานของสารยับยั้งทริปซินได้ทั้งหมด (Makkar *et al.*, 1998)

### 2. การใช้ความร้อนร่วมกับสารเคมี

การใช้ความร้อนที่อุณหภูมิ 121 องศาเซลเซียส นาน 25 นาที ร่วมกับการใช้โซเดียมคาร์บอนเนต และการใช้ เอทานอล 90 เปอร์เซ็นต์ สามารถลดกิจกรรมของสารยับยั้งทริปซินในเนื้อในของเมล็ดสนู่ด้าที่ผ่านการทำให้น้ำมันจากเดิม 36.0 มิลลิกรัม ลงเหลือ 0.68 และ 0.58 มิลลิกรัมต่อกรัมของเมล็ดสนู่ด้า ตามลำดับ (Martinez-Herrera *et al.*, 2006)

### 3. การใช้รังสีแกมมา

นอกจากการใช้ความร้อนหรือการใช้ความร้อนร่วมกับสารเคมีแล้ว การฉายรังสีแกมมา ก็เป็นอีกทางเลือกหนึ่งที่สามารถลดกิจกรรมของสารยับยั้งทริปซินในเมล็ดสนู่ด้าโดยวิธีการฉายรังสี มีข้อดีกว่าวิธีอื่นหลายประการ เช่น การฉายรังสีทำได้ง่าย ใช้เวลาสั้น และรักษาคุณค่าทางโภชนาการไว้ได้ดี โดยมีการทดสอบคุณค่าทางโภชนาการและความเป็นพิษในข้าวสาลีที่ผ่านการฉายรังสีปริมาณ 0.2-2 กิโลกรัม ในหนูพบว่าไม่มีผลต่ออัตราการเจริญเติบโตหรือการสืบพันธุ์ของหนู (Hickman *et al.*, 1964; Fifield *et al.*, 1967) และการใช้รังสีแกมมาที่ปริมาณรังสีตั้งแต่ 10- 60 กิโลกรัม สามารถลด

กิจกรรมของสารยับยั้งทริปชินลดลงเฉลี่ยร้อยละ 11.30-60.29 ตามลำดับ และพบว่าองค์ประกอบทางโภชนาะไม่เปลี่ยนแปลงภายหลังจากการฉายรังสี (ศราษุทธ, 2551) และการฉายรังสีแกมมาที่ปริมาณ 1-50 กิโลกรัม ในกาเเฟเมล็ด karanja พบว่า สามารถลดกิจกรรมของสารยับยั้งเอนไซม์ทริปชินลงได้ และทำให้ความสามารถในการย่อยโปรตีนเพิ่มขึ้นตั้งแต่ 41.33-58.33 กรัมต่อ 100 กรัม โปรตีน (Rabab and Madhurima, 1997) นอกจากนี้การฉายรังสีแกมมาที่ปริมาณ 50-1000 กิโลกรัม ไม่ส่งผลต่อระดับโปรตีน คุณภาพของโปรตีนและกรดอะมิโนในอาหารของหนูทดลอง (Ford, 1976) ในขณะที่การใช้หนอนนึ่งความดันไอที่อุณหภูมิ 102 องศาเซลเซียสนาน 5 นาที มีผลต่อโครงสร้างโปรตีนในอาหาร (Provansal *et al.*, 1975) และการใช้สารเคมีที่เป็นตัวทำลายที่มีประสิทธิภาพสูง เช่น กรดไฮド록อลิกและโซเดียมไฮดรอกไซด์มีผลต่อสารโภชนาการในอาหาร (Siddhuraju *et al.*, 2002a)

### ผลของรังสีต่อสารชีวโมเลกุล

รังสี (radiation) เป็นพลังงานรูปแบบหนึ่งที่ปล่อยออกมานาจากแหล่งกำเนิดแล้วเคลื่อนที่ผ่านตัวกลาง ซึ่งพลังงานที่ปล่อยออกไปอาจอยู่ในรูปของคลื่นแม่เหล็กไฟฟ้า (electromagnetic radiation) หรือคำของอนุภาค (particle หรือ corpuscular radiation) ขึ้นกับคุณสมบัติทางฟิสิกส์ของรังสี โดยรังสีอาจถ่ายเทพลังงานโดยตรงให้กับสารชีวโมเลกุลทำให้เกิดการเปลี่ยนแปลงภายในโมเลกุล เรียกว่า การกระทำโดยตรง (direct effect) ซึ่งรังสีสามารถถ่ายเทพลังงานให้กับตัวกลาง หรือให้กับโมเลกุลทำให้อิเล็กตรอนภายในอะตอมหลุดออกเกิดเป็นโมเลกุลที่มีประจุไฟฟ้าขึ้น แล้วเกิดเป็นอนุมูลอิสระ (free radical) ในภายหลัง อนุมูลอิสระที่เกิดขึ้นนอกจากจะมีความไวในการทำปฏิกิริยาทางเคมีแล้วยังสามารถส่งผลต่อสารชีวเคมีภายในเซลล์ได้ จนทำให้สารชีวโมเลกุลภายในเซลล์เกิดการเปลี่ยนแปลง เรียกว่า การกระทำโดยอ้อม (indirect effect) ซึ่งรังสีอาจทำให้เกิดความผิดปกติที่เกิดขึ้นกับสารประกอบที่มีความสำคัญในกระบวนการ metabolism เพื่อการดำรงชีวิตของเซลล์ รวมทั้งหมาโมเลกุล (macro molecules) ได้แก่ พวก โปรตีน เอนไซม์ คาร์บอโนไซเดรท ไขมัน เป็นต้น รังสีก่อให้เกิดปฏิกิริยาได้ทั้งทางตรงและทางอ้อมกับสารประกอบเหล่านี้และทำให้คุณสมบัติเปลี่ยนแปลงไป คุณสมบัติที่อาจเปลี่ยนไป ได้แก่ (Casarett, 1968; Hall *et al.*, 1994; Siddhuraja *et al.*, 2002)

1. คุณสมบัติในการละลาย (solubility)
2. ความหนืด (viscosity)
3. คุณสมบัติในการดูดกลืนแสง (absorption spectra)
4. น้ำหนักโมเลกุล (molecular weight)
5. อัตราการตกตะกอน (sedimentation rate)
6. คุณสมบัติในการเป็นตัวนำไฟฟ้า (electrophoretic)

การเปลี่ยนแปลงคุณสมบัติของสารประกอบเหล่านี้เกิดจากการเปลี่ยนแปลงโครงสร้าง ทำให้ทำหน้าที่ผิดไปจากเดิม การเปลี่ยนแปลงโครงสร้างของสารประกอบเหล่านี้อาจเกิดขึ้นได้จากสาเหตุ 2 ประการ ดังนี้ (Casarett, 1968)

1. Degradation คือ การที่โมเลกุลใหญ่แตกออกเป็นหน่วยเล็กๆ สำหรับโมเลกุลที่ประกอบไปด้วยหน่วยที่เหมือนกันหลายหน่วยมาต่อกัน เมื่อเกิดการแตกหักมักจะเกิดขึ้นตรงแน่นที่เหมือนกัน ดังนั้น ถึงแม้ว่ารังสีจะถูกดูดกลืน ณ จุดใดก็ตามจะมีการถ่ายเทพลังงานมากขึ้นที่เกิดการแตกหักง่าย
2. Crosslinking โมเลกุลที่มีโครงสร้างยาวสามารถเกิดการเปลี่ยนแปลงโครงสร้างได้โดยการเชื่อมต่อกันของภายในโมเลกุลเดียวกัน (intramolecular crosslinking) เมื่อมีจุดที่ไวต่อปฏิกิริยาทางเคมีเกิดขึ้นบนเส้นโมเลกุลนั้นและส่วนนี้เป็นส่วนที่ไวต่อปฏิกิริยาอื่น เช่นเดียวกับการเกิด intramolecular crosslinking อาจเกิดการต่อ กันระหว่างโมเลกุลได้ (intermolecular crosslinking) ถ้าเกิดการ crosslinking มากไม่เพียงแต่โมเลกุลจะไม่สามารถทำหน้าที่ต่อไปได้และอาจจะไม่สามารถละลายอยู่ในระบบบันน์ๆ ได้ ซึ่งปรากฏการณ์เช่นนี้เรียกว่า การเกิดเจล (gel) เป็นต้น

### ผลของรังสีต่อ โปรตีน

โปรตีนเป็นสารอินทรีย์ซึ่งพบได้ในสิ่งมีชีวิตทุกชนิด มีโครงสร้างซับซ้อนและมีมวลโมเลกุลมาก โปรตีนมีหน่วยย่อย คือ กรดอะมิโน เรียงตัวกันด้วยพันธะเปปไทด์ โปรตีนมีหน้าที่สำคัญต่อโครงสร้างและกิจกรรมภายในเซลล์ของสิ่งมีชีวิตทุกชนิด โปรตีนในอาหารจึงเป็นแหล่งของกรดอะมิโนให้แก่สิ่งมีชีวิตที่ไม่สามารถสังเคราะห์กรดอะมิโนเหล่านี้ได้เอง (Maton *et al.*, 1993)

โปรตีนเป็นหนึ่งในมหไมเลกุล เช่นเดียวกันกับโพลีแซคคาไรด์ (คาร์โบไฮเดรต) และกรดนิวคลีอิก (สารพันธุกรรม) ซึ่งเป็นองค์ประกอบพื้นฐานของสิ่งมีชีวิต โดยมีโปรตีนหลายชนิดที่ทำหน้าที่เป็นโครงสร้างของเซลล์ เป็นเอนไซม์ เป็นฮอร์โมนบางชนิดเพื่อควบคุมการทำงานของระบบอวัยวะต่างๆ ในร่างกาย ไมเลกุลของโปรตีนประกอบด้วยสายของกรดอะมิโน อาจอยู่ในรูปร่างที่เป็นเส้นหรือเป็นก้อนกลม เมื่อโปรตีนได้รับรังสีจะทำการเปลี่ยนแปลง เช่น การเกิด polymerization การเกิด cross-linking ของไมเลกุลโปรตีนการขาดของสายโพลีเปปไทด์ การหลุดออกของหมู่ฟังก์ชันของกรดอะมิโน ซึ่งการเปลี่ยนแปลงดังกล่าวอาจทำให้ความเปลี่ยนแปลงทางคุณสมบัติของโปรตีนเปลี่ยนไปด้วย เช่น น้ำหนักของไมเลกุล ความสามารถในการละลายน้ำ รวมถึงการเปลี่ยนแปลงของรูปร่างและหน้าที่ของโปรตีน (Maton *et al.*, 1993)

### ผลของรังสีต่อคาร์โบไฮเดรต

คาร์โบไฮเดรตหรือแซคคาไรด์ (saccharides) คือ สารประกอบที่ประกอบด้วย แอลดีไฮด์ (aldehyde) หรือคีโตน (ketone) ที่ประกอบด้วยหมู่ไฮดรอกซิล (hydroxyl group) คาร์โบไฮเดรตมีทั้งชนิดที่ประกอบด้วยคาร์บอน 5 หรือ 6 ตัว เรียกว่า โนโนแซคคาไรด์ เช่น กลูโคส และฟรุกโตส หรือโนโนแซคคาไรด์ 2 ไมเลกุลเชื่อมต่อกัน เรียกว่า ไดแซคคาไรด์ หรือหลายๆ ไมเลกุลมาเชื่อมต่อกัน เรียกอีกอย่างว่า โพลีแซคคาไรด์ ซึ่งบทบาทและหน้าที่จะต่างกัน เช่น ไกลโคเจน และแป้ง เป็นตัวสะสมอาหารพวกราบ์โบไฮเดรตทำหน้าที่เป็นโครงสร้างเซลล์ ซึ่งผลของรังสีต่อโพลีแซคคาไรด์อาจทำให้เกิดการสลายพันธะ การแตกตัวของสายโซ่ หรือการเกิด depolymerization (Casarett, 1968) โพลีแซคการ์บนาคนิด เช่น glycogen จะทำหน้าที่สะสมอาหารพวกราบ์โบไฮเดรต และเซลลูโลส จะเป็นโครงสร้างของเซลล์พืชรังสีอาจทำให้เกิดปฏิกิริยา delignification และ decomposition ในสั้นไปของพืช เป็นต้น (Sandev and Karaiyanov, 1977)

### ผลของรังสีต่อไขมัน

ไขมันหรือลิปิด เป็นสารชีวไมเลกุลที่ไม่ละลายในน้ำ หรือสารประกอบไม่มีขี้ที่ละลายน้ำ น้อยตลอดจนละลายน้ำมาก พวกราบ์ที่ละลายน้ำมากจะเป็นสารประกอบจำพวกมีขี้ลิปิด ประกอบด้วยเอสเตอร์ ของกรดไขมัน และแอลกออล์สำหรับกรดไขมันนี้ มีทั้งประเภทอิมตัวและไม่อิมตัว และส่วนที่ໄວต่อรังสีของลิปิด คือ ส่วนของกรดไขมันไม่อิมตัวที่มีพันธะคู่ ตั้งแต่ 2 พันธะขึ้นไป เช่น กรดลิโนเลอิก (linoleic acid) ที่อยู่ในสภาพสารละลายเรติคอลจะทำปฏิกิริยากับไมเลกุลของกรด

ลิโนเลอิก ตรงส่วนของการบอนที่อยู่ระหว่างพันธะคู่ มีการดึงเอาไฮโดรเจนออกไป (dehydrogenase) และได้เป็น organic free radical ( $R^{\bullet}$ ) ซึ่งอาจทำให้เกิดกระบวนการ lipid peroxidation ทำปฏิกิริยา ร่วมกับ  $O_2$  ได้เป็น peroxy radical และทำปฏิกิริยากับโมเลกุลอื่นๆ ต่อไป (Casarett, 1968)

### การย่อยสลายโปรตีน

โปรตีน ประกอบด้วยสาย peptide ของกรดอะมิโนชนิดต่างๆ เรียงต่อกัน โปรตีนบางประเภท ประกอบด้วยสารอินทรีย์หรือสารอนินทรีย์ มาเชื่อมต่ออยู่ด้วยกัน เช่น นิวคลีโอโปรตีน ลิโพโปรตีน ไกลโคลโปรตีน เป็นต้น

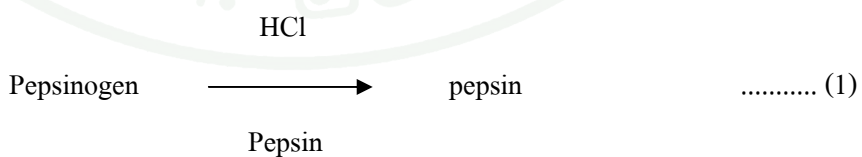
โปรตีนมีบทบาทสำคัญในกระบวนการทางชีวเคมีทุกชนิด โครงสร้างของโปรตีนเป็นสาย polypeptide คือ เป็นเส้นยาวไม่ค่อยละลายน้ำและมักทำหน้าที่เป็นโปรตีนโครงสร้าง เพราะความแข็งแรงยืดหยุ่นสูง เช่น โปรตีนคอลลาเจนในเส้นเอ็นและกระดูกทำหน้าที่เป็นโครงสร้างหลักของแคลเซียมฟอสเฟตมาเกาะ โปรตีนเกรติน และโปรตีนไฟบรอติน อีกส่วนหนึ่ง คือ โปรตีนทรงกลม (globular protein) ซึ่งมีโครงสร้างสาย polypeptide ขาดไปขดมาและอัดแน่นเป็นทรงกลมมีคุณสมบัติในการละลายน้ำ และทำหน้าที่เกี่ยวข้องกับกระบวนการต่างๆ ภายในเซลล์ เช่น โปรตีนที่ทำหน้าที่เอนไซม์เพื่อเร่งปฏิกิริยาในสิ่งมีชีวิต เช่น เอนไซม์ amylase และเอนไซม์ protease เป็นต้น เพื่อใช้ในการย่อยอาหาร (พจน์ และคณะ, 2540)

การย่อยอาหาร คือ กระบวนการแปรสภาพอาหารโมเลกุลใหญ่ให้มีขนาดโมเลกุลเล็กลง เพื่อการดูดซึมเข้าสู่เซลล์ สารอาหารพอกการโภชนาตริมัต ไขมัน และโปรตีน เท่านั้นที่ต้องผ่านกระบวนการย่อยเสียก่อน เกลือแร่ วิตามิน และน้ำ สามารถดูดซึมเข้าสู่เซลล์โดยไม่มีการเปลี่ยนแปลงทางเคมี ขั้นตอนการย่อยอาหารแบ่งออกเป็น 2 ขั้นตอน ดังนี้ (พจน์ และคณะ, 2540)

ขั้นตอนที่ 1 การย่อยเชิงกล (Mechanical digestion) อาหารโมเลกุลใหญ่ถูกทำให้ชิ้นเล็กลง โดยการบดเคี้ยวด้วยฟัน และทำให้อาหารคลุกเคล้ากันด้วยน้ำลายหรือการบีบตัวของทางเดินอาหาร (McDonald et al., 1988)

ขั้นตอนที่ 2 การย่อยทางเคมี (Chemical digestion) โดยโมเลกุลของสารอาหารโมเลกุลใหญ่ๆ จะเปลี่ยนสภาพให้มีโมเลกุลเล็กลงโดยใช้ออนไซม์ (enzyme) เป็นตัวเร่งปฏิกิริยา เอนไซม์ คือ อินทรียสารพากโปรตีน เพื่อทำหน้าที่กระตุ้นในปฏิกิริยาเคมีที่เกิดขึ้นภายในสิ่งมีชีวิตนั้น ปฏิกิริยาเคมีที่เกิดขึ้นนี้จะต้องมีนำเข้ามาร่วมในกระบวนการแตกสลายสารอาหาร โมเลกุลใหญ่ให้มีโมเลกุลเล็กลง เราเรียกกระบวนการแตกสลายสารอาหาร โมเลกุลใหญ่ให้มีโมเลกุลเล็กลง โดยอาศัยน้ำ เรียกว่า ไฮโดรคลิซิส (ปราณี, 2547)

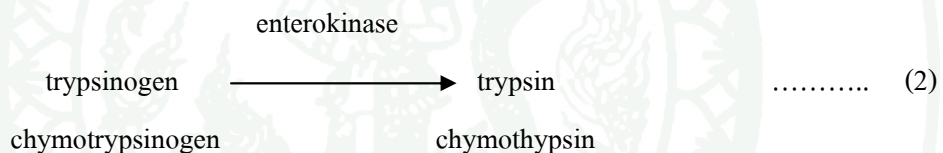
อาหาร โปรตีนจะถูกย่อยที่กระเพาะอาหาร โดยเมื่อเคลื่อนตัวเข้าสู่กระเพาะอาหาร โปรตีน จะกระตุ้นเซลล์ของกระเพาะอาหารในส่วนของแอนทรัม ให้หลังขอร์โภนแอกสทริน ซึ่งจะออกฤทธิ์ที่กระเพาะอาหาร ทำให้เซลล์บุผนังกระเพาะอาหาร (parietal cell) หลังกรดไฮโดรคลอริก และทำให้ชีฟเซลล์ (chief cell) หลังเอนไซม์เปปซิโนเจน (ทั้ง parietal cell และ chief cell จัดเป็นต่อมกระเพาะอาหารหรือ gastric gland) สารคัดหลัง (secretion) จากต่อมกระเพาะอาหารดังกล่าวเรียกว่า น้ำย่อยในกระเพาะ (gastric juice) ซึ่งมีค่า pH ต่ำมากประมาณ 2.5 ซึ่งเป็นผลมาจากการไฮโดรคลอริก ในกระเพาะอาหารความเป็นกรดของน้ำย่อยในกระเพาะอาหารนี้ทำให้มีคุณสมบัติเป็นสารระงับเชื้อ คือ สามารถทำลายเชื้อแบคทีเรียของสัตว์เซลล์เดียวบางชนิดที่ปนมากับอาหาร นอกจากนี้ยังทำหน้าที่เป็นตัวทำลายส่วนของสารชีวโมเลกุล ทำให้อาหาร โปรตีนในกระเพาะเสียสภาพและถูกย่อยง่ายขึ้นด้วยเอนไซม์ในกระเพาะอาหาร เอนไซม์ที่ย่อยสลายโปรตีน (proteolytic enzyme) ในกระเพาะอาหาร คือ เปปซิน ซึ่งถูกสังเคราะห์และหลังออกมานิรูปที่ยังไม่สามารถใช้งานได้ เรียกว่า เปปซิโนเจน จากนั้นจะถูกกระตุ้นด้วยกรดไฮโดรคลอริกในกระเพาะอาหารและเปลี่ยนเป็นเอนไซม์ เปปซิน ซึ่งเป็นรูปที่ทำงานได้ เอนไซม์นี้จะไปกระตุ้นให้เปปซิโนเจน โมเลกุลอื่นๆ เปลี่ยนเป็นเอนไซม์ เปปซินได้อีก เรายังกระบวนการย่อยตัวเองแบบนี้ว่า การเร่งสลายตัวเอง (autocatalysis) ดังสมการที่ 1



เอนไซม์ย่อยสลายโปรตีนหลายๆ ชนิดในทางเดินอาหารมักถูกสังเคราะห์และหลังออกมานิรูปของเอนไซม์ที่ยังใช้งานไม่ได้ และจะถูกกระตุ้นให้ออกในรูปทำงานได้โดยการเกิดการเร่งสลายตัวเอง ดังนี้ (พจน์ และคณะ, 2540)

อาหารในกระเพาะอาหารซึ่งขณะนี้มีคุณที่เป็นกรดจะเคลื่อนตัวไปยังลำไส้เล็ก ความเป็นกรดนี้จะกระตุนให้มีการหลั่งฮอร์โมนซีรีตินจากเซลล์เยื่อบุผนังของลำไส้เล็กส่วนต้น (duodenum) ซีรีตินจะกระตุนให้ตับอ่อนหลั่งสารละลายไปcarboxonate ลงสู่ลำไส้เล็กเพื่อทำให้อาหารมีคุณที่เป็นกลาง (pH 7-8) และการย่อยโปรตีนในลำไส้เล็กสามารถดำเนินการต่อไป กรดอะมิโนบางส่วนที่ได้จากการย่อยโปรตีนในกระเพาะอาหาร เมื่อเข้ามาสู่ลำไส้เล็กจะไปกระตุนการหลั่งเอนไซม์ย่อยสลายโปรตีนหลายชนิดจากตับอ่อน โดยเอนไซม์เหล่านี้ทำงานได้ดีที่ pH ประมาณ 7-8

เอนไซม์ย่อยสลายโปรตีนที่หลั่งจากต่อมเอ็กซ์ครีน (exocrine gland) ในตับอ่อนเมื่อลงมาสู่ลำไส้เล็กจะอยู่ในรูปที่ยังทำงานไม่ได้หรือไซโโนเจนทั้งสิ้น ได้แก่ ทริปซิโนเจน ไอโโนทริปซิโนเจนและโพรงรับออกซิเปปทิเดส จะถูกกระตุนโดยเอนไซม์อีกชนิดหนึ่งเรียกว่า เอนเทอโรไคเนส ทำให้ทริปซิโนเจนเปลี่ยนเป็นทริปซินและไอโโนทริปซิน ซึ่งอยู่ในสภาพที่สามารถย่อยโปรตีนได้ดังสมการที่ 2



เอนไซม์ที่ย่อยสลายโปรตีนดังกล่าวแล้วข้างต้น มีความจำเพาะเจาะจงในการตัดหรือทำลายพันธะเปปไทด์ในโปรตีนที่คำແน่งแตกต่างกัน

เอนไซม์เปปซินตัดพันธะเปปไทด์ตรงตำแหน่งที่เป็นกรดอะมิโนชนิดแอลiformatic ได้แก่ ไทโรซีน (Tyr) ทริปโทฟেน (Trp) และฟีนิโลลอลานีน (Phe) รวมทั้ง ลิวีซีน (Ieucine, Leu)

เอนไซม์ทริปซินตัดพันธะเปปไทด์ทางด้านหนู่ -COOH ของกรดอะมิโนไลซีน (Lys) และ อาร์จินีน (Arg)

เอนไซม์โคโมทริปชิน ตัดพันธะเปปไทด์ที่มีกรดอะมิโนชนิดแอลามิโน ได้แก่ Tyr, Trp และ Phe หลังจากเอนไซม์ทั้ง 3 ชนิดดังกล่าวได้ทำการตัดหรือการย่อของโปรตีนที่ตำแหน่งที่จำเพาะเจาะจงแตกต่างกันแล้ว จะได้โมเลกุลโปรตีนขนาดเล็กลงและมีสายเปปไทด์สั้นๆ มาก many ซึ่งจะถูกย่อยต่อจนสมบูรณ์ได้เป็นกรดอะมิโนอิสระ โดยเอนไซม์อีก 2 ชนิดคือ คาร์บอокซิเปปติเดส และอะมิโนเปปติเดส โดยมีการตัดกรดอะมิโนออกที่ละตัวจากปลายคาร์บอชิล และปลายอะมิโนตามลำดับ ในที่สุดจะได้เป็นกรดอะมิโนอิสระ เอนไซม์คาร์บอокซิเปปติเดสนี้จะสังเคราะห์และหลังจากตับอ่อนลงสู่ลำไส้เล็กในรูปที่ยังทำงานไม่ได้ คือ โปรคราร์บอокซิเปปติเดส ส่วนอะมิโนเปปติเดส จะถูกสังเคราะห์และหลังจากเซลล์ของลำไส้เล็กเอง กรดอะมิโนอิสระที่เกิดขึ้นจะถูกดูดซึมผ่านเซลล์เยื่อบุของลำไส้เข้าสู่กระเพาะเลือด และขนส่งไปยังตับเพื่อส่งต่อไปเลี้ยงส่วนต่างๆ ของร่างกาย

อาหารโปรตีนส่วนใหญ่จะถูกย่อยเป็นกรดอะมิโนอิสระก่อน จึงจะถูกดูดซึมที่ลำไส้เล็กส่วนกลาง (jejunum) นอกจากรูปนี้ยังมีการดูดซึมในรูปของไคเปปไทด์ ซึ่งจะถูกย่องลงสมบูรณ์เป็นกรดอะมิโนอิสระที่เซลล์เยื่อบุผนังลำไส้เล็ก กรดอะมิโนอิสระจะถูกขนส่งผ่านทางผนังลำไส้เล็กเข้าสู่เลือดและเพื่อนำไปตับอีกทีหนึ่ง กรดอะมิโนจะถูกขนส่งผ่านชั้นเซลล์เยื่อบุลำไส้เล็กไปยังเยื่อเลือม (serosa) โดยมีวิตามินบี 6 (pyridoxyl phosphate) ช่วยในการขนส่ง กระบวนการขนส่งนี้ต้องการพลังงานในรูป ATP โดย กรดอะมิโน หรือโซเดียม จะช่วยพากรดอะมิโนหรือไคเปปไทด์จับกับโปรตีนขนส่งจำเพาะ (specific transport protein) ซึ่งต้องการโซเดียม จากนั้นโซเดียมจะช่วยพากรดอะมิโนหรือไคเปปไทด์เข้าไปในเซลล์อีกทีหนึ่ง เราเรียกกลไกการขนส่งนี้ว่า “sodium co-transport mechanism” หรือ secondary active transport อย่างไรก็ตามกรดอะมิโนบางตัวไม่ได้ใช้กลไกนี้ขนส่งหรือดูดซึม แต่ใช้โปรตีนขนส่งตัวอื่นที่ไม่ต้องการโซเดียม เราอาจจำแนกระบบทนส่งกรดอะมิโนได้เป็น 4 ระบบ คือ ระบบขนส่งสำหรับกรดอะมิโนชนิดแอลามิโนและเป็นกลาง ระบบขนส่งสำหรับกรดอะมิโนซิสเตอีน และกรดอะมิโนชนิดที่เป็นเบสคือ Arg, Lys และ His ระบบขนส่งสำหรับกรดอะมิโนไกลีน, โพรลีน และระบบขนส่งกรดอะมิโนชนิดเป็นกรด คือ กรดกลูตามิกรและกรดแอลฟាទาติก (พจน์ และคณะ, 2540)

### การประเมินค่าโภชนาที่ย่อยได้ในอาหารสัตว์

การประเมินค่าโภชนาของอาหารโดยการวัดองค์ประกอบทางโภชนาที่สามารถนำไปใช้ประโยชน์ได้นั้น ไม่สามารถลดได้จากลักษณะคุณภาพของอาหาร เนื่องจากว่าปฏิกรรมระหว่างองค์ประกอบทางเคมีของอาหารกับระบบการย่อยและทางเดินอาหารของสัตว์แตกต่างกันในสัตว์

กระเพาะเดี่ยวและสัตว์คีบยาอีอง นั้นมีอิทธิพลต่อการประเมินโภชนาะในอาหาร เป็นต้น (Gordon, 2008) ระบบทางเดินอาหารของสัตว์แต่ละชนิดมีความแตกต่างกันออกไป เช่น สัตว์กระเพาะเดี่ยว ต้องเคี้ยวอาหารให้ละเอียดก่อนที่จะกลืนอาหารลงกระเพาะ สัตว์บางชนิดอย่างสัตว์ปีกซึ่งไม่มีฟัน จะกลืนอาหารเป็นชิ้นลงกระเพาะแต่จะมีอวัยวะพิเศษสำหรับบดย่อยอาหาร ในสัตว์คีบยาอีองจะเคี้ยวอาหารอย่างหนาๆ กลืนลงกระเพาะปล่อยให้น้ำย่อยและจุลินทรีย์ในกระเพาะทำการหมักให้อาหารอ่อนตัวก่อนที่จะขยอกอาหารออกมากีบยาให้ละเอียดอีกรอบหนึ่ง (Herren, 1998; Mcdonal *et al.*, 1988) การประเมินค่าการย่อยได้ของโภชนาสารถกระทำได้หลายวิธี ดังนี้

### 1. วิธี *In vivo*

เป็นวิธีการและขั้นตอนในการทำการย่อยได้โดยให้สัตว์กินอาหารและเก็บตัวอย่างอาหารจากนูนที่สัตว์ขับถ่ายออกมาก่อนเพื่อวิเคราะห์หาค่าโภชนาะที่ย่อยได้ของวัตถุแห่ง โดยแสดงเป็นค่าร้อยละของการย่อย หรือค่าสหสัมพันธ์ (coefficient) ยกตัวอย่างเช่น ถ้าวัตถุกินหลักแห่ง 9 กิโลกรัมที่ประกอบด้วยวัตถุแห่ง 8 กิโลกรัม จากนั้นขับถ่ายออกมา 3 กิโลกรัมของวัตถุแห่งในนูน ดังนั้นการย่อยได้ของวัตถุแห่งในหลักแห่ง มีค่าเท่ากับ

$$\frac{8 - 3}{8} = 0.625 \text{ หรือ } \frac{8 - 3}{8} \times 100 = 62.5 \text{ เปอร์เซ็นต์}$$

ซึ่งค่าที่คำนวณได้นั้น บอกให้ทราบถึงวัตถุแห่งที่สัตว์ย่อยและถูกดูดซึมและส่วนอาหารที่ไม่ถูกย่อยจะขับถ่ายออกมาก่อนรูปของนูน ซึ่งการประเมินด้วยวิธีนี้จะต้องใช้สัตว์ทดลองจำนวนมาก และต้องคัดเลือกสายพันธุ์ อายุ เพศ ให้มีความใกล้เคียงกันเพื่อป้องกันข้อผิดพลาดที่อาจเกิดขึ้นในการประเมินค่าการย่อยของโภชนาะที่วัดได้จากสัตว์ที่ทำการทดลอง (Mcdonal *et al.*, 1988)

### 2. วิธี *In sacco* และ *In vitro*

เนื่องจากว่าการหาค่าการย่อยได้ของโภชนาด้วยวิธี *In vivo* เสียค่าใช้จ่ายสูงใช้แรงงานและเวลา多く แต่ย่างไรก็ตามยังมีวิธีการทดสอบในห้องปฏิบัติการ (*In vitro*) หลายวิธี ซึ่งเป็นวิธีการที่สะดวก และประหัดกว่า สามารถใช้ทำนายค่า *In vivo* ได้ ดังนั้น *In sacco* และ *In vitro* เป็นการจำลองปฏิกิริยาทางเคมีที่เกิดจากการทดสอบโดยวิธี *In vivo* โดยทำการทดลองการประเมิน

ค่าโภชนาะที่ย่อยได้ในห้องปฏิบัติการ (Gordon, 2008) เช่น การศึกษาการหมักย่อยของโภชนาชนะิดหนึ่งชนิดใดในวัตถุดินอาหารสัตว์สามารถทำได้โดยวิธี *In sacco* หรือ *In situ* ทำได้โดยอาศัยสัตว์ที่ผ่านการเจาะกระเพาะรูเมน โดยชั่งตัวอย่างอาหารประมาณ 3 กรัม ใส่ในถุงที่ทำมาจากไนล่อนหรือ terylene โดยนำตัวอย่างอาหารบ่มในสัตว์ที่ผ่านการเจาะกระเพาะที่ต้องการศึกษาการย่อยได้ นาน 48 หรือมากกว่า 120 ชั่วโมง อิทธิพลที่มีผลต่อการประเมินคุณค่าโภชนาะที่ย่อยได้ด้วยวิธีนี้ คือ ประเภทของอาหารที่ทดลอง ประเภทของสัตว์เดียวอีกที่เจาะกระเพาะ ขนาดและรูปร่างของตัวอย่างวัตถุดินอาหาร และการนำเอาถุงไนล่อนออกจากกระเพาะรูเมนมาถึงทำความสะอาดจากเศษอาหารที่ติดภายในถุงด้วย (Mehrez and Ørskov, 1977)

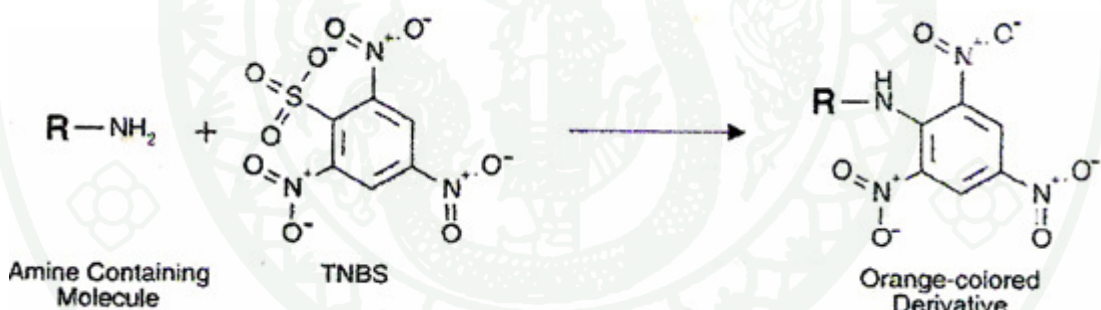
วิธี *In vitro* โดยการวิเคราะห์ปริมาณการย่อยได้ของพืชอาหารสัตว์จากการหมักย่อยของจุลินทรีย์จากการรูเมนในหลอดทดลอง แบ่งออกเป็น 2 วิธี คือ

1. First stage โดยการหมักย่อยด้วยจุลินทรีย์จากการรูเมนขั้นตอนเดียว
2. Two stage เป็นขั้นตอนที่เพิ่มเติมจาก First stage โดยหลังจากการบ่มในหลอดทดลอง เป็นเวลา 48 ชั่วโมงแล้ว ทำการย่อยต่ออีก 48 ชั่วโมงด้วยเอนไซม์เปปซินเป็นเวลา 48 ชั่วโมง ทั้งนี้เนื่องจากว่าวิเคราะห์การย่อยได้ในขั้นตอน First stage ขั้นตอนเดียวมีความสัมพันธ์ไม่ใกล้เคียงกับการย่อยโดยวิธี *In vivo* ทั้งนี้ เพื่อจำลองการย่อยในระบบทางเดินอาหารของสัตว์นั้นเอง (McDonald et al., 1988)

นอกจากนี้ ยังมีการใช้ออนไซม์เพื่อศึกษาประสิทธิภาพการย่อยโปรตีน โดยใช้ออนไซม์ที่มีคุณสมบัติสามารถย่อยสลายโปรตีน (proteolytic enzyme) เช่น เอนไซม์ทริปซิน ไอโโนทริปซิน และเปปติಡส์ ผสมลงในตัวอย่างที่ต้องการศึกษา และดูการเปลี่ยนแปลงของค่า pH ที่เกิดขึ้นในระยะเวลาที่กำหนด แล้วจึงนำมาคำนวณโดยใช้สมการ วิธีการนี้เรียกว่า multienzyme digestibility (Bodwell et al., 1980; Hsu et al., 1997) เช่น Adeyeye (1996) ศึกษาผลของการร้อนต่อประสิทธิภาพการย่อยโปรตีนของ African yam bean (*Sphenostylis stenocarpa*) 6 สายพันธุ์ โดยวิธี *In-vitro* multienzyme digestibility โดยใช้ออนไซม์สามชนิด คือ เอนไซม์ทริปซิน ไอโโนทริปซิน และเปปติಡส์ พบว่าตัวอย่างที่ผ่านกระบวนการให้ความร้อน จะมีความสามารถในการย่อยโปรตีนสูงกว่าตัวอย่างที่ไม่ผ่านกระบวนการให้ความร้อน และ Hania and Niely (2007) ได้ทำการศึกษาผลของการรังสีแคมมาต่อประสิทธิภาพการย่อยโปรตีนของพืชตระกูลถั่ว เช่น ถั่วลันเตา โดยวิธี *In vitro* digestibility โดยใช้

เอนไซม์ย่อยโปรตีนคือ เอนไซม์ทริปชิน ไคโมทริปชิน และเปปติดีส พนว่า รังสีแกรมมาที่ปริมาณ ตั้งแต่ 0, 5.0, 7.5 และ 10 กิโลกรัม สามารถเพิ่มประสิทธิภาพการย่อยโปรตีนในถั่วลันเตาได้ตั้งแต่ ร้อยละ 74.10, 75.37, 76.37, 78.03 ตามลำดับ

นอกจากจะมีการศึกษาความสามารถในการย่อยได้ของโปรตีนด้วยค่า pH ที่เปลี่ยนแปลง ในระยะเวลาที่กำหนดแล้วยังมีวิธีการหาการย่อยได้ของโปรตีน คือ วิธีการหาปริมาณแอลฟ้า-อะมิโน ด้วย 2, 4, 6-Trinitrobenzene-1-sulfonic acid (TNBS) เป็นการหาปริมาณแอลฟ้า-อะมิโนที่เกิดขึ้น เนื่องจากการทำงานของเอนไซม์ โดยใช้แอล-ลิวซีนเป็นสารมาตรฐาน หลักการของวิธีนี้คือ primary amines ทำปฏิกิริยากับสาร TNBS ได้ผลิตภัณฑ์ที่ให้สีเหลืองและสามารถวัดค่าการดูดกลืนคลื่นแสง ได้ที่ความยาวคลื่น 420 นาโนเมตร ดังภาพที่ 4 ซึ่งปฏิกิริยาเกิดขึ้นได้ในสภาพเป็นด่างอ่อนๆ (phosphate buffer pH 8.2) และจะหดปฏิกิริยาได้โดยการใช้สภาวะที่เป็นกรดด้วยกรดเกลือเข้มข้น 0.1 นอร์มัล หากตัวอย่างมีสภาวะเป็นกรดมากๆ จะทำให้ไม่สามารถหาค่าแอลฟ้า-อะมิโนได้ (Adler-Nissen, 1979)



ภาพที่ 4 การเกิดปฏิกิริยาระหว่าง TNBS กับ Primary amines

ที่มา: Pierce Chemical company (1999)

จากวิธีการดังกล่าวได้มีการนำมาหาค่าความสามารถในการย่อยสลายโปรตีนในเนื้อปลา โดย Hoyle and Merritt (1994) ศึกษาการย่อยสลายโปรตีนในเนื้อปลาแซร์วิ่งด้วยเอนไซม์ Alcalase 2.4 L ที่ pH 8.0-8.5 อุณหภูมิ 50-55 องศาเซลเซียส และเอนไซม์ปานเปน ย่อยสลายที่ pH 6.0-7.0 อุณหภูมิ 60-65 องศาเซลเซียส พนว่า เอนไซม์ Alcalase 2.4 L สามารถย่อยสลายโปรตีนในเนื้อปลาแซร์วิ่งได้

ดีกว่า่อนไชม์ป่าเป็น โดยมีอย่างเดียว 60 นาที มีระดับการย่อยสลาย (Degree of hydrolysis) สูงสุดเท่ากับ 44.7 และ 43.1 เปอร์เซ็นต์ ตามลำดับ

นอกจากนี้ Kristinsson and Rusco (2000) ยังได้ทำการศึกษาประสิทธิภาพในการย่อยโปรตีนจากเนื้อปลาแซลมอน โดยใช้ซีรินโปรตีอสที่สกัดจากกล้ามนิ่งปลาแซลมอน เปรียบเทียบกับ alkaline protease ทางการค้า 4 ชนิด คือ Alcalase 2.4 L, Flavourzyme 1000 L, Corolase PN-L และ Corolase 7089 โดยใช้อุณหภูมิ 40 องศาเซลเซียส pH 7.5 เป็นเวลา 180 นาที พบว่า Corolase 7089 มีระดับการย่อยสลาย สูงสุดเท่ากับ 14.4 เปอร์เซ็นต์ รองลงมาคือ โปรตีอสที่สกัดได้จากปลาแซลมอน, Flavourzyme 1000 L, Corolase PN-L และ Alcalase 2.4 L โดยมีระดับการย่อยสลายเท่ากับ 14.1, 7.5 และ 5.6 เปอร์เซ็นต์ ตามลำดับ

Prangtip *et al.* (2005) ได้ทำการศึกษาประสิทธิภาพของอะไมเลสและโปรตีนในสหง่ายมูกน้ำจีด *Hyriopsis (Hyriopsis) bialatus* ช่วงอายุต่างๆ ในการย่อยสาหร่ายเซลล์เดียว 10 ชนิด โดยวิธี *in vitro* digestibility เพื่อนำไปใช้ประโยชน์ในการพัฒนาสูตรอาหารที่เหมาะสมสำหรับหอยในแต่ละช่วงอายุ พบว่า หอยตัวเต็มวัยสามารถย่อยสาหร่ายชนิด *Chlorella* sp.2 อายุ 3 วัน, *Monoraphidium* sp. อายุ 7 วันและ *Coccomyxa* sp. อายุ 7 วันได้ดีที่สุด

Jutamas *et al.* (2009) ศึกษาค่าความสามารถในการย่อยโปรตีนในวัตถุคุณอาหารของปลานิล ตัวเต็มวัยหลายประเภทที่ผ่านการฉายรังสีที่ปริมาณ 60 กิโลกรัม เปรียบเทียบกับกลุ่มควบคุมที่ไม่ได้ผ่านการฉายรังสีด้วยเทคนิค *in vitro* digestibility โดยใช้่อนไชม์จากกล้ามไส้ ทดลองย่อยวัตถุคุณอาหาร พบร่วมกับการฉายรังสีในวัตถุคุณอาหารมีผลทำให้ประสิทธิภาพการย่อยcarbo โนไสเดรตและโปรตีนดีขึ้นกว่าวัตถุคุณอาหารที่ไม่ผ่านการฉายรังสี โดยเฉพาะวัตถุคุณอาหารที่เป็นแหล่งโปรตีนได้จากสัตว์และพืช เช่น ปลาป่นและกาตกั้วเหลือง รวมทั้งวัตถุคุณอาหารที่เป็นแหล่งcarbo โนไสเดรตได้จากพืชทั้งหมด และสามารถนำวัตถุคุณเหล่านี้มาผลิตสูตรอาหารสาหรับใช้เลี้ยงปลานิล ซึ่งการศึกษาประสิทธิภาพการย่อยอาหารและกิจกรรมของเอนไชม์สามารถใช้ในการประเมินคุณภาพและโภชนาของอาหารสัตว์ (Lemieux *et al.*, 1999; Rungruangsak *et al.*, 2002; Balal, 2005; Rungruangsak, 2007) และความสามารถในการย่อยอาหารของเอนไชม์โปรตีอสที่สกัดจากระยะทางเดินอาหารของปลาแออดแคนดิกแซลมอน *Salmo salar* L. สามารถใช้เป็นดัชนีวัดคุณภาพอาหารและการเจริญเติบโตของปลาได้ โดยเปรียบเทียบอัตราส่วนระหว่างกิจกรรมของเอนไชม์ที่ปิปชินต่อไก่โนทริปชิน เป็นต้น (Rungruangsak *et al.*, 1998, Rungruangsak and male 2000; Sunde *et al.*, 2001)

ดังนั้น งานวิจัยนี้สนใจศึกษาผลของรังสีแกมมาที่มีต่อองค์ประกอบทางโภชนาะในเมล็ดสนุุ่ดำ และศึกษาผลของรังสีแกมมาต่อการย่อยโปรตีนของกาเมล็ดสนุุ่ดำโดยวิธี *in vitro* ด้วยวิธีการหาปริมาณแอลฟ่า-อะมิโนด้วย 2, 4, 6-Trinitrobenzene-1-sulfonic acid (TNBS) ซึ่งเป็นการหาปริมาณแอลฟ่า-อะมิโนที่เกิดขึ้นเนื่องจากการทำงานของเอนไซม์ โดยใช้แอล-อะลานีนเป็นสารมาตรฐาน และนำความสามารถในการย่อยโปรตีนด้วยเทคนิคดังกล่าวเปรียบเทียบผลของรังสีแกมมาต่อกิจกรรมของสารบัมบี้ทิปชินจากการทดลองของ ศราษฎร์ (2551) ซึ่งผลที่ได้จากการศึกษานี้อาจใช้เป็นวิธีหนึ่งที่สามารถเพิ่มความสามารถในการย่อยโปรตีน เพื่อช่วยเพิ่มนูคล่าให้กับกาเมล็ดสนุุ่ดำและสนับสนุนให้มีการใช้ประโยชน์จากสนุุ่ดำอย่างครบวงจร

## อุปกรณ์และวิธีการ

### อุปกรณ์

1. เครื่องฉายรังสีแกมมาด้านกำเนิดโคนอลต์-60 ของบริษัทไอโซตรอน (ประเทศไทย) จำกัด
2. เครื่องชั่งละเอียด
3. ตู้อบ
4. เตาเผา
5. เครื่องแก้วและอุปกรณ์ที่ใช้ในการวิเคราะห์องค์ประกอบพื้นฐานทางเคมี ได้แก่ หลอดย่อยโปรตีน filter glass crucible, crucible, thimble, soxhlet extraction chamber และ โถดูดความชื้น
6. เครื่องสกัดไบมัน พร้อมอุปกรณ์ในการสกัดไบมัน เช่น soxhlet tube, extraction flask
7. เครื่องบดและกลั่นโปรตีน
8. เครื่องหีบผึ้นแบบเกลียวอัด (screw press)
9. เครื่องบดตัวอย่าง
10. เครื่องทำให้แห้งด้วยการแช่เยือกแข็ง (freeze dry)
11. อ่างควบคุมอุณหภูมิ
12. อ่างน้ำเย็น

13. เครื่องวัดความเป็นกรดค้าง

14. เครื่องกวานสารละลายแบบ vortex

15. Autopipet ขนาด 10-1000 ไมโครลิตร

16. นาฬิกาจับเวลา

17. เครื่องวัดการดูดกลืนแสง (UV-Vis spectrophotometer)

18. สารเคมีที่ใช้ในการห้องค์ประกอบพื้นฐานทางเคมี

18.1 สารเคมีที่ใช้ในการวิเคราะห์หาปริมาณไขมัน

- Petroleum ether

18.2 สารเคมีที่ใช้ในการวิเคราะห์หาปริมาณโปรตีน

- Catalyst mixture (ประกอบด้วย  $K_2SO_4$  และ  $CuSO_4$ )

- Conc.  $H_2SO_4$

- 25% NaOH

- 0.1 N  $H_2SO_4$

- Mix indicator (ประกอบด้วย Methyl red และ 95% Ethyl alcohol)

- Boric acid

18.3 สารเคมีที่ใช้ในการวิเคราะห์หาปริมาณเยื่อไข

- 1.25%  $H_2SO_4$

- 1.25% NaOH

19. เอนไซม์ที่ใช้ในการวิเคราะห์ความสามารถในการย่อยโปรตีน Multienzyme solution ประกอบด้วยเอนไซม์จากบริษัท Sigma Chemical 3 ชนิด คือ

- Porcine pancreatic trypsin (Type IX), 14190 BAEE Units per mg protein
- Bovine pancreatic chymotrypsin (Type II), 60 units per mg powder
- Porcine intestinal peptidase (Grade III), 40 units per g powder

20. สารเคมีที่ใช้ในการวิเคราะห์ความสามารถในการย่อยโปรตีน

- 50 mM phosphate buffer pH 8
- 0.2 M phosphate buffer pH 8
- Chloramphenical
- TNBS (Trinitrobenzene sulphonic acid)
- 1 M HCl
- BAPNA (N- $\alpha$ -benzoyl-DL-arginine-*p*-nitroanilide)
- SAPNA (succinyl ((Ala)<sub>2</sub>-pro-Phe-*p*-nitroanilide)
- Dimethyl sulfoxide (DMSO)
- *L*-Alanine
- *p*-nitroaniline
- Acetic acid

### วิธีการ

#### การเตรียมตัวอย่างเมล็ดสนู่ดำ

ตัวอย่างเมล็ดสนู่ดำที่ใช้ในการทดลองประกอบด้วย 5 สายพันธุ์ ซึ่งได้จากการพัฒนาและวิจัยโดยศูนย์วิจัยข้าวโพดและข้าวฟ่างแห่งชาติ สถาบันอินทรีย์จังหวัดสกิดดี้เพื่อการค้นคว้าและพัฒนาพืชศาสตร์ มหาวิทยาลัยเกษตรศาสตร์ นำไปปลารังสีแกมมาแบบเฉียบพลันที่ปริมาณรังสีตั้งแต่ 0 (กลุ่มควบคุม), 10, 20, 30, 60 และ 100 กิโลกรัม ตัวอยเครื่องหมายรังสีแกมมาโคบออลต์-60 ของบริษัท ไอโซครอน (ประเทศไทย) จำกัด ดังนี้

1. KU BP-16
2. KU BP-20
3. KU BP-27
4. KU BP 78-9
5. KU BP 80-3

แบ่งตัวอย่างเมล็ดสนูป์คำทั้ง 5 สายพันธุ์ที่ผ่านการฉายรังสีออกเป็น 2 กลุ่ม ดังนี้

กลุ่มแรก นำเมล็ดสนูป์คำที่ปริมาณรังสี 0, 60 และ 100 กิโลกรัม วิเคราะห์คุณค่าทางโภชนาการของเมล็ดสนูป์คำโดยวิธี proximate analysis ได้แก่ ความชื้น ไขมัน เยื่อไข เต้า และโปรตีน

กลุ่มที่สอง นำเมล็ดสนูป์คำที่ปริมาณรังสี 0, 10, 20, 30, 60 และ 100 กิโลกรัม มาผ่านขบวนการหิน้ำมันด้วยเครื่องหิน้ำมันแบบเกลียวอัด (screw press) ที่สถาบันวิจัยเกษตรกรรม กรมวิชาการเกษตร นำกากเมล็ดสนูป์คำมาบดด้วยเครื่องบดตัวอย่าง เก็บในถุงพลาสติกที่อุณหภูมิ -20 องศาเซลเซียส เพื่อนำมาใช้ในการศึกษาความสามารถในการย่อยโปรตีนของเมล็ดสนูป์คำ

#### **การวิเคราะห์คุณค่าทางโภชนาการของเมล็ดสนูป์คำ**

วิเคราะห์คุณค่าทางโภชนาการในเมล็ดสนูป์คำได้แก่ ความชื้น ปริมาณโปรตีน ไขมัน เต้า และเยื่อไข โดยวิธีวิเคราะห์แบบประมาณ (Proximate analysis) โดยนำเมล็ดสนูป์คำทั้ง 5 สายพันธุ์ที่ฉายรังสีแคนนาปริมาณ 0, 60 และ 100 กิโลกรัม มาศึกษาองค์ประกอบพื้นฐานทางเคมี ตามวิธีของ AOAC (2000) ดังนี้

#### **การวิเคราะห์ความชื้น AOAC (2000)**

1. หาน้ำหนักที่แน่นอนของถ้วยทำความชื้น โดยนำถ้วยทำความชื้นที่สะอาดเข้าอบในเตือนที่อุณหภูมิประมาณ 100 องศาเซลเซียส ประมาณ 1 ชั่วโมง ทิ้งให้เย็นใน道士ความชื้น 30 นาที จดบันทึกน้ำหนัก
2. ชั่งตัวอย่างที่บดละเอียดประมาณ 2 กรัม ใส่ลงในถ้วยทำความชื้น

3. นำถ้วยห้าความชื้นเข้าอบในตู้อบ อุณหภูมิ 100 องศาเซลเซียส นาน 4-6 ชั่วโมง
4. นำถ้วยห้าความชื้นพร้อมตัวอย่างออกจากตู้อบทิ้งให้เย็นในโถคุณภาพชั้นชั่งและบันทึกน้ำหนัก

#### การคำนวณ

$$\text{เปอร์เซ็นต์ความชื้น} = \frac{W + X - Y}{W} \times 100$$

โดย W คือ น้ำหนักตัวอย่างก่อนอบ (กรัม)

X คือ น้ำหนักถ้วยห้าความชื้น (กรัม)

Y คือ น้ำหนักถ้วยห้าความชื้นและตัวอย่างหลังอบ (กรัม)

#### การวิเคราะห์ไขมัน AOAC (2000)

1. ชั่งตัวอย่างประมาณ 2 กรัม ลงในกระดาษกรอง (ห่อกระดาษกรองให้แน่นเพื่อไม่ให้ตัวอย่างหลุดออกมาระหว่างทำการสกัดไขมัน) นำไปปิดที่อุณหภูมิ 100 องศาเซลเซียส นาน 4-5 ชั่วโมง ทิ้งให้เย็นในโถคุณภาพชั้น หลังจากนั้นนำมาชั่งและจดบันทึกน้ำหนัก
2. นำห่อตัวอย่างใส่ใน soxhlet tube และต่อ กับ condenser และ extraction flask
3. เติม Petroleum ether 50 มิลลิลิตร
4. นำเข้าเครื่องสกัดไขมัน หลังจากสกัดเสร็จ นำห่อตัวอย่างออกจาก soxhlet tube และนำไปปิดที่อุณหภูมิ 100 องศาเซลเซียส นาน 30 นาที
5. ทำให้เย็นในโถคุณภาพชั้น ชั่งและจดบันทึกน้ำหนัก

### การคำนวณ

$$\text{เปอร์เซ็นต์ไขมัน} = \frac{(X - Y)}{W} \times 100$$

โดย W คือ น้ำหนักตัวอย่าง

X คือ น้ำหนักระดายกรองและตัวอย่าง (หลังอบนาน 4-5 ชั่วโมง)

Y คือ น้ำหนักระดายกรองและตัวอย่าง (หลังสกัดไขมัน)

### การวิเคราะห์เยื่อไข AOAC (2000)

1. ชั่งน้ำหนักตัวอย่างที่ผ่านการสกัดไขมันแล้วประมาณ 1 กรัม ลงในบิกเกอร์ขนาด 60 มิลลิลิตร
2. เติมสารละลายกรดซัลฟูริกความเข้มข้น 1.25 เปอร์เซ็นต์ นำไปต้มให้เดือดนาน 30 นาที ล้างกรดด้วยน้ำกลิ้นที่ผ่านการต้มแล้ว
3. เติมสารละลายโซเดียมไฮดรอกไซด์ความเข้มข้น 1.25 เปอร์เซ็นต์ ต้มให้เดือดนาน 30 นาที ล้างด้วยน้ำกลิ้นที่ผ่านการต้มแล้ว จากนั้นนำตัวอย่างที่ผ่านการล้างแล้วใส่ใน Filter glass crucible แล้วล้างด้วยแอลกอฮอล์อีกครั้ง
4. อบในตู้อบที่อุณหภูมิ 100 องศาเซลเซียส นาน 6-8 ชั่วโมง ทิ้งให้เย็นในโถดูดความชื้น แล้วจับน้ำหนัก
5. นำตัวอย่างไปเผาเพื่อไอล์คัวนในตู้ดูดควันด้วยไฟอ่อนจนควันหมดจากตัวอย่าง
6. นำตัวอย่างที่ผ่านการเผาไอล์คัวนแล้วเข้าไปเผาในตู้เผาอุณหภูมิ 500 องศาเซลเซียส นาน 6 ชั่วโมง ทิ้งให้เย็นในโถดูดความชื้น ชั่งและบันทึกน้ำหนัก

### การคำนวณ

$$\text{เปอร์เซ็นต์เยื่อไข} = \frac{(X - Y)}{W} \times 100$$

โดย W คือ น้ำหนักตัวอย่าง

X คือ น้ำหนักของ Filter glass crucible ที่มีตัวอย่างหลังต้มและอบที่อุณหภูมิ

100 องศาเซลเซียส

Y คือ น้ำหนักของ Filter glass crucible ที่มีตัวอย่างและเผาที่อุณหภูมิ 500

องศาเซลเซียส

### การวิเคราะห์ถ้า AOAC (2000)

1. นำน้ำหนักที่แน่นอนของ crucible โดยล้างถ้วยเผาให้สะอาดและนำไปอบที่อุณหภูมิ 100 องศาเซลเซียส นาน 1 ชั่วโมง นำออกจากตู้อบและปล่อยให้เย็นในโถดูดความชื้น ชั่งและจดบันทึกน้ำหนัก
2. ชั่งตัวอย่างประมาณ 2 กรัม ใส่ใน crucible บันทึกน้ำหนักตัวอย่าง
3. นำไปเผาในตู้ดูดควันด้วยไฟอ่อนจนหมดควันแล้วนำไปเผาในเตาเผาที่อุณหภูมิ 500 องศาเซลเซียส นาน 6 ชั่วโมง
4. นำออกจากเตาเผาแล้วปล่อยให้เย็นในโถดูดความชื้น ชั่งและจดบันทึกน้ำหนัก

### การคำนวณ

$$\text{เปอร์เซ็นต์ถ้า} = \frac{B - A}{W} \times 100$$

โดย A คือ น้ำหนักถ้วย crucible เป็น

B คือ น้ำหนักถ้วย crucible และตัวอย่างหลังเผา

W คือ น้ำหนักตัวอย่าง

### การวิเคราะห์โปรตีน AOAC (2000)

1. ชั่งตัวอย่างประมาณ 0.5 กรัมลงในหลอดขอยโปรตีน เติม Catalyst mixture 8 กรัม แล้วเติม conc.  $H_2SO_4$  ปริมาตร 12 มิลลิลิตร นำเข้าไปย่อยในเครื่องย่อยโปรตีนนาน 45 นาที จนตัวอย่างมีสีฟ้าใส
2. พึงให้เย็นที่อุณหภูมิห้อง
3. เติมกรดอริก 4 เปอร์เซ็นต์ ปริมาตร 50 มิลลิลิตร หยด Mix indicator 8 หยด ลงใน flask ขนาด 250 มิลลิลิตร
4. นำตัวอย่างที่ผ่านการขอยแล้ว ในข้อที่ 3 มาคลั่นด้วยเครื่องกลั่นระบบอัตโนมัติ โดยใช้โซเดียมไฮดรอกไซค์ความเข้มข้น 25 เปอร์เซ็นต์ 50 มิลลิลิตร นาน 4 นาที
5. นำตัวอย่างที่ผ่านการกลั่น มาไถเตรทด้วย 0.1 N Std.  $H_2SO_4$  คำนวณหาปริมาณโปรตีน

#### การคำนวณ

$$\text{เปอร์เซ็นต์ในไตรเจน } (\%N) = \frac{(V2 - V1) \times N \times 1.4}{W}$$

$$\text{เปอร์เซ็นต์โปรตีน} = \%N \times 6.25$$

โดย  $N$  คือ ความเข้มข้นของ Std.  $H_2SO_4 = 0.1 N$

$V1$  คือ ปริมาตรของ Std.  $H_2SO_4$  ที่ใช้ในการไถเตรท blank

$V2$  คือ ปริมาตรของ Std.  $H_2SO_4$  ที่ใช้ในการไถเตรทด้วยตัวอย่าง

$W$  คือ น้ำหนักตัวอย่าง

## ศึกษากรรมของเอนไซม์โปรตีอส

ศึกษากรรมของเอนไซม์โปรตีอสได้แก่ เอนไซม์ทริปชินโดยใช้ BAPNA ตามวิธีการของ Rungruangsak *et al.* (2006)

### 1. การเตรียม multienzyme (Hsu *et al.*, 1977)

ละลายเอนไซม์อยู่โปรตีนแต่ละชนิดใน 50 mM phosphate buffer pH 8 โดยให้มีความเข้มข้นของ trypsin, chymotrypsin และ peptidase เท่ากับ 1.6, 3.1 และ 1.3 มิลลิกรัมต่อมิลลิลิตร ตามลำดับ

### 2. การเตรียมกราฟมาตรฐาน *p*-nitroaniline (Sunde *et al.*, 2001)

เตรียมสารละลายมาตรฐาน *p*-nitroaniline ความเข้มข้น 0.21 ไมโครโมลต่อมิลลิลิตร ที่มีสารละลาย 5% DMSO ผสมกับสารละลาย 0.2 M phosphate buffer pH 8 ทำการเจือจางให้มีความเข้มข้น 0.03-0.21 ไมโครโมลต่อมิลลิลิตร

ปั๊ปต์สารละลายมาตรฐาน *p*-nitroaniline ความเข้มข้น 0.03-0.21 ในโครโนมต่อ มิลลิลิตร ปริมาตร 0.7 มิลลิลิตร เติม 30% acetic acid ปริมาตร 0.8 มิลลิลิตร ผสมให้เข้ากัน แล้วนำไปวัดค่าการดูดกลืนแสงที่ความยาวคลื่น 410 นาโนเมตร เก็บกราฟมาตรฐานระหว่างค่า  $A_{410}$  บนแกน Y และความเข้มข้นของ *p*-nitroaniline (ไมโครโมลต่อมิลลิลิตร) บนแกน X และหาสมการความสัมพันธ์ระหว่างค่าการดูดกลืนแสงที่ความยาวคลื่น 410 นาโนเมตร กับความเข้มข้นของ *p*-nitroaniline

### 3. วิธีวิเคราะห์กิจกรรมของเอนไซม์ทริปชิน

เตรียมสารละลายน้ำสต๊าฟท์ คือ สารละลายน้ำ BAPNA ความเข้มข้น 1.25 mM ที่มี 5% DMSO ละลายน้ำใน 0.2 M phosphate buffer pH 8 ผสม multienzyme ปริมาตร 100 ไมโครลิตร กับ สับสต๊าฟท์ปริมาตร 0.7 มิลลิลิตรให้เข้ากัน นำไป incubate ที่ 37 องศาเซลเซียส นาน 1 นาที เติม 30% acetic acid ปริมาตร 0.8 มิลลิลิตร นำไปวัดค่าการดูดกลืนแสงที่ความยาวคลื่น 410 นาโนเมตร เปรียบเทียบกับกราฟมาตรฐานของ *p*-nitroaniline จากนั้นคำนวณกิจกรรมของเอนไซม์ทริปชินใน หน่วย  $\mu\text{mol } p\text{-nitroaniline produced per hour}$  จากสมการที่ 3

$$\text{กิจกรรมของเอนไซม์ทริปชิน} = \frac{A_{410} \times \text{dilution factor (DF)}}{X} \quad \dots \dots (3)$$

โดย X คือ ค่าความชันจากกราฟมาตรฐานของ *p*-nitroaniline

### ศึกษาความสามารถในการย่อยโปรตีนของกากเมล็ดสนู่ดា

การศึกษาความสามารถในการย่อยโปรตีนของกากเมล็ดสนู่ดាดำเนินการโดยวิธีของ Rungruangsak *et al.* (2002) และ Hsu *et al.* (1977) โดยใช้ multienzyme technique ซึ่งมีเอนไซม์ย่อยโปรตีน 3 ชนิด คือ trypsin, chymotrypsin และ peptidase

#### 1. การเตรียมตัวอย่าง (Rungruangsak *et al.*, 2002)

นำตัวอย่างเมล็ดสนู่ดាที่ผ่านการลยารังสีและทึบนำมันมาบดละเอียดแล้วนำไป ทำให้แห้งด้วยเครื่อง freeze dry นาน 24 ชั่วโมง จากนั้นนำไปไว้ในโถดูดความชื้น นำเมล็ดสนู่ด้าที่ได้มาชั่งน้ำหนัก 20 มิลลิกรัม จดบันทึกน้ำหนักที่แน่นอน เติม 50 mM phosphate buffer pH 8 ปริมาตร 40 มิลลิลิตร ผสมให้เข้ากันด้วย vortex mixture เติม 0.5% chloramphenical ปริมาตร 200 ไมโครลิตร นำไป incubate ใน shaking incubator ที่ 30 องศาเซลเซียส นาน 24 ชั่วโมง เก็บตัวอย่าง 500 ไมโครลิตรเป็นตัวควบคุม (control) นำไปต้มในน้ำเดือด 10 นาทีแล้วนำไปแช่แข็งที่ -80 องศาเซลเซียส ตัวอย่างที่เหลือจากการเก็บไว้เป็นตัวควบคุมจะเติม multienzyme

ปริมาตร 500 ไมโครลิตร ผสมให้เข้ากันด้วย vortex mixture นำไป incubate ที่ 30 องศาเซลเซียส นาน 24 ชั่วโมง เก็บตัวอย่าง 1000 ไมโครลิตร นำไปต้มในน้ำเดือดและแช่แข็งทันที ที่ -80 องศาเซลเซียส

## 2. การเตรียมกราฟมาตรฐานของ L-Alanine (Rungruangsak *et al.*, 2002)

เตรียมสารละลายน้ำ L-Alanine ความเข้มข้น 3.0 ไมโครโมลต่อมิลลิลิตร ผสมกับสารละลายน้ำ 50 mM phosphate buffer pH 8 แล้วทำการเจือจางให้มีความเข้มข้น 0.3-3.0 ไมโครโมลต่อมิลลิลิตร

ปีเปตสารละลายน้ำ L-Alanine ความเข้มข้น 0.3-3.0 ไมโครโมลต่อมิลลิลิตร ปริมาตร 0.2 มิลลิลิตร เติม 50 mM phosphate buffer pH 8 และ 0.1 % TNBS ปริมาตร 2 และ 1 มิลลิลิตร ตามลำดับ ผสมให้เข้ากัน นำไป incubate ในที่มีค่า อุณหภูมิ 60 องศาเซลเซียส นาน 10 นาที หลังจากนั้นเติม 1 M HCl แล้วนำไปวัดค่าคุณค่าดูดกลืนแสงที่ความยาวคลื่น 420 นาโนเมตร เพียงกราฟมาตรฐานระหว่างค่า  $A_{410}$  บนแกน Y และความเข้มข้นของ L-Alanine (ไมโครโมลต่อมิลลิลิตร) บนแกน X

## 3. การศึกษาการย่อยโปรตีน

ศึกษาการย่อยโปรตีนในตัวอย่าง (หาปริมาณหนู่อะมิโนอิสระ (Free Amino Group) โดยวิธี TNBS (Trinitrobenzene sulphonic acid) ตามวิธีของ Rungruangsak *et al.* (2002) ดังนี้

นำตัวอย่างที่ต้องการศึกษาและกลุ่มควบคุม ที่ละลายแล้วปริมาตร 200 ไมโครลิตร เติม 50 mM phosphate buffer pH 8 ปริมาตร 2 มิลลิลิตร จากนั้นเติม 0.1 % TNBS ปริมาตร 1 มิลลิลิตร ผสมให้เข้ากัน นำไป incubate ในที่มีค่า อุณหภูมิ 60 องศาเซลเซียส นาน 1 ชั่วโมง เติม 1 M HCl ปล่อยให้เย็นที่อุณหภูมิห้อง นำไปวัดค่าคุณค่าดูดกลืนแสงที่ 420 นาโนเมตร โดยเพรียบเทียบกับกราฟมาตรฐานของ L-Alanine จากนั้นคำนวณค่า *in vitro* digestibility ของโปรตีนในหน่วย  $\mu\text{mol L-Alanine equivalent per g feed per trypsin activity}$  จากสมการที่ 4

$$\text{in vitro digestibility} = \frac{A_{420}}{Y} \times \frac{8,000}{\text{น้ำหนักของตัวอย่าง}} \quad \dots\dots \quad (4)$$

โดย Y คือ ค่าความชันจากกราฟมาตราฐานของ L-Alanine

#### 4. ศึกษาผลของรังสีปริมาณคุณลักษณะต่อความสามารถในการย่อยโปรตีน

คำนวณค่าความสามารถในการย่อยโปรตีนของการเมล็ดสนู๊ด้าที่ผ่านการฉายรังสีปริมาณต่างๆ โดยแสดงค่า *in vitro* digestibility ของโปรตีนในหน่วยของ  $\mu\text{mol L-Alanine equivalent per g feed per trypsin activity}$  จากนั้นสร้างกราฟความสัมพันธ์ระหว่างปริมาณรังสีคุณลักษณะกับค่า *in vitro* digestibility เพื่อศึกษาแนวโน้มของปริมาณรังสีแกรมมาที่เหมาะสมต่อความสามารถในการย่อยโปรตีน

**การเปรียบเทียบผลของรังสีแกรมมาที่มีต่อความสามารถในการย่อยโปรตีนกับกิจกรรมสารยับยั่งทริปซิน**

นำข้อมูลผลของรังสีแกรมมาที่ปริมาณตั้งแต่ 0, 10, 20, 30 และ 60 กิโลกรัมที่มีต่อกิจกรรมของสารยับยั่งทริปซินในการเมล็ดสนู๊ด้าสายพันธุ์ KU BP-16 และ 20 ที่ได้จากการทดลองของศราวุทธ (2550) มาเปรียบเทียบกับผลของรังสีแกรมมาที่มีต่อความสามารถในการย่อยโปรตีนในการเมล็ดสนู๊ด้าสายพันธุ์ KU BP-16 และ 20

#### การวิเคราะห์ข้อมูล

การทดลองจะใช้ตัวอย่างของเมล็ดสนู๊ด้าทั้ง 5 สายพันธุ์ ที่ฉายรังสีปริมาณตั้งแต่ 0, 10, 20, 30, 60 และ 100 กิโลกรัม แล้วนำมาหีบห่ำน้ำและทำการทดลองอย่างน้อย 3 ชุด ในแต่ละการทดลองนำข้อมูลที่ได้มามาวิเคราะห์ความแปรปรวนโดยวิธี Analysis of variance (ANOVA) และเปรียบเทียบค่าเฉลี่ยด้วยวิธี Duncan's New Multiple Range Test (DMRT) ที่ระดับนัยสำคัญ 0.05

## ผลและวิจารณ์

### ผล

#### การเตรียมตัวอย่างเมล็ดสนู่ดำ

เตรียมตัวอย่างเมล็ดสนู่ดำที่ผ่านการฉายรังสี 0 (กลุ่มควบคุมที่ไม่ฉายรังสี), 60 และ 100 กิโลกรัม ทั้ง 5 สายพันธุ์ได้แก่ KU BP-16, KU BP-20, KU BP-27, KU BP 78-9 และ KU BP 80-3 บดตัวอย่างทั้งเมล็ดเพื่อศึกษาองค์ประกอบทางโภชนาะ ได้แก่ ความชื้น ไขมัน เยื่อไข และ สนู่ด้าทั้ง 5 สายพันธุ์ที่ผ่านการฉายรังสีตั้งแต่ 0 (กลุ่มควบคุมที่ไม่ฉายรังสี) 10, 20, 30, 60 และ 100 กิโลกรัม นำมาหีบนำมันแบบเกลียวอัด (screw press) จากนั้นบดกาแฟเมล็ดสนู่ด้าให้ละเอียดแล้วนำไปศึกษาการย่อยโปรตีนด้วยวิธี *In vitro* (ภาพที่ 5)



(ก) เมล็ดสนู่ด้าที่ผ่านการหีบนำมัน  
แบบเกลียวอัด

(ข) กาแฟเมล็ดสนู่ด้าที่ผ่านการบด

ภาพที่ 5 เมล็ดสนู่ด้าที่ผ่านการหีบนำมันแบบเกลียวอัดและกาแฟเมล็ดสนู่ด้าที่ผ่านการบด

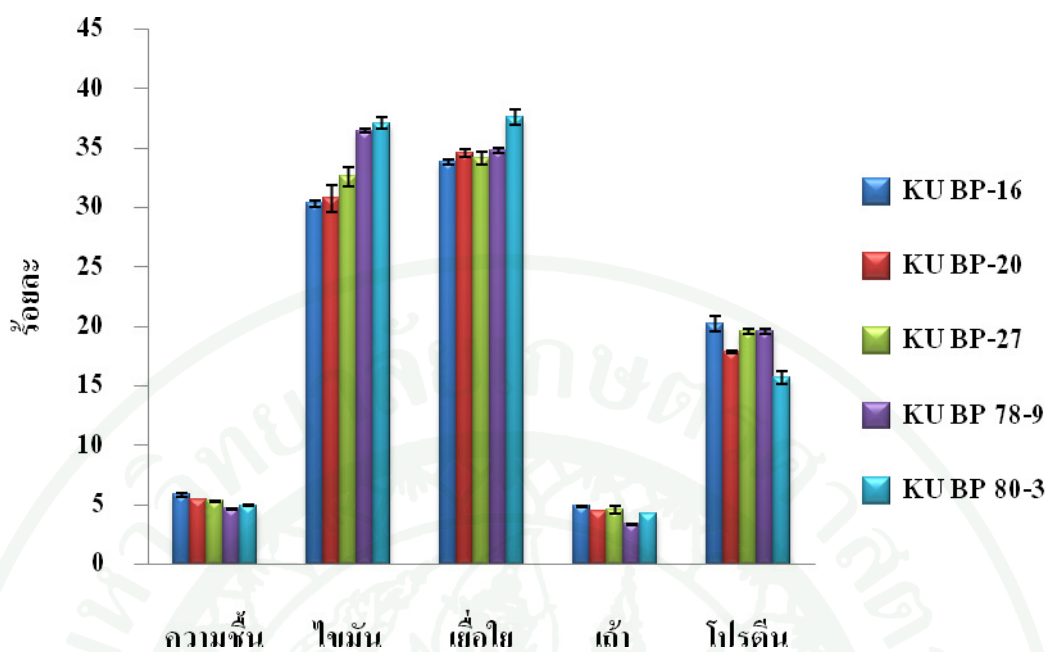
## องค์ประกอบทางโภชนาะของเมล็ดสนู่ดำ

### 1. องค์ประกอบทางโภชนาะของเมล็ดสนู่ดำที่ไม่ผ่านการฉายรังสี

จากการศึกษาองค์ประกอบทางโภชนาะประกอบด้วย ความชื้น ไขมัน เยื่อไข เต้า และ โปรตีนของเมล็ดสนู่ดำที่ไม่ผ่านการฉายรังสีหรือกลุ่มควบคุม ในเมล็ดสนู่ดำทั้ง 5 สายพันธุ์ ได้แก่ KU BP-16, KU BP-20, KU BP-27, KU BP 78-9 และ KU BP 80-3 พบว่าองค์ประกอบทางโภชนาะของเมล็ดสนู่ดามีค่ารอยละของ ความชื้น ไขมัน เยื่อไข เต้า และ โปรตีน ดังตารางที่ 1 และภาพที่ 6

### ตารางที่ 1 องค์ประกอบทางโภชนาะในเมล็ดสนู่ดำทั้ง 5 สายพันธุ์ที่ไม่ผ่านการฉายรังสี

พันธุ์	ร้อยละ $\pm$ SE, n=3				
	ความชื้น	ไขมัน	เยื่อไข	เต้า	โปรตีน
KU BP-16	5.85 $\pm$ 0.17	30.34 $\pm$ 0.24	33.83 $\pm$ 0.19	4.49 $\pm$ 0.02	20.16 $\pm$ 0.61
KU BP-20	5.48 $\pm$ 0.01	30.77 $\pm$ 1.12	34.58 $\pm$ 0.27	4.89 $\pm$ 0.03	17.89 $\pm$ 0.11
KU BP-27	5.30 $\pm$ 0.05	32.63 $\pm$ 0.82	34.18 $\pm$ 0.52	4.58 $\pm$ 0.34	19.45 $\pm$ 0.29
KU BP 78-9	4.67 $\pm$ 0.06	36.44 $\pm$ 0.15	34.80 $\pm$ 0.24	3.37 $\pm$ 0.03	19.60 $\pm$ 0.18
KU BP 80-3	4.97 $\pm$ 0.02	37.10 $\pm$ 0.51	35.66 $\pm$ 1.61	4.29 $\pm$ 0.02	15.72 $\pm$ 0.52



ภาพที่ 6 องค์ประกอบทางโภชนาะในเมล็ดสนู่ด้ำทั้ง 5 สายพันธุ์

## 2. องค์ประกอบทางโภชนาของเมล็ดสนู่ด้ำลายรังสี

จากการศึกษาองค์ประกอบทางโภชนาะในเมล็ดสนู่ด้ำทั้ง 5 สายพันธุ์ ได้แก่ KU BP-16, KU BP-20, KU BP-27, KU BP 78-9 และ KU BP 80-3 ที่ผ่านการฉายรังสีปริมาณ 60 และ 100 กิโลกรัม พบร่วมกับความชื้น ใบมัน เก้า และ โปรตีน ไม่มีความแตกต่างกันทางสถิติในทุกสายพันธุ์เมื่อเทียบกับกลุ่มควบคุมที่ไม่ผ่านการฉายรังสี (ตารางที่ 2, 3, 5 และ 6) นอกจากนี้พบร่วมกับปริมาณร้อยละของเยื่อไขที่ผ่านการฉายรังสี 60 และ 100 กิโลกรัม ลดลงอย่างมีนัยสำคัญทางสถิติเมื่อเทียบกับกลุ่มควบคุมที่ไม่ผ่านการฉายรังสี (ตารางที่ 4)

**ตารางที่ 2 ปริมาณความชื้นระหว่างกลุ่มควบคุมและกลุ่มฉายรังสีปริมาณ 60 และ 100 กิโลกรัม**  
**ทั้ง 5 สายพันธุ์**

พันธุ์	ร้อยละความชื้น $\pm$ SE*		
	กลุ่มควบคุม	60 กิโลกรัม	100 กิโลกรัม
KU BP-16	5.85 $\pm$ 0.17 <sup>a</sup>	4.64 $\pm$ 0.25 <sup>b</sup>	5.16 $\pm$ 0.10 <sup>b</sup>
KU BP-20	5.48 $\pm$ 0.01 <sup>a</sup>	4.31 $\pm$ 0.04 <sup>c</sup>	4.80 $\pm$ 0.02 <sup>b</sup>
KU BP-27	5.30 $\pm$ 0.05 <sup>a</sup>	3.69 $\pm$ 0.10 <sup>b</sup>	5.13 $\pm$ 0.04 <sup>a</sup>
KU BP 78-9	4.67 $\pm$ 0.06 <sup>a</sup>	4.03 $\pm$ 0.06 <sup>b</sup>	4.68 $\pm$ 0.03 <sup>a</sup>
KU BP 80-3	4.97 $\pm$ 0.02 <sup>a</sup>	4.41 $\pm$ 0.09 <sup>b</sup>	4.62 $\pm$ 0.04 <sup>a</sup>

วิเคราะห์ตัวอย่างที่ความเชื่อมั่นร้อยละ 95 ( $P < 0.05$ ) จำนวน 3 ชุด

\* ค่าเฉลี่ยในแต่ละอนเดียวกันที่กำกับตัวอักษรเหมือนกัน ไม่มีความแตกต่างกันอย่างมีนัยสำคัญทางสถิติ และที่มีตัวอักษรต่างกัน มีความแตกต่างกันอย่างมีนัยสำคัญทางสถิติ ( $P < 0.05$ )

**ตารางที่ 3 ปริมาณไขมันระหว่างกลุ่มควบคุมและกลุ่มฉายรังสีปริมาณ 60 และ 100 กิโลกรัม**  
**ทั้ง 5 สายพันธุ์**

พันธุ์	ร้อยละไขมัน $\pm$ SE*		
	กลุ่มควบคุม	60 กิโลกรัม	100 กิโลกรัม
KU BP-16	30.34 $\pm$ 0.24 <sup>b</sup>	30.56 $\pm$ 0.20 <sup>b</sup>	33.08 $\pm$ 0.66 <sup>a</sup>
KU BP-20	30.77 $\pm$ 1.12 <sup>b</sup>	36.20 $\pm$ 0.45 <sup>a</sup>	35.95 $\pm$ 0.15 <sup>a</sup>
KU BP-27	32.63 $\pm$ 0.82 <sup>a</sup>	32.19 $\pm$ 1.20 <sup>a</sup>	33.23 $\pm$ 0.27 <sup>a</sup>
KU BP 78-9	36.44 $\pm$ 0.15 <sup>a</sup>	34.75 $\pm$ 0.27 <sup>a</sup>	35.99 $\pm$ 0.42 <sup>a</sup>
KU BP 80-3	37.10 $\pm$ 0.51 <sup>a</sup>	35.90 $\pm$ 0.36 <sup>a</sup>	37.07 $\pm$ 0.97 <sup>a</sup>

วิเคราะห์ตัวอย่างที่ความเชื่อมั่นร้อยละ 95 ( $P < 0.05$ ) จำนวน 3 ชุด

\* ค่าเฉลี่ยในแต่ละอนเดียวกันที่กำกับตัวอักษรเหมือนกัน ไม่มีความแตกต่างกันอย่างมีนัยสำคัญทางสถิติ และที่มีตัวอักษรต่างกัน มีความแตกต่างกันอย่างมีนัยสำคัญทางสถิติ ( $P < 0.05$ )

**ตารางที่ 4 ปริมาณเยื่อไขกระหว่างกลุ่มควบคุมและกลุ่มลายรังสีปริมาณ 60 และ 100 กิโลกรัม**  
**ทั้ง 5 สายพันธุ์**

พันธุ์	ร้อยละเยื่อไข $\pm$ SE*		
	กลุ่มควบคุม	60 กิโลกรัม	100 กิโลกรัม
KU BP-16	33.83 $\pm$ 0.19 <sup>a</sup>	30.95 $\pm$ 0.58 <sup>b</sup>	28.06 $\pm$ 1.17 <sup>c</sup>
KU BP-20	34.58 $\pm$ 0.27 <sup>a</sup>	30.40 $\pm$ 0.28 <sup>b</sup>	30.05 $\pm$ 0.03 <sup>b</sup>
KU BP-27	34.18 $\pm$ 0.52 <sup>a</sup>	31.37 $\pm$ 0.39 <sup>b</sup>	30.53 $\pm$ 0.67 <sup>b</sup>
KU BP 78-9	34.80 $\pm$ 0.24 <sup>a</sup>	30.77 $\pm$ 0.58 <sup>b</sup>	30.54 $\pm$ 0.15 <sup>b</sup>
KU BP 80-3	37.65 $\pm$ 0.64 <sup>a</sup>	33.75 $\pm$ 1.50 <sup>b</sup>	32.97 $\pm$ 0.18 <sup>b</sup>

วิเคราะห์ตัวอย่างที่ความเชื่อมั่นร้อยละ 95 ( $P < 0.05$ ) จำนวน 3 ชุด

\* ค่าเฉลี่ยในแต่ละอนเดียวกันที่กำกับตัวอักษรเหมือนกัน ไม่มีความแตกต่างกันอย่างมีนัยสำคัญทางสถิติ และที่มีตัวอักษรต่างกัน มีความแตกต่างกันอย่างมีนัยสำคัญทางสถิติ ( $P < 0.05$ )

**ตารางที่ 5 ปริมาณถ้าระหว่างกลุ่มควบคุมและกลุ่มลายรังสีปริมาณ 60 และ 100 กิโลกรัม**  
**ทั้ง 5 สายพันธุ์**

พันธุ์	ร้อยละถ้า $\pm$ SE*		
	กลุ่มควบคุม	60 กิโลกรัม	100 กิโลกรัม
KU BP-16	4.89 $\pm$ 0.02 <sup>a</sup>	4.83 $\pm$ 0.04 <sup>a</sup>	4.82 $\pm$ 0.02 <sup>a</sup>
KU BP-20	4.49 $\pm$ 0.03 <sup>a</sup>	4.48 $\pm$ 0.02 <sup>a</sup>	4.57 $\pm$ 0.01 <sup>a</sup>
KU BP-27	4.58 $\pm$ 0.34 <sup>a</sup>	4.19 $\pm$ 0.02 <sup>a</sup>	4.46 $\pm$ 0.03 <sup>a</sup>
KU BP 78-9	3.37 $\pm$ 0.03 <sup>a</sup>	3.80 $\pm$ 0.02 <sup>a</sup>	3.97 $\pm$ 0.02 <sup>a</sup>
KU BP 80-3	4.29 $\pm$ 0.02 <sup>b</sup>	4.36 $\pm$ 0.01 <sup>a,b</sup>	4.46 $\pm$ 0.05 <sup>a</sup>

วิเคราะห์ตัวอย่างที่ความเชื่อมั่นร้อยละ 95 ( $P < 0.05$ ) จำนวน 3 ชุด

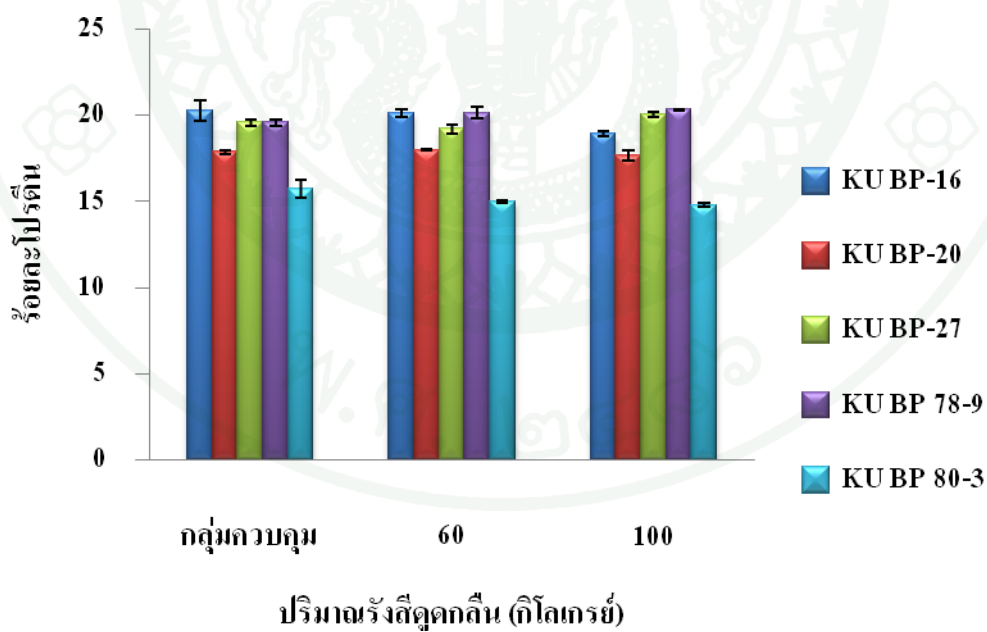
\* ค่าเฉลี่ยในแต่ละอนเดียวกันที่กำกับตัวอักษรเหมือนกัน ไม่มีความแตกต่างกันอย่างมีนัยสำคัญทางสถิติ และที่มีตัวอักษรต่างกัน มีความแตกต่างกันอย่างมีนัยสำคัญทางสถิติ ( $P < 0.05$ )

ตารางที่ 6 ปริมาณโปรตีนระหว่างกลุ่มควบคุมและกลุ่มจ่ายรังสีปริมาณ 60 และ 100 กิโลกรัม  
ทั้ง 5 สายพันธุ์

พันธุ์	ร้อยละ โปรตีน±SE*		
	กลุ่มควบคุม	60 กิโลกรัม	100 กิโลกรัม
KU BP-16	20.16±0.61 <sup>a</sup>	20.12±0.19 <sup>a</sup>	18.91±0.15 <sup>a</sup>
KU BP-20	17.89±0.11 <sup>a</sup>	17.99±0.33 <sup>a</sup>	17.68±0.26 <sup>a</sup>
KU BP-27	19.45±0.29 <sup>a</sup>	18.99±0.28 <sup>a</sup>	20.04±0.14 <sup>a</sup>
KU BP 78-9	19.60±0.18 <sup>a</sup>	20.16±0.30 <sup>a</sup>	20.31±0.05 <sup>a</sup>
KU BP 80-3	15.72±0.52 <sup>a</sup>	14.99±0.09 <sup>a</sup>	14.81±0.13 <sup>a</sup>

วิเคราะห์ตัวอย่างที่ความเชื่อมั่นร้อยละ 95 ( $P < 0.05$ ) จำนวน 3 ชุด

\* ค่าเฉลี่ยในแต่ละอนเดียวกันที่กำกับตัวอักษรเหมือนกัน ไม่มีความแตกต่างกันอย่างมีนัยสำคัญทางสถิติ และที่มีตัวอักษรต่างกัน มีความแตกต่างกันอย่างมีนัยสำคัญทางสถิติ ( $P < 0.05$ )



ภาพที่ 7 ปริมาณโปรตีนในเมล็ดสูงต่ำทั้ง 5 สายพันธุ์ที่ผ่านการฉายรังสีปริมาณ 60 และ 100 กิโลกรัม เทียบกับตัวอย่างที่ไม่ผ่านการฉายรังสี

## การศึกษาภัยกรรมของเอนไซม์ป्रติอส

### 1. การเตรียมกราฟมาตรฐานของ *p*-nitroaniline

จากการเตรียมกราฟมาตรฐานของ *p*-nitroaniline โดยวัดการดูดกลืนแสงที่ 410 นาโนเมตร พบว่า ค่าการดูดกลืนแสงเพิ่มขึ้นตามความเข้มข้นของ *p*-nitroaniline ซึ่งมีความเข้มข้นตั้งแต่ 0.03-0.21 (ตารางที่ 7) ความสัมพันธ์ระหว่างค่าการดูดกลืนแสงที่ความยาวคลื่น 410 นาโนเมตร กับความเข้มข้นของ *p*-nitroaniline เป็นไปตามสมการ  $y = 4.224x$  ซึ่งกราฟดังกล่าวมีความชันเท่ากับ 4.224 (ภาพผนวกที่ 1)

ตารางที่ 7 ค่าการดูดกลืนแสงที่ความยาวคลื่น 410 นาโนเมตร กับความเข้มข้นของ *p*-nitroaniline ตั้งแต่ 0.03-0.21 ไมโครโมลต์/มิลลิลิตร

ความเข้มข้นของ <i>p</i> -nitroaniline (ไมโครโมลต์/มิลลิลิตร)	$A_{410}$ (นาโนเมตร)
0	0.00
0.03	0.128
0.06	0.255
0.09	0.383
0.12	0.501
0.15	0.629
0.18	0.764
0.21	0.888

## 2. การวิเคราะห์กิจกรรมเอนไซม์ทริปซิน

จากการวิเคราะห์กิจกรรมของเอนไซม์ทริปซิน ซึ่งเป็นเอมไชม์ปฏิเสถียรใช้สารละลาย BAPNA เป็นสับสเตรท พบร่วมค่าการดูดกลืนแสงที่ความยาวคลื่น 410 นาโนเมตรเท่ากับ 0.522 และค่า dilution factor เท่ากับ 100 เมื่อนำไปคำนวณตามสมการที่ 3 พบร่วมค่ากิจกรรมของเอนไซม์ทริปซินดังตารางที่ 8

**ตารางที่ 8** ค่าการดูดกลืนแสงที่ความยาวคลื่น 410 นาโนเมตร ในกิจกรรมของเอนไซม์ทริปซินจากการคำนวณหาค่ากิจกรรมของเอนไซม์ทริปซินใน multienzyme

$A_{410}$ (นาโนเมตร)	ค่าความชันจากกราฟ มาตรฐานของ <i>p</i> -nitroaniline	DF*	กิจกรรมของเอนไซม์ทริปซิน ( $\mu\text{mol } p\text{-nitroaniline produced h}^{-1}$ )	เฉลี่ย
0.523	4.224	100	12.381	
0.519	4.224	100	12.286	12.35
0.523	4.224	100	12.381	

\* dilution factor (DF) จากสมการที่ 3

## ศึกษาความสามารถในการย่อยโปรตีนของเอนไซม์สูญญ่า

### 1. การเตรียมกราฟมาตรฐานของ *L*-Alanine

จากการเตรียมกราฟมาตรฐานของ *L*-Alanine โดยวัดค่าการดูดกลืนแสงที่ 410 นาโนเมตรพบร่วมค่าการดูดกลืนแสงเพิ่มขึ้นตามความเข้มข้นของ *L*-Alanine ซึ่งมีความเข้มข้นตั้งแต่ 0.3-3.0 ไมโครโมลต่อเมลลิลิตร (ตารางที่ 9) ความสัมพันธ์ระหว่างค่าการดูดกลืนแสงที่ความยาวคลื่น 410 นาโนเมตร กับความเข้มข้นของ *L*-Alanine เป็นไปตามสมการ  $y = 0.266x$  ซึ่งกราฟดังกล่าวมีความชันเท่ากับ 0.266 (ภาพผนวกที่ 2)

**ตารางที่ 9 ค่าการดูดกลืนแสงที่ความยาวคลื่น 410 นาโนเมตร กับความเข้มข้นของ L-Alanine ตั้งแต่ 0.3-3 ไมโครโมลต์/มิลลิลิตร**

ความเข้มข้นของ L-Alanine (ไมโครโมลต์/มิลลิลิตร)	A <sub>410</sub> (นาโนเมตร)
0	0
0.3	0.097
0.6	0.182
0.9	0.256
1.2	0.333
1.5	0.413
1.8	0.485
2.1	0.567
2.4	0.635
2.7	0.722
3	0.770

## 2. การวิเคราะห์การย่อยโปรตีน

การวิเคราะห์ความสามารถการย่อยโปรตีนของกากเมล็ดสนู่ด้ำทัง 5 สายพันธุ์ที่ผ่านการฉายรังสีปริมาณ 0, 10, 20, 30, 60 และ 100 กิโลกรัม ทำได้โดยนำค่าการดูดกลืนแสงที่ 420 นาโนเมตรของตัวอย่างที่ถูกย่อยด้วย multienzyme และค่าความชันของ L-Alanine ที่ได้จากการเตรียมกราฟมาตราฐานในข้อ 4.1 มาคำนวณหาค่าการย่อยได้ของโปรตีนจากสมการที่ 4 จะได้ค่าการย่อยโปรตีนในหน่วยของ  $\mu\text{mol L-Alanine equivalent per g feed}$  จากนั้นนำค่ากิจกรรมของเอนไซม์ท्रิปซินที่คำนวณได้จากข้อ 3.2 มาคำนวณหาค่า *In vitro digestibility* ของโปรตีนในหน่วยของ  $\mu\text{mol L-Alanine equivalent per g feed per trypsin activity}$  ซึ่งแสดงตัวอย่างข้อมูลที่ใช้ในการคำนวณค่าความสามารถในการย่อยโปรตีนของกากเมล็ดสนู่ด้ำทัง 5 สายพันธุ์ที่ไม่ผ่านการฉายรังสีและผ่านการฉายรังสี 60 กิโลกรัม ในตารางที่ 10 และ 11 ตามลำดับ

ตารางที่ 10 ความสามารถในการย่อยโปรตีนในกาลเมล็ดสนู่ดำหั้ง 5 สายพันธุ์ที่ไม่ผ่านการฉายรังสี

พันธุ์	$A_{420}$ (นาโนเมตร)	น้ำหนักของกาลเมล็ดสนู่ดำ (มิลลิกรัม)	การย่อยโปรตีน* n = 3	
			**	***
KU BP-16	0.118	5.4	657.19	53.21
	0.124	5.2	717.17	58.07
	0.121	5.1	713.54	57.77
KU BP-20	0.088	5.3	499.36	40.43
	0.098	5.2	566.80	45.89
	0.094	5.0	565.41	45.78
KU BP-27	0.146	5.3	828.48	67.08
	0.130	5.3	737.69	59.73
	0.148	5.1	872.77	70.66
KU BP 78-9	0.145	5.3	822.81	66.62
	0.154	5.4	857.69	69.44
	0.132	5.4	735.17	59.52
KU BP 80-3	0.104	5.1	613.29	49.65
	0.087	5.1	513.04	41.54
	0.099	5.2	572.58	46.36

\* คำนวณได้จากการที่ 4 โดยค่าความชันจากกราฟมาตรฐานของ L-Alanine มีค่าเท่ากับ 0.266 ค่า dilution factor เท่ากับ 8,000 และค่ากิจกรรมของเอนไซม์ทริปซิน เท่ากับ 12.35  $\mu\text{mol}$  *p*-nitroaniline produced per hour

\*\* หน่วย  $\mu\text{mol}$  L-Alanine equivalent per g feed

\*\*\* หน่วย  $\mu\text{mol}$  L-Alanine equivalent per g feed per trypsin activity

ตารางที่ 11 ความสามารถในการย่อยโปรตีนในกาเมาล์ดสบู่ดำทั้ง 5 สายพันธุ์ที่ผ่านการฉายรังสี ปริมาณ 60 กิโลกรัม

พันธุ์	$A_{420}$ (นาโนเมตร)	น้ำหนักของกาเมาล์ดสบู่ดำ (มิลลิกรัม)	การย่อยโปรตีน* n = 3	
			**	***
KU BP-16	0.164	5.2	930.62	75.35
	0.165	5.3	954.30	77.27
	0.153	5.2	868.20	70.29
KU BP-20	0.119	5.4	662.76	53.66
	0.112	5.2	705.61	57.13
	0.126	5.0	757.89	61.36
KU BP-27	0.157	5.1	925.84	74.96
	0.162	5.2	936.95	75.86
	0.165	5.2	954.30	77.27
KU BP 78-9	0.180	5.0	1082.70	87.66
	0.186	5.2	1075.76	87.10
	0.183	5.0	1100.75	89.12
KU BP 80-3	0.209	5.4	1164.02	94.25
	0.192	5.4	1069.34	86.58
	0.184	5.3	1044.12	84.54

\* คำนวณได้จากการที่ 4 โดยค่าความชันจากกราฟมาตรฐานของ L-Alanine มีค่าเท่ากับ 0.266 ค่า dilution factor เท่ากับ 8,000 และค่ากิจกรรมของเอนไซม์ทริปซิน เท่ากับ 12.35  $\mu\text{mol}$  *p*-nitroaniline produced per hour

\*\* หน่วย  $\mu\text{mol}$  L-Alanine equivalent per g feed

\*\*\* หน่วย  $\mu\text{mol}$  L-Alanine equivalent per g feed per trypsin activity

### 3. ผลของปริมาณรังสีคุณลักษณะต่อความสามารถในการย่อยโปรตีน

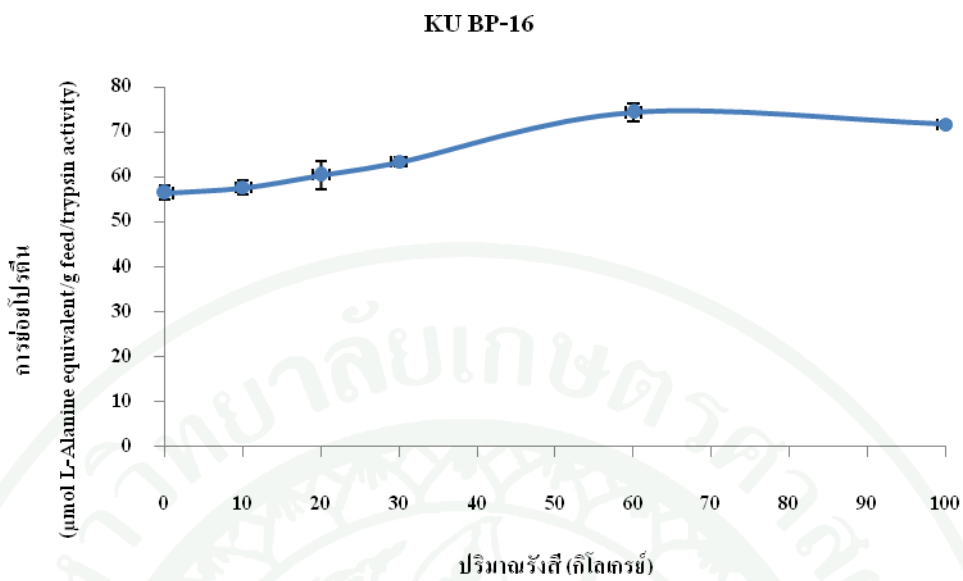
ผลของรังสีแกรมมาตรฐานต่อความสามารถในการย่อยโปรตีนของการเมล็ดสนู่ดำทั้ง 5 สายพันธุ์ แสดงในตารางที่ 12 และความสามารถในการย่อยโปรตีนของการเมล็ดสนู่ดำแต่ละสายพันธุ์แสดงในภาพที่ 6 ถึง 10 ซึ่งพบว่าความสามารถในการย่อยโปรตีนในการเมล็ดสนู่ดำมีค่าเพิ่มขึ้นตามปริมาณรังสีที่เพิ่มขึ้นจาก 10 ถึง 60 กิโลกรัม แต่ในการเมล็ดสนู่ดำที่ผ่านการฉายรังสีต่ำกว่า 60 กิโลกรัม ได้แก่ ปริมาณรังสี 10, 20 และ 30 กิโลกรัม ในการศึกษาครั้งนี้ไม่พบการเปลี่ยนแปลงของการย่อยโปรตีนอย่างมีนัยสำคัญทางสถิติเมื่อเทียบกับตัวอย่างที่ไม่ผ่านการฉายรังสี และพบว่า การฉายรังสีแกรมมาปริมาณ 100 กิโลกรัม ไม่มีผลต่อการเพิ่มความสามารถในการย่อยโปรตีนแต่อย่างใด เมื่อเปรียบเทียบกับปริมาณรังสี 60 กิโลกรัม

ตารางที่ 12 ผลของรังสีแกรมมาตรฐานต่อความสามารถในการย่อยโปรตีนของสนู่ดำทั้ง 5 สายพันธุ์

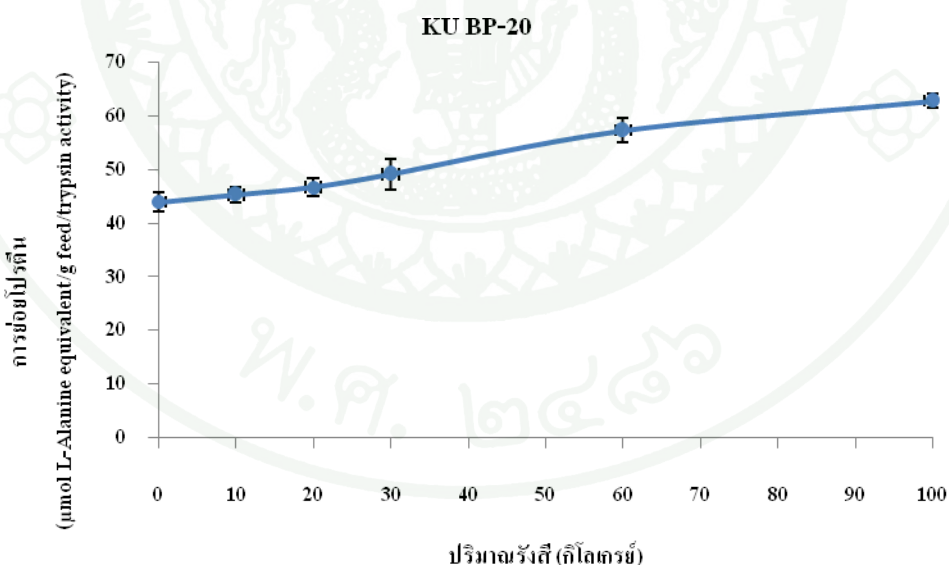
พันธุ์	ปริมาณรังสี (กิโลกรัม)					
	กลุ่มควบคุม	10	20	30	60	100
KU BP-16	56.35±1.57 <sup>c</sup>	57.59±1.56 <sup>b,c</sup>	60.40±3.19 <sup>b,c</sup>	63.29±0.88 <sup>b</sup>	74.30±2.07 <sup>a</sup>	71.63±0.71 <sup>a</sup>
KU BP-20	44.03±1.80 <sup>b</sup>	45.38±1.46 <sup>b</sup>	46.78±1.74 <sup>b</sup>	49.20±2.84 <sup>b</sup>	57.38±2.22 <sup>a</sup>	62.91±1.28 <sup>a</sup>
KU BP-27	65.82±6.62 <sup>b</sup>	68.90±2.21 <sup>b</sup>	69.33±1.73 <sup>b</sup>	69.59±0.46 <sup>b</sup>	76.03±0.54 <sup>a</sup>	78.11±0.78 <sup>a</sup>
KU BP 78-9	65.20±2.40 <sup>c</sup>	70.32±1.05 <sup>b,c</sup>	70.81±2.04 <sup>b,c</sup>	71.72±0.90 <sup>b</sup>	87.96±0.46 <sup>a</sup>	84.74±0.97 <sup>a</sup>
KU BP 80-3	45.85±2.35 <sup>c</sup>	45.42±3.11 <sup>c</sup>	48.38±1.27 <sup>b,c</sup>	53.98±3.25 <sup>b</sup>	88.46±2.95 <sup>a</sup>	87.63±1.85 <sup>a</sup>

วิเคราะห์ตัวอย่างที่ความเชื่อมั่นร้อยละ 95 ( $P < 0.05$ ) จำนวน 3 ชุด

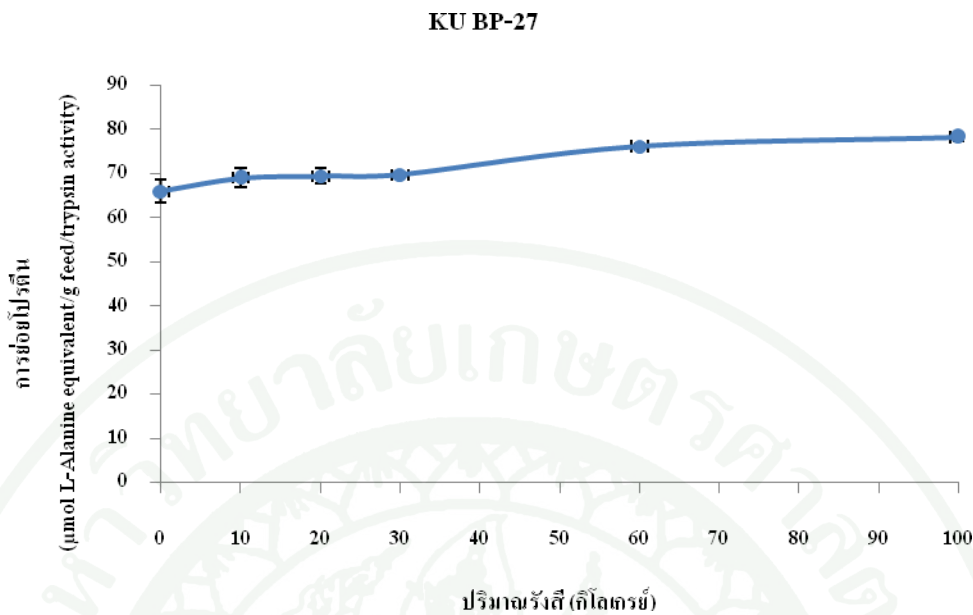
\* ค่าเฉลี่ยในแต่ละชนิดยกเว้นค่าที่กำกับตัวอักษรเหมือนกัน ไม่มีความแตกต่างกันอย่างมีนัยสำคัญทางสถิติ และที่มีตัวอักษรต่างกัน มีความแตกต่างกันอย่างมีนัยสำคัญทางสถิติ ( $P < 0.05$ )



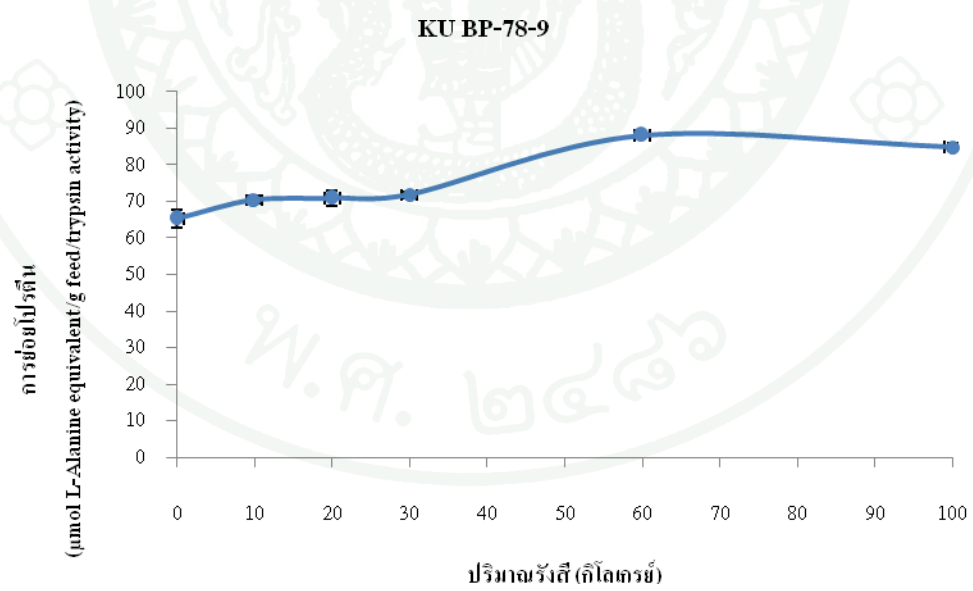
ภาพที่ 8 ความสามารถในการย่อยโปรตีนในกาลเมล็ดสนูดำของสายพันธุ์ KU BP-16  
ที่ผ่านการฉายรังสี



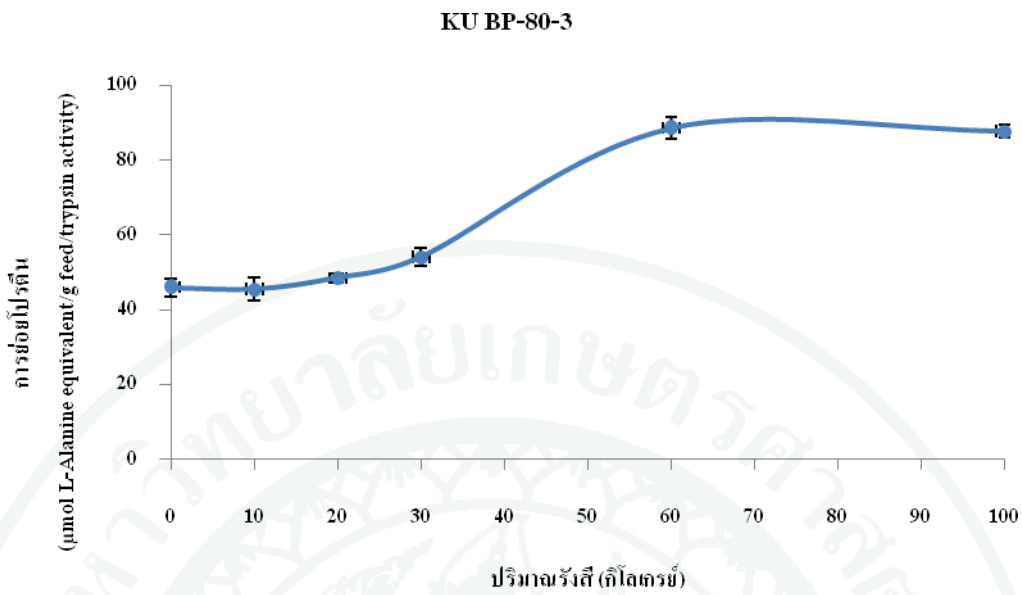
ภาพที่ 9 ความสามารถในการย่อยโปรตีนในกาลเมล็ดสนูดำของสายพันธุ์ KU BP-20  
ที่ผ่านการฉายรังสี



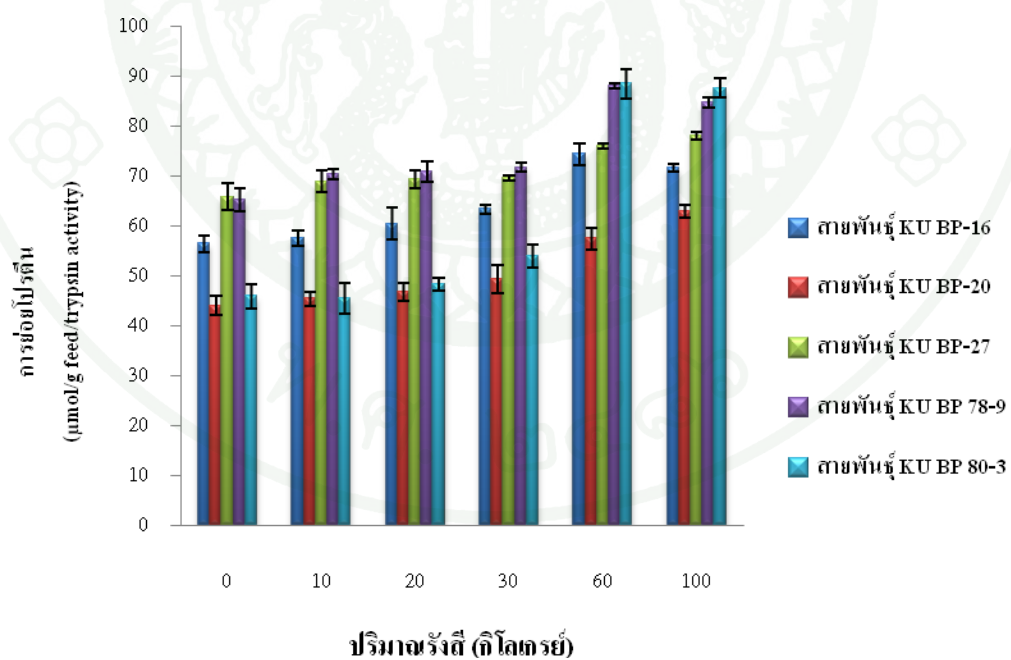
**ภาพที่ 10** ความสามารถในการย่อยโปรตีนในกาเเฟเมล็ดสบู่คำของสายพันธุ์ KU BP-27  
ที่ผ่านการฉายรังสี



**ภาพที่ 11** ความสามารถในการย่อยโปรตีนในกาเเฟเมล็ดสบู่คำของสายพันธุ์ KU BP 78-9  
ที่ผ่านการฉายรังสี



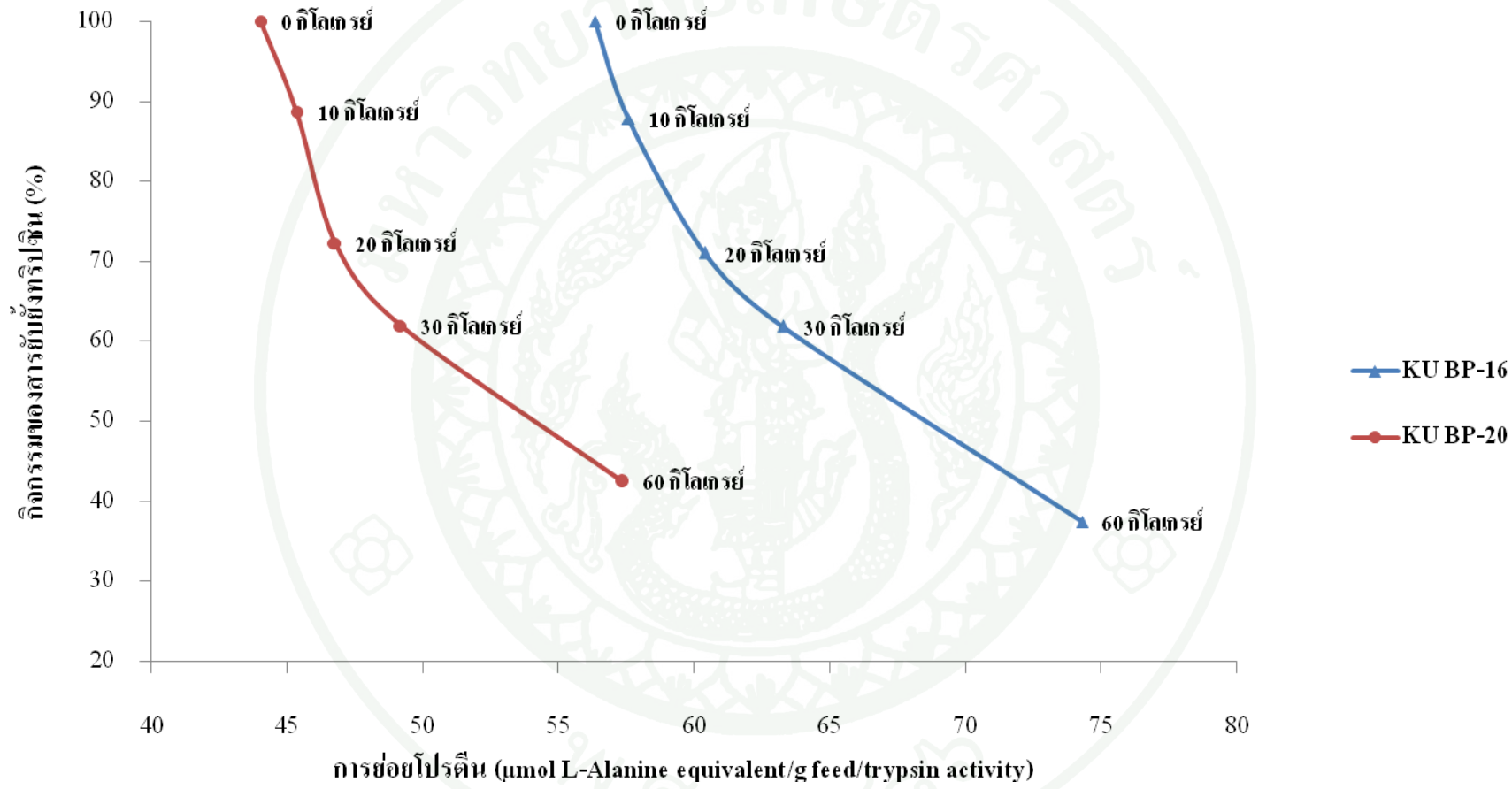
ภาพที่ 12 ความสามารถในการย่อยโปรตีนในกาเเฟเมล็ดสนู่ดำของสายพันธุ์ KU BP 80-3  
ที่ผ่านการฉายรังสี



ภาพที่ 13 ความสามารถในการย่อยโปรตีนในกาเเฟเมล็ดสนู่ด้ำทั้ง 5 สายพันธุ์ที่ปริมาณรังสีต่างๆ

## การเปรียบเทียบผลของรังสีแกรมมาที่มีต่อความสามารถในการย่อยโปรตีนกับกิจกรรมสารยับยั้งทริปชิน

ผลของรังสีแกรมมาที่ปริมาณตั้งแต่ 0, 10, 20, 30 และ 60 กิโลกราฟที่มีต่อกิจกรรมของสารยับยั้งทริปชินในภาคเมล็ดสนุุ่ดำสายพันธุ์ KU BP-16 และ 20 ที่ได้จากการทดลองของ ศรยาอุทา (2551) พบว่าภาคเมล็ดสนุุ่ดำสายพันธุ์ KU BP-16 มีค่าร้อยละของกิจกรรมของสารยับยั้งทริปชินลดลงอย่างมีนัยสำคัญทางสถิติเมื่อเทียบกับกลุ่มควบคุมที่ไม่ได้ผ่านการฉายรังสีเท่ากับ  $100, 87.80 \pm 3.40, 71.05 \pm 2.34, 61.84 \pm 2.13$  และ  $37.40 \pm 2.99$  ตามลำดับ ส่วนสายพันธุ์ KU BP-20 มีค่าร้อยละกิจกรรมของสารยับยั้งทริปชินเท่ากับ  $100, 88.64 \pm 2.47, 72.27 \pm 1.10, 61.92 \pm 1.21$  และ  $42.48 \pm 1.14$  ตามลำดับ และค่าความสามารถในการย่อยโปรตีนด้วยวิธี *In vitro* ในภาคเมล็ดสนุุ่ดำที่ฉายรังสีปริมาณ 0 (กลุ่มควบคุมไม่ผ่านการฉายรังสี) 10, 20, 30 และ 60 กิโลกราฟ ดังตารางที่ 12 เมื่อนำมาสร้างกราฟความสัมพันธ์ระหว่างความสามารถในการย่อยโปรตีนกับกิจกรรมของสารยับยั้งทริปชินพบว่า ความสามารถในการย่อยโปรตีนมีค่าเพิ่มขึ้นเมื่อกิจกรรมของสารยับยั้งทริปชินมีค่าลดลงตามปริมาณรังสีที่ภาคเมล็ดสนุ่ด้ำได้รับตั้งแต่ 0 (กลุ่มควบคุมไม่ผ่านการฉายรังสี) -60 กิโลกราฟ (ภาพที่ 14)



ภาพที่ 14 grafแสดงความสัมพันธ์ระหว่างความสามารถในการย่อยโปรตีนและกิจกรรมของสารยับยั้งทริปซินของการเมล็ดสูบ้ำสายพันธุ์ KU BP-16 และ KU BP-20 ที่ฉายรังสีปริมาณ 0-60 กิโลกรัม

## วิจารณ์

### องค์ประกอบทางโภชนาของเมล็ดสนู่ดำ

#### 1. องค์ประกอบทางโภชนาของเมล็ดสนู่ดำที่ไม่ผ่านการน้ำยารังสี

การศึกษาองค์ประกอบทางโภชนาของเมล็ดสนู่ดำรวมเปลือกหั้ง 5 สายพันธุ์ มีค่าร้อยละของโปรตีนในช่วง 15.72-20.61 ซึ่งต่ำกว่าเมล็ดสนู่ดำที่นำเปลือกออกหั้ง 5 สายพันธุ์ จากการทดลองของ ศรยาอุทัย (2551) ร้อยละ 27.79-29.26 และจาก Quintana Roo state (ร้อยละ 27-30) ในประเทศเม็กซิโก (Makkar *et al.*, 1998) และเนื้oin เมล็ดสนู่ด้าที่มาจากการแคนประเทศไทยและเนื้อและใต้ประเทศแคนบอเมริกากลางและเหนือ และเอเชีย (ร้อยละ 19-31) รวม 16 แหล่งพันธุ์ (Makkar *et al.*, 1997) ส่วนค่าร้อยละไขมันในเมล็ดสนู่ด้ำรวมเปลือกหั้ง 5 สายพันธุ์ที่ทำการศึกษา (ร้อยละ 30.34-37.10) มีค่าน้อยกว่าเมล็ดสนู่ด้ำจากการทดลองของ ศรยาอุทัย (2551) หั้ง 5 สายพันธุ์ที่ปลูกในประเทศไทย (44.83-49.67) และเนื้oin เมล็ดสนู่ด้ำที่มาจากการแคนประเทศไทยและเนื้อและใต้ประเทศแคนบอเมริกากลางและเหนือ และเอเชีย (ร้อยละ 43-59) รวม 18 แหล่งพันธุ์ (Makkar *et al.*, 1997)

นอกจากนี้ ปริมาณเยื่อไขของเมล็ดสนู่ด้ำรวมเปลือกหั้ง 5 สายพันธุ์จากการศึกษาในครั้งนี้ (ร้อยละ 33.83-35.66) มีค่าสูงกว่าเนื้oin เมล็ดสนู่ด้ำที่ไม่รวมเปลือกหั้ง 5 แหล่งพันธุ์ (ร้อยละ 4.70-9.30) ที่ปลูกในประเทศไทยจากการทดลองของ ศรยาอุทัย (2551) และเนื้oin เมล็ดสนู่ด้ำหั้ง 4 สายพันธุ์ ไม่รวมเปลือก (ร้อยละ 2.8-3.4) จากประเทศไทยเม็กซิโก และปริมาณถ้าในการศึกษาครั้งนี้ (ร้อยละ 3.37-4.89) มีค่าใกล้เคียงกับเมล็ดสนู่ด้ำหั้ง 4 สายพันธุ์ (ร้อยละ 3.8-5.1) จากประเทศไทยเม็กซิโก (Martinez *et al.*, 2006) และเนื้oin เมล็ดสนู่ด้ำที่มาจากการแคนประเทศไทยและเนื้อและใต้ประเทศแคนบอเมริกากลางและเหนือ และเอเชีย (ร้อยละ 3.4-5.0) รวม 18 แหล่งพันธุ์ (Makkar *et al.*, 1997)

ความชื้นของเมล็ดสนู่ดำรวมเปลือกทั้ง 5 สายพันธุ์จากการศึกษารังนี้ (ร้อยละ 4.67-5.85) มีค่าสูงกว่าเนื้อในเมล็ดสนู่ดำที่ไม่รวมเปลือกทั้ง 5 แหล่งพันธุ์ (ร้อยละ 0.57-0.83) ที่ปลูกในประเทศไทยจากการทดลองของ ศราษฎร์ (2551) และมีค่าไกลีเดียงกับเมล็ดสนู่ดำที่ไม่รวมเปลือกทั้ง 4 สายพันธุ์ (ร้อยละ 4.7-5.5) จากประเทศไทยเม็กซิโก (Martinez *et al.*, 2006) ทั้งนี้ปริมาณความชื้นยังขึ้นอยู่กับปริมาณของคุณสมบัติทางกายภาพ เช่น ความเยาว์ ความกร้าง ความหนา และมวลน้ำหนักของเมล็ดสนู่ดำ 1000 เมล็ด 18.6 มิลลิเมตร 11.34 มิลลิเมตร 8.91 มิลลิเมตร และ 741.1 กรัม ตามลำดับ จะมีร้อยละของความชื้นที่ 4.75 เป็นต้น (Garnayak *et al.*, 2008)

## 2. องค์ประกอบทางโภชนาของเมล็ดสนู่ดำที่ผ่านการฉายรังสี

องค์ประกอบทางโภชนา ได้แก่ ความชื้น ไขมัน เถ้า และโปรตีน ในเมล็ดสนู่ดำรวมเปลือกทั้ง 5 สายพันธุ์ ที่น้ำรังสีปริมาณ 60 และ 100 กิโลกรัม ไม่เปลี่ยนแปลงเมื่อเทียบกับกลุ่มควบคุมที่ไม่ผ่านการฉายรังสีโดยเฉพาะ โปรตีน ซึ่งเป็นสารอาหารที่สำคัญที่สุดตัวหนึ่งในการศึกษา รังนี้ไม่เปลี่ยนแปลง (ตารางที่ 6) เช่นเดียวกับการทดลองของ ศราษฎร์ (2551) ที่ศึกษ้องค์ประกอบทางโภชนาของเนื้อในเมล็ดสนู่ที่ไม่รวมเปลือก ฉายรังสีตั้งแต่ 10, 20, 30 และ 60 กิโลกรัม พนว่า ปริมาณ โปรตีน (ร้อยละ 27.08-28.11) ยกเว้นปริมาณเยื่อไขข่องกลุ่มควบคุมในทุกสายพันธุ์ทดลอง เมื่อเทียบกับกลุ่มที่ผ่านการฉายรังสีปริมาณ 60 และ 100 กิโลกรัม (ตารางที่ 4) เป็นเพราระรังสีจะไปทำให้องค์ประกอบของผนังเซลล์พีชลดลง (Masri and Zarkawi, 1994) โดย lignocelluloses เป็นองค์ประกอบของผนังเซลล์เกิดการแตกหัก นอกจากนี้รังสียังทำให้องค์ประกอบของผนังเซลล์ (เอมิเซลลูลอส (ADF และ NDF) และ เซลลูลอส (ADF และ ADL) เกิดปฏิกิริยา delignification, depolymerization และ deconstruction ของโครงสร้างผลึกเซลลูลอส อันเนื่องมาจากการรังสี (Lowton, 1952) นอกจากนี้การฉายรังสีปริมาณ 200 กิโลกรัม ให้กับการเมล็ดนุ่นทำให้องค์ประกอบของผนังเซลล์ ซึ่งประกอบด้วย NDF (neutral detergent fiber), ADF (acid detergent fiber) และ ADL (acid detergent lignin) ลดลงร้อยละ 5-21, 3-14 และ 6-16 ตามลำดับ (Masri and Guenther, 1999)

## ผลของรังสีแกมมาต่อความสามารถในการย่อยโปรตีนของกากเมล็ดสนู่ดำ

การศึกษาความสามารถในการย่อยโปรตีนของกากเมล็ดสนู่ดำทั้ง 5 สายพันธุ์ ได้แก่ KU BP-16, KU BP-20, KU BP-27, KU BP 78-9 และ KU BP 80-3 ที่ผ่านการฉายรังสี 10, 20 และ 30 กิโลกรัม ไม่มีความแตกต่างทางสถิติเมื่อเทียบกับกลุ่มควบคุม ซึ่งผลการทดลองนี้สอดคล้องกับการทดลองในตัวอย่างข้าวฟ่างที่ผ่านการฉายรังสีแกมมาปริมาณ 0, 10 และ 50 กิโลกรัม พนว่าความสามารถในการย่อยโปรตีนของข้าวฟ่างมีค่าร้อยละ 70.5, 71.0 และ 70.3 ตามลำดับ (Fombang *et al.*, 2005) นอกจากนี้ Martinez-Herrera *et al.* (2006) ศึกษาการฉายรังสีกากเมล็ดสนู่ดำ จำนวน 4 สายพันธุ์จากประเทศเม็กซิโก ได้แก่ Castillo de Teayo, Pueblillo, Coatza coalcos และ Yautepec ที่ปริมาณรังสี 10 กิโลกรัม พนว่า มีค่าร้อยละการย่อยได้ของโปรตีนในห้องปฏิบัติการเท่ากับ 80.6-80.9, 79.6-80.4, 78.6-79.6 และ 79.6-79.5 ตามลำดับ ซึ่งไม่มีความแตกต่างกันทางสถิติจากตัวอย่างกากเมล็ดสนู่ดำที่ไม่ผ่านการฉายรังสี ซึ่งอาจเป็นไปได้ว่าระดับกิจกรรมของสารขับยั่งทริปชินในเมล็ดสนู่ดั่งคงมีระดับที่สูงอยู่เป็นผล ทำให้มีอัตราการย่อยได้ของโปรตีนในตัวอย่างที่ผ่านการฉายรังสีไม่แตกต่างจากกลุ่มควบคุม (Martinez-Herrera *et al.*, 2006)

จากผลดังกล่าวสันนิษฐานได้ว่า การนำเมล็ดสนู่ดำที่ผ่านการฉายรังสีแล้วมาหีบห่ำมันด้วยระบบเกลียวอัดนั้น อาจมีความร้อนเกิดขึ้นในขั้นตอนของการหีบห่ำมันทำให้มีการเชื้อมหรือรวมพันธะบางพันธะ ซึ่งอาจสามารถขัดขวางประสิทธิภาพการย่อยได้ของโปรตีนในกากเมล็ดสนู่ด้ำ อีกรังหนึ่ง ทำให้ความสามารถในการย่อยของโปรตีนที่ปริมาณรังสี 10, 20, 30 และกลุ่มควบคุมนั้น ไม่แตกต่างกัน และจากการศึกษาผลของรังสีแกมมากับเมล็ดข้าวบาร์เลย์ที่ความชื้นต่างกันพบว่า เมื่อฉายรังสีแกมมาให้กับเมล็ดข้าวบาร์เลย์ที่ลดความชื้นในสภาพ air dry condition คือ มีความชื้นประมาณ ร้อยละ 10-15 เมล็ด จะมีความไวต่อรังสีต่ำที่สุด แต่ถ้าความชื้นในเมล็ดสูงกว่านี้จะไปเพิ่มความไวต่อรังสี และในพืชบางชนิดแม้ว่าความชื้นในเมล็ดจะเปลี่ยนแปลงไปเพียงร้อยละ 0.2-0.3 ก็จะมีผลกับความไวต่อรังสีของพืชมาก (Conger *et al.*, 1966)

นอกจากนี้ มีการศึกษาการใช้รังสีแกมมาในการย่อยโปรตีนของข้าวบาร์เลย์ที่ปริมาณ 0, 10 และ 50 กิโลกรัม ในสภาพที่แห้ง เปียก และเหลว พบว่า ปริมาณรังสีที่ 10 และ 50 กิโลกรัม ในสภาพแห้งและเปียก ซึ่งมีความชื้นประมาณร้อยละ 8-10 ไม่มีความแตกต่างทางสถิติ ส่วนในสภาพเหลว พบว่า การย่อยโปรตีนที่ปริมาณรังสี 10 และ 50 กิโลกรัม มีค่าเฉลี่ย 70.2 และ 62.8 ตามลำดับ และในกลุ่มควบคุมมีค่าเฉลี่ยร้อยละ 58.2 ซึ่งปริมาณรังสีที่ 10 กิโลกรัมมีค่าการย่อยได้ของโปรตีนสูงกว่าและแตกต่างกันทางสถิติกับกลุ่มควบคุมและสูงกว่าที่ปริมาณรังสี 50 กิโลกรัม (Fombang *et al.*, 2005) สำหรับการศึกษาครั้งนี้พบว่ารังสีแกมมาไม่มีผลต่อความชื้นเนื่องจากความชื้นที่เปลี่ยนแปลงไปในตัวอย่างนั้น ไม่ได้เกิดจากการรังสีแกมมา แต่อาจเกิดจากการเก็บเมล็ดในช่วงเวลาและอุณหภูมิที่แตกต่างกันรวมไปถึงความชื้นในตัวเมล็ดเองด้วย

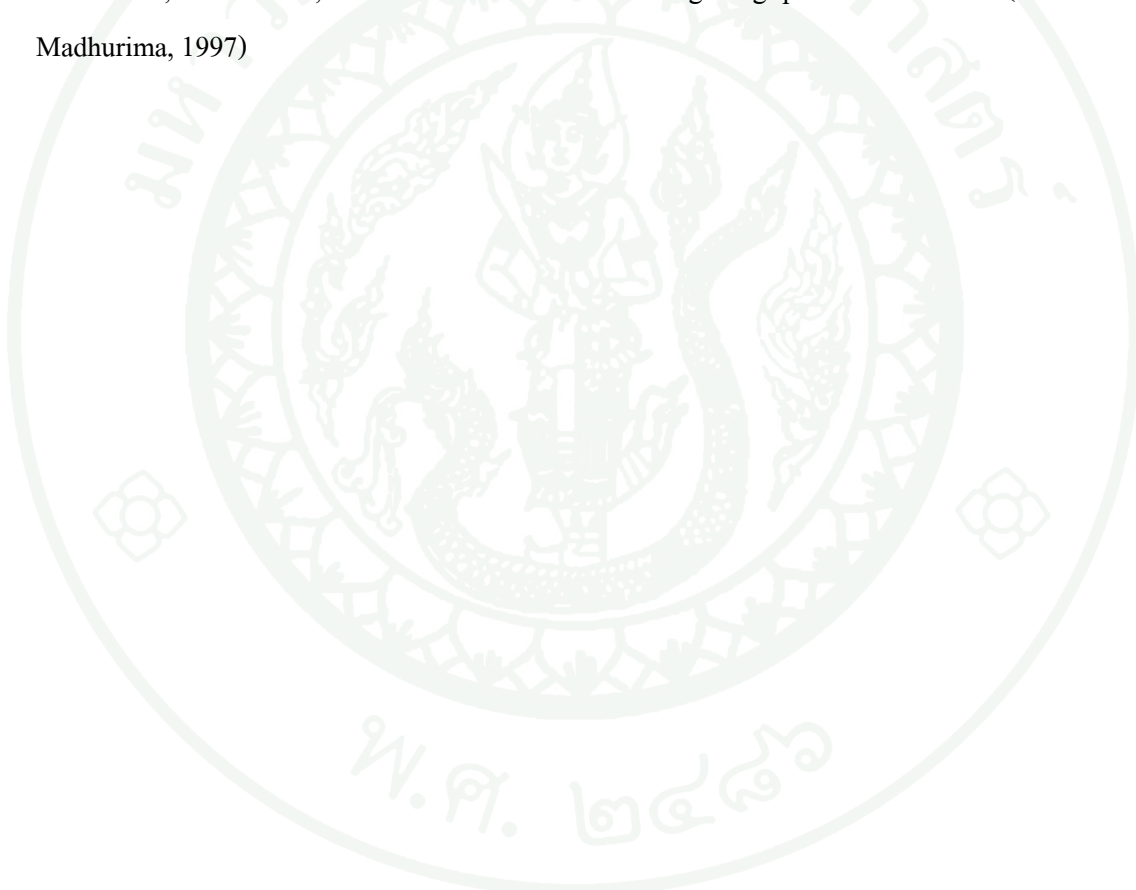
สำหรับการฉายรังสีให้กับเมล็ดสนู่ด้ำทั้ง 5 สายพันธุ์ที่ปริมาณรังสี 60 และ 100 กิโลกรัม เพื่อศึกษาความสามารถในการย่อยโปรตีนของการเมล็ดสนู่ด้ำในการศึกษาครั้งนี้พบว่า ค่า *in vitro* digestibility ของโปรตีนที่ปริมาณรังสี 60 และ 100 กิโลกรัม ของทุกสายพันธุ์ไม่แตกต่างกันทางสถิติ แต่มีความแตกต่างทางสถิติเมื่อเทียบกับปริมาณรังสี 10, 20, 30 กิโลกรัม และกลุ่มควบคุม ซึ่งสอดคล้องกับผลการศึกษาของ Masri (1998) ที่ได้ศึกษาความสามารถในการย่อยโปรตีนในวัตถุดินอาหารของไก่นึ่งที่ปริมาณรังสี 0, 10, 50, 100 และ 150 กิโลกรัม พบว่า ปริมาณรังสีระหว่าง 100 และ 150 กิโลกรัม ความสามารถในการย่อยโปรตีนไม่แตกต่างกันทางสถิติ แต่ความสามารถในการย่อยโปรตีนใน การย่อยได้ของพลังงานเพิ่มขึ้นในปริมาณรังสี 100 กิโลกรัม และการย่อยได้ของพลังงานก็ไม่มีความแตกต่างทางสถิติสำหรับปริมาณรังสีระหว่าง 100 และ 150 กิโลกรัม เช่นกัน นอกจากนี้การฉายรังสีแกมมาในปริมาณ 50-1000 กิโลกรัม ที่ไม่ส่งผลต่อระดับโปรตีน คุณภาพของโปรตีนและกรดอะมิโนในอาหารของหนูทดลอง (Ford, 1976) และอาหารของลูกไก่กระทง (Masri and Zarkawi, 1996)

เมื่อเปรียบเทียบความสามารถในการย่อยโปรตีนในการเมล็ดสนู่ด้ำสายพันธุ์ KU BP-16, KU BP-20, KU BP-27, KU BP 78-9 และ KU BP 80-3 ฉายรังสีปริมาณ 60 กิโลกรัม กับกลุ่มควบคุม พบร่วมกัน สามารถเพิ่มความสามารถในการย่อยโปรตีนได้ร้อยละ 31, 30, 15, 34 และ 92 ตามลำดับ ซึ่งจะเห็นว่าในสายพันธุ์ KU BP 80-3 สามารถเพิ่มความสามารถในการย่อยโปรตีนได้สูงถึงร้อยละ 92 ในขณะที่สายพันธุ์ KU BP -27 มีความสามารถในการย่อยโปรตีนเพิ่มขึ้นเพียงร้อยละ 15 ทั้งนี้อาจเกิดขึ้นได้จากหลายปัจจัย เช่น การเมล็ดสนู่ด้ำมีปริมาณเยื่อไขคลลงในขณะที่ฉายรังสีปริมาณ 60 กิโลกรัม และการที่มีระดับเยื่อไขต่างกันหลังจากหั่นน้ำมันก็อาจส่งผลให้ค่าการย่อยได้

ของโปรตีนตลอดจนวัตถุแห้งและค่าพลังงานใช้ประโยชน์ได้มีความแตกต่างกัน (อุทัย, 2529) ซึ่งสอดคล้องกับการทดลองของ Feltwell *et al.* (1978) ที่พบว่า เมื่อระดับเยื่อไขในอาหารต่างกันมีผลทำให้ประสิทธิภาพในการย่อยได้ของโภชนา และการใช้ประโยชน์ได้ของพลังงานในอาหารมีแนวโน้มที่ต่างกัน โดย Partride (1978) อธิบายว่าเยื่อไขในอาหารมีคุณสมบัติในการจับตัวกันน้ำทำให้มีน้ำหนักเพิ่มมากขึ้น จึงเกิดอัตราเร่งในการเคลื่อนที่ของญลในลำไส้ใหญ่ และ Emire and Sudip (2005) ได้ศึกษาปัจจัยของสารต้านโภชนา เช่น สารยับยั้งทริปชิน ไฟฟิคแอลเซอร์ แทนนิน โอลิโกลแซคคาไอลด์ และราฟฟิโนส กับการย่อยโปรตีนในห้องปฐมบัดการของถัวแพร์ริคอท 8 สายพันธุ์ใน例外โอเบีย พบร่วมกับสายพันธุ์มีอิทธิพลต่อปัจจัยของสารต้านโภชนาและการย่อยโปรตีนโดยสายพันธุ์ที่มีสารต้านโภชนาตាจะมีความสามารถในการย่อยโปรตีนได้สูง และการศึกษาความสามารถในการย่อยโปรตีนของกาเมาลีด karanja ที่มีไขมันเหลืองร้อยละ 5 และ 15 หลังจากทึบไขมันพบว่าตัวอย่างทั้งสองมีค่าการย่อยได้ร้อยละ 43 และ 39 ตามลำดับ ซึ่งอาจเป็นไปได้ว่าร้อยละของไขมันที่เหลืออยู่อาจจะขัดขวางความสามารถของการย่อยได้ ทำให้ความสามารถในการย่อยได้แตกต่างกัน (Rabab and Madhurima, 1997)

นอกจากนี้ สาเหตุของการที่กาเมาลีดสนับดีแต่ละสายพันธุ์มีความสามารถในการย่อยโปรตีนแตกต่างกัน อาจเนื่องมาจาก maillard reaction ซึ่งเป็นปรากฏการณ์ทางเคมีทำให้เกิด nonenzymatic browning ซึ่งพบในอาหารทั้งในขั้นตอนระหว่างการผลิตหรือขั้นตอนการเก็บรักษา โดยที่ reduction sugar เช่น กลูโคส หรือฟรุกโตส ทำปฏิกิริยากับกรดอะมิโนของโปรตีน และเกิดสารประกอบ glucose-amine compound ที่มีคุณสมบัติเป็นสารสีน้ำตาลและสามารถทำให้สูญเสียกรดอะมิโนและอาจมีผลต่อการดูดซึมและการสันดาป (metabolism) ของสารอาหารบางชนิด (อมรรัตน์, 2545) ทั้งนี้ ในขั้นตอนระหว่างการทึบไขมันอาจเกิดปรากฏการณ์ทางเคมีดังกล่าวกับกาเมาลีดสนับดีที่ผ่านการทึบไขมันได้ส่งผลให้ในขั้นตอนการศึกษาความสามารถในการย่อยโปรตีนโดยวิธีการหาปริมาณแอลฟ่า-อะมิโนที่เกิดขึ้น เนื่องจากการทำงานของเอนไซม์ด้วย TNBS จึงมีค่าความสามารถในการย่อยโปรตีนที่ต่างกัน

ความสัมพันธ์ระหว่างค่ากิจกรรมของสารยับยั้งทริปชินกับค่าความสามารถในการย่อยโปรตีนของกาเมลีดสมุนไพรพันธุ์ KU BP-16 และ KU BP-20 พบว่า ที่ปริมาณรังสี 60 กิโลกรัม มีค่าร้อยละกิจกรรมของสารยับยั้งทริปชินต่ำที่สุด และมีค่า *In vitro digestibility* ของโปรตีนสูงที่สุด เนื่องจากสารยับยั้งทริปชินสามารถขัดขวางการทำงานของเอนไซม์ทริปชินทำให้การย่อยของโปรตีนไม่สมบูรณ์ (จากรัตน์, 2528) ซึ่งสอดคล้องกับผลของการน้ำยารังสีปริมาณ 0, 1, 5, 10 และ 50 กิโลกรัม เพื่อศึกษาสารยับยั้งการย่อยโปรตีนและความสามารถในการย่อยโปรตีนของกาเมลีด karanja พบว่าค่ากิจกรรมของสารยับยั้งทริปชินลดลงเท่ากับ  $43.50 \pm 1.55$ ,  $41.64 \pm 2.65$ ,  $30.35 \pm 1.65$ ,  $18.25 \pm 1.55$  และ  $7.10 \pm 2.87$  Units/mg protein ตามลำดับ และค่าการย่อยได้ของโปรตีนเพิ่มขึ้นเท่ากับ  $39.0 \pm 0.85$ ,  $41.33 \pm 1.28$ ,  $48.50 \pm 1.35$ ,  $50.60 \pm 2.65$  และ  $58.33 \pm 1.44$  g/100g protein ตามลำดับ (Rabab and Madhurima, 1997)



## สรุปและข้อเสนอแนะ

### สรุป

จากผลการศึกษาคุณสมบัติพื้นฐานทางเคมีของเมล็ดสนู่ด้า รวมถึงความสามารถในการย่อยโปรตีนของากเมล็ดสนู่ด้าทั้งก่อนและหลังนำรังสีสามารถสรุปได้ดังนี้

1. รังสีแกรมมาที่ปริมาณ 60 และ 100 กิโลกรัม ไม่มีผลต่อองค์ประกอบทางโภชนาะ ได้แก่ ความชื้น ไขมัน เด้า และ โปรตีนของเมล็ดสนู่ด้าสายพันธุ์ KU BP-16, KU BP-20, KU BP-27, KU BP 78-9 และ KU BP 80-3 แต่มีผลทำให้ปริมาณเยื่อไอลคลองอย่างมีนัยสำคัญทางสถิติ
2. รังสีแกรมมาปริมาณ 60 และ 100 กิโลกรัม สามารถเพิ่มความสามารถในการย่อยโปรตีนในากเมล็ดสนู่ด้าให้สูงขึ้น ได้อย่างมีนัยสำคัญทางสถิติเมื่อเทียบกับกลุ่มควบคุม อย่างไรก็ตาม ปริมาณรังสี 100 กิโลกรัม ไม่สามารถเพิ่มการย่อยโปรตีนให้สูงขึ้น เมื่อเทียบกับปริมาณรังสี 60 กิโลกรัม ดังนั้นปริมาณรังสี 60 กิโลกรัม จึงเป็นปริมาณรังสีที่เหมาะสมต่อการเพิ่มความสามารถในการย่อยโปรตีนในากเมล็ดสนู่ด้า
3. การฉายรังสีแกรมมาให้กับเมล็ดสนู่ด้าสามารถเพิ่มความสามารถในการย่อยโปรตีนให้สูงขึ้น ซึ่งสอดคล้องกับกิจกรรมของสารบัณฑ์ทริปชินที่ลดลง ดังนั้นการฉายรังสีแกรมมาจึงเป็นทางเลือกหนึ่งที่สามารถใช้ปรับปรุงคุณภาพของากเมล็ดสนู่ด้า เพื่อนำไปใช้เป็นแหล่งโปรตีนสำหรับอาหารสัตว์ได้ต่อไป

## ข้อเสนอแนะ

1. เนื่องจากงานวิจัยครั้งนี้ ได้ทำการศึกษาผลของรังสีแกมมาต่อความสามารถในการย่อยโปรตีนของกากเมล็ดสนู่ค้ำทั้ง 5 สายพันธุ์ได้แก่ สายพันธุ์ KU BP-16, KU BP-20, KU BP-27, KU BP 78-9 และ KU BP 80-3 ซึ่งเป็นสายพันธุ์ที่มีมหาวิทยาลัยเกษตรศาสตร์ได้ทำการทดลองปรับปรุงจนได้สายพันธุ์ดังกล่าว โดยการศึกษาในครั้งนี้เป็นการนำเอาเมล็ดสนู่ค้ำที่ฉายรังสีแกมมาแล้วมาหีบนำมัน ซึ่งความร้อนที่เกิดขึ้นจากการหีบอาจจะส่งผลกระทบต่อความสามารถในการย่อยโปรตีน ทำให้ปริมาณรังสีต่ำ ได้แก่ 10, 20 และ 30 กิโลกรัม ไม่สามารถเพิ่มความสามารถในการย่อยโปรตีนให้สูงขึ้นได้ ดังนั้นควรทำการศึกษาเปรียบเทียบผลกับตัวอย่างกากเมล็ดสนู่ค้ำที่ฉายรังสีภายหลังจากการหีบนำมันแล้ว
  
2. เนื่องจากเมล็ดสนู่ค้ำประกอบด้วยสารพิษและสารต้านโภชนาอื่นๆ นอกเหนือจากสารขับยั้งทริปซิน เช่น ชาโภนิน ไฟเตา และเลกติน ดังนั้นจึงควรทำการศึกษาผลของรังสีแกมมาต่อสารเหล่านี้ด้วย
  
3. การศึกษาความสามารถในการย่อยโปรตีนของกากเมล็ดสนู่ค้ำในครั้งนี้ใช้อ่อนไชม์ที่สังเคราะห์ขึ้น ไม่ได้ใช้อ่อนไชม์ที่สกัดจากตัวสัตว์เอง จึงควรมีการศึกษาเพิ่มเติมในอ่อนไชม์ที่สกัดจากตัวสัตว์ด้วย เนื่องจากในตัวสัตว์มีอ่อนไชม์ย่อยอาหารในกลุ่ม อะไมเลส และ ไลเปส นอกจากกลุ่มโปรตีอสที่ใช้ในการศึกษานี้ เพื่อใช้ทำนายผลที่จะปรากฏขึ้นในขั้นตอนของการศึกษาในตัวสัตว์ต่อไป
  
4. ในกรณีนำกากเมล็ดสนู่ค้ำไปใช้เป็นอาหารสัตว์ ควรมีการศึกษาวิธีการเพิ่มความสามารถในการย่อยโปรตีนด้วยการฉายรังสีแกมมาร่วมกับวิธีอื่นด้วย เช่น การใช้ความร้อน และการใช้ความร้อนร่วมกับสารเคมี เพื่อหาวิธีการเพิ่มความสามารถในการย่อยโปรตีนในกากเมล็ดสนู่ค้ำให้สูงขึ้น ขณะเดียวกันก็สามารถลดความเป็นพิษในกากเมล็ดสนู่ค้ำลงได้อย่างมีประสิทธิภาพเช่นกัน ซึ่งอาจทำให้ไม่จำเป็นต้องใช้ปริมาณรังสีแกมมากที่สูงถึง 60 กิโลกรัม และช่วยลดต้นทุนการฉายรังสีลงได้

## เอกสารและสิ่งอ้างอิง

กลุ่มสื่อส่งเสริมการเกษตร กระทรวงเกษตรและสหกรณ์. 2548. สนับได. กลุ่มสื่อส่งเสริม การเกษตร ส่วนส่งเสริมและเผยแพร่, กรุงเทพฯ.

จาเรวัตน์ เศรษฐก้าดี. 2528. อาหารสัตว์เศรษฐกิจ. ภาควิชาสัตวศาสตร์ คณะทรัพยากรธรรมชาติ มหาวิทยาลัยสงขลานครินทร์, สงขลา.

พจน์ ศรีบุญชัย, โสพิศ วงศ์คำ, พชรี บุญศิริ และ ประสงค์ くなบุวรรณ์ชัยเดช. 2540. ตำราชีวเคมี. ภาควิชาเคมี คณะแพทยศาสตร์ มหาวิทยาลัยขอนแก่น, ขอนแก่น

ปราณี อ่านเปรี้อง. 2547. เอนไซม์ทางอาหาร. สำนักพิมพ์จุฬาลงกรณ์มหาวิทยาลัย, กรุงเทพฯ.

ศรายุทธ ขัคคำ. 2551. ผลของรังสีแกรมมาต่อ กิจกรรมของสารยับยั้งทริปชินในเมล็ดสนับได. วิทยานิพนธ์ปริญญาโท, มหาวิทยาลัยเกษตรศาสตร์.

อมรรัตน์ จงสวัสดิ์รากูด. 2545. Evidence-based Maillard reaction: focusing on parenteral nutrition. วารสารโภชนาบำบัด 13(1): 2-4.

อุทัย คันโน. 2529. อาหารและการผลิตอาหารเลี้ยงสุกรและสัตว์ปีก. ภาควิชาสัตวบาล คณะเกษตร มหาวิทยาลัยเกษตรศาสตร์, กรุงเทพฯ.

Abdel Gadir, W.S., T.O. Onsa, W.E.M. Ali, S.M.A. El Badwi and S.E.I. Adam. 2003. Comparative toxicity of *Croton macrostachys*, *Jatropha curcas* and *Piper abyssinica* seeds in Nubian goats. **Small Rumin. Res.** 48: 61-67.

Aderibrigde, A.O., C.O.L.E. Johnson., H.P.S. Makkar., K. Becker and N. Foidl. 1997. Chemical composition and effect of heat on organic matter- and nitrogen-degradability and some antinutritional components of Jatropha meal. **Anim. Feed Sci. Technol.** 67: 223-243.

Adeyeye, E. I. 1996. The effect of heat treatment on the in-vitro multienzyme digestibility of protein of six varieties of African yam bean (*Sphenostylis stenocarpa*) flour. **Food Chem.** 97: 509-512.

Adler-Nissen, J. 1979. Determination of the degree of hydrolysis of food protein by Trinitrobenzenesulfonic acid. **J. Agric. Food Chem.** 27(6): 1256-1262.

Adolf, W., Opferkuch, J. and Hecker, E. 1984. Irritant phorbol derivatives from four *Jatropha* species. **Phytochemistry** 23(1): 129-132.

Akintayo, E.T. 2004. Characteristics and composition of *Parkia biglobossa* and *Jatropha curcas* oils and cakes. **Bioresour. Technol.** 92: 307-310.

AOAC. 2000. **Official method of analysis.** 16<sup>th</sup>. Association of official analytical chemists, Washington DC., USA.

Aregheore, E.M., Becker, K and H.P.S. Makkar. 2003. Detoxification of a toxic variety of *Jatropha curcas* using heat and chemical treatments and preliminary nutritional evaluation with rats. **S.Pac.J.Nat.Sci.** 21: 50-56

Belal, I.E. 2005. A review of some fish nutrition methodologies. **Biores. Technol.** 96: 395-402.

Bodwel, C.E. Satterlee, L.D. and Hakler, L.R. 1980. Protein Digestibility by Human and Rat Assays and by In Vitro Enzymic Digestion Methods. **Am. J. Clin. Nutr.** 33: 677-686.

Casarett A.P. 1968. **Radiation Biology.** Prentice-Hall, New Jersey.

Clarke, E. and J. Wiseman. 2005. Effect of variability in trypsin inhibitor content of soya bean meals on true and apparent ileal digestibility of amino acids and pancreas size in broiler Chicks. **Anim. Feed Sci. Technol.** 121:125-138.

- Chivandi, E., J.S. Read and S.M. Makuza. 2004. Effect of Processing Method on Phorbol Esters Concentration, Total Phenolics, Trypsin Inhibitor Activity and the Proximate Composition of the Zimbabwean *Jatropha curcas* Provenance: A Potential Live Stock Feed. **Pak. J. Biol. Sci.** 7(6): 1001-1005
- Conger, B.V., R.A. Nilan, C.F. Kanzak and S. Metler. 1996. The influence of seed water content on the oxygen effect in irradiated barley seeds. **Radiation Botany** 6: 129-144.
- Dianika, L, W. Mulderb and J. Sandersa. 2010. Improving *Jatropha curcas* seed protein recovery by using counter current multistage extraction. **J. Biochem Eng.**
- Duffus, C.M. and J.H. Duffus. 1991. In: D'Mello, F.J.P., Duffus, C.M., Duffus, J.H. (Eds.), Toxic Substances in Crop Plants. The Royal Society of Chemistry, Thomas Graham House, **Science Park**, Cambridge CB4 4WF, Cambridge, pp. 1-21.
- Emire, A.S. and S.K. Rakshit. 2005. Antinutritional factors and *in vitro* protein digestibility of improved haricot bean (*Phaseolus vulgaris* L.) varieties grown in Ethiopia. **Int J Food Sci Nutr.** 56: 377-387.
- Fenwick, G.R., K.R. Price, C. Tsukamoto and K. Okubo. 1991. Saponins. In: D'Mello, F.J.P., Duffus, C.M., Duffus, J.H. (Eds.), Toxic Substances in Crop Plants. The Royal Society of Chemistry, Thomas Graham House, **Science Park**, Cambridge CB4 4WF, Cambridge, pp. 285-327.
- Feltwell , R. and S. Fox. 1978. **Practical poultry feeding.** Fiber and fiber, London & Boston.
- Fifield, C.C., C. Columbia and J.L. Pearson. 1967. Effect of radiation on the biochemical Storage on alpha-glucosidase by *Adhatoda vasica* Nees. **Food Chem.** 108: 965-972.

- Fombang E.N., J.R.N. Taylor, C.M.F. Mbofung and A. Minnaar A. 2005. Use of gamma irradiation to alleviate the poor protein digestibility of sorghum porridge. **Food Chem.** 91: 695-703.
- Ford, D.J. 1976. The effect of methods of sterilization on the nutritive value of protein in commercial rat diet. **Brit. J. Nutr.** 35: 267.
- Ganayak, D.K., R.C. Pradhan, S.N. Naik and N. Bhatnagar. 2008. Moisture-dependent physical properties of jatropha seed (*Jatropha curcas L.*). **Indus. Crop. Prod.** 27: 123-129.
- Gordon, M.D. 2008. **Animal nutrition science**. Cambridge University, Cambridge.
- Grant, G. 1991. Lectins. In: D'Mello, F.J.P., Duffus, C.M., Duffus, J.H. (Eds.), **Toxic Substances in Crop Plants. The Royal Society of Chemistry**, Thomas Graham House, Science Park, Cambridge CB4 4WF, Cambridge, pp. 49-67.
- Gubitz, G.M., M. Mittelbach and M. Trabi. 1999. Exploitation of the tropical oil seed plant *Jatropha curcas L.* **Bioresource Technology**. 67: 73-82.
- Hall, E.J., D. Phil., D.Sc. and F.A.C.R. 1994. **Radiation for the radiologist**. 4<sup>th</sup> ed. J.B. Lippincott Company, Philadelphia.
- Hania F.G. and El-Niely. 2007. Effect of radiation processing on antinutrients, in-vitro protein digestibility and protein efficiency ratio bioassay of legume seeds. **Radiat. Phys. Chem.** 76: 1050-1057.
- Herren, R.V. 1998. **The science of animal agriculture**. 2<sup>nd</sup> ed. Deimar, New York.
- Hickman, J.R., D.L.A. Mclean and F.J. Ley. 1964. Rat feeding studies on wheat treated with Gamma irradiation 1 Reproduction. **Food Cos. Toxicol.** 2: 15-20.

Hoyle, T.N. and H.J. Merritt. 1994. Quality of fish protein hydrolysates from herring (*Clupea Hurengus*). **J. Food Sci.** 59: 76-79.

Hsu, H.W., D.L. Vavak, L.D. Satterlee and G.A. Miller. 1977. A multienzyme Technique for estimating protein digestibility. **J. Food Sci.** 42(5): 1269-1272.

Jutamas, S., E. Arunee, K. Uthaiwan, P. Pannee and C. Kiattawee. 2009. **Developement of Radiation Feed for Commercial Product of Adult Nile Tilapia, *Oreochromis Niloticus***. 35<sup>th</sup> Congress on Science and Technology of Thailand.

Kristinsson, H.G. and B.A. Rasco. 2000. Biochemical and functional properties of Atlantic Salmon (*Salmo salar*) muscle proteins hydrolyzed with various alkaline proteases. **J Agric. Food Chem.** 48: 657-666.

Lemieux, H., P. Blier and J.D. Dutil. 1999. Do digestive enzymes set a physiological limit on growth rate and food conversion efficiency in the Atlantic cod (*Gadus morhua*). **Fish Physiol Biochem.** 20: 293-303.

Liberalino, A.A.A., E.A. Bambiia, T. Moraes-Santos and E.C. Viera. 1988. *Jatropha curcas* L. seeds: Chemical analysis and toxicity. **Arq. Biol. Technol.** 31: 539-550.

Lin, J., F. Yan, L. Tang and F. Chen. 2003. Antitumor effects of curcin from seeds of *Jatropha curcas*, **Acta Pharmacol. Sin.** 24: 241-246.

Lowton, J.E. 1952. Effect of high-energy cathode rays on cellulose. **Indust. Chem.** 44: 2848.

Macdonal, P., R.A. Edward and J.F.D. Greenhalgh. 1988. **Animal nutrition**. 4<sup>th</sup> ed. Longman Scientific, Hong Kong.

- Martinez J., P. Siddhuraju., G. Francis., G. Davila-Ortiz. and K. Becker. 2006. Chemical composition, toxic/antimetabolic constituents, and effects of different treatments on their levels, in four provenances of *Jatropha curcas* L. from Mexico. **J Food Sci.** 96: 80-89.
- Masri-AL, M.R. 1998. Changes in contents and *in vitro* digestibility of laying-hens excreta used as feedstuffs due to drying and gamma irradiation. **Appl. Radiat Isot.** 49: 767-771.
- Masri, M.R. and K.D. Guenther. 1999. Changes in digestibility and cell-wall constituents of some agricultural by-products due to gamma irradiation and urea treatments. **Radiat. Phys. Chem.** 55: 323-329.
- Masri, M.R. and M. Zarkawi. 1994. Effects of gamma irradiation on cell-wall constituents of some agricultural residues. **Radiat. Phys. Chem.** 44: 661.
- Masri-AL, M.R. and M. Zarkawi. 1996. **Chemical changes of some nutritive components in poultry litter under the influence of gamma irradiation.** Unpublished.
- Makkar, H.P.S. 1993. **Antinutritional factors in foods for livestock.** In: Gill, M., Owen, E., Pollot, G.E., Lawrence, T.L.J. (Eds)..., Animal Production in Developing Countries. Occasional publication No.16. British Society of Animal Production, p. 69-85.
- \_\_\_\_\_ and K. Becker. 1998. ***Jatropha curcas* toxicity: identification of toxic principle (s), in: Toxic Plants Other Nat. Toxicants** [5th Proc. Int. Symp. Poisonous Plants]. p. 554-558.
- \_\_\_\_\_. 1999. Nutritional studies on rats and fish (carp, *Cyprinus carpio*). fed diets containing unheated and heated *Jatropha curcas* meal of a non-toxic provenance. **Plant Foods Hum. Nutr.** 53: 183-192.

Makkar, H.P.S., K. Becker, F. Sporer and M. Wink. 1997. Studies on nutritive potential and toxic constituents of different provenances of *Jatropha curcas*. **J. Arg. Food. Chem.** 45: 3152-3157.

Mehrez, A.Z. and E.R. Ørskov. 1977. A study on the artificial fiber bag technique for determining the digestibility of feeds in the rumen. **J. Arg. Sci.** 88: 645-650.

Odusote, O.M., A.O. Abioye and M.O. Rotib. 2002. *Jatropha curcas* seed oil Linn (Euphorbiaceae) contraceptive activity and on oral formulation. Nig. Quart. **J. Hosp. Med.** 12 (1-4): 44-47.

Openshaw, K. 2000. A review of *Jatropha curcas*: An oil plant of unfulfilled promise. **Biomass and Bioenergy.** 19: 1-15.

Partridge, I.C. 1978. Studies on digestion and absorption in the intestinal of growing pigs. **Br. J. Nutri.** 39: 539-545.

Pierce Chemical Company. 1999. **Instructions TNBS** (online). <http://www.piercenet.com/>, January 16, 2009.

Prangtip S, P. Teerayut, A. Teerasak, K. Satit, K. Uthaiwan and E. Arunee. 2005. **Amylase and Proteinase in Freshwater Pearl Mussel, *Hyriopsis (Hyriopsis) bialatus* Simpson, 1900.** II. **In Vitro Algal Digestibility.** 31<sup>st</sup> Congress on Science and Technology of Thailand at Suranaree University of Technology.

Rabab Rattansi and Madhurima Dikshit. 1997. Protease inhibitor and in vitro digestibility of karanja (*Pongamia glabra*) oil seed residue. A compare study of various treatments. **JAOCs.** 74: 1161-1164.

Richardson, N.L., D.A. Higgs, R.M. Beames and J.R. McBride. 1985. Influence of dietary calcium, phosphorous, zinc and sodium phytate level on cataract incidence, growth and histopathology in juvenile Chinook salmon (*Oncorhynchus tshawytscha*). **J. Nutr.** 115: 553-567.

Rungruangsak-Torrisen, K. 2007. Digestive efficiency, growth and qualities of muscle and oocyte in Atlantic salmon (*Salmo salar L.*) fed on diets with krill meal as an alternative protein source. **J. Food Biochem.** 31: 509-540.

\_\_\_\_\_, E. Lied and M. Espe. 1998. Differences in digestion and absorption of dietary protein in Atlantic salmon (*Salmo salar*) with genetically different trypsin isozymes. **J. Fish Biol.** 45: 1087-1104.

\_\_\_\_\_, K. and R. Male. 2000. **Trypsin isozymes: development, digestion and structure, In N.F. Haard and B.K. Simpson, ed.** Seafood Enzymes, Utilization and Influence on Postharvest Seafood Quality. Marcel Dekker, Inc., New York.

\_\_\_\_\_, A. Rustad, J. Sunde, S. Eiane, H.B. Jensen, J. Opstvedt, E. Nygård, T.A. Samuelsen, H. Mundheim, U. Luzzana and G. Venturini. 2002. In vitro digestibility based on fish crude enzyme extract for prediction of feed quality in growth trials. **J. Sci. Food Agric.** 82: 644-654.

\_\_\_\_\_, R. Moss, L.H. Anderson, A. Berg and R. Waagbo. 2006. Different Expressions of trypsin and chymotrypsin in relation to growth in Atlantic salmon (*Salmo salar L.*). **Fish Physiol. Biochem.** 19: 247-255

Sandev, S. and I. Karaivanov. 1977. The composition and digestibility of irradiated roughage: treatment with gamma irradiation. **Tierernahr.Fuetter.** 10: 238-242.

Siddhuraju, P., H.P.S. Makkar and K. Becker. 2002a. The effect of ionizing radiation on antinutritional factors and the nutritional value of plant materials with reference to Human and animal food. **Food Chem.** 78: 187-205.

\_\_\_\_\_, H.P.S. Makkar and K. Becker. 2002b. effect of soaking and ionizing radiation on various antinutritional factors of seeds from different species of an unconventional legume, *Sebania* and a common legume, green gram (*Vigna radiate*). **Food Chem.** 79: 272-281

Shimoyamada, M., S. Ikeda, R. Ootsubo and K. Watanabe. 1998. Effects of soybean saponins on chymotryptichydrolyses of soybean proteins. **J. Agric. Food Chem.** 46(12): 4793-4797.

Sunde. J., G.L. Taranger and K. Rungruangsak-Torrisen. 2001. Digestive protease activities and free amino acid in white muscle as indicators for feed conversation efficiency and growth rate in Atlantic salmon (*Salmo salar* L.). **Fish Physiol. Biochem.** 25: 335-345.

Thayer, D.W. 1990. Food irradiation: benefits and concerns. **Journal of food quality.** 13:147-169.

Veljkovic, V.B., S.H. Lakicevic, O.S. Stamenkovic, Z.B. Todorovic and K.L. Lazic. 2006. Biodiesel production from tobacco (*Nicotianatabacum* L.) seed oil with a high content of free fatty acids. **Fuel.** 85: 2671-2675

Wee, K.L. and S.W. Shu. 1989. The nutritive value of boiled full-fat soybean in pelleted feed for Nile tilapia. **Aquaculture.** 81: 303-314.

Wilhelm Haas and Martin Mittelbach. 2000. Detoxification experiments with the seed oil from *Jatropha curcas* L. **Indus. Crop. Prod.** 12: 111-118.



สิงหนาท มหาวิทยาลัยเกษตรศาสตร์

### ผลการศึกษาองค์ประกอบทางโภชนาะของเมล็ดสนผู้ดำเนิน

#### ความชื้น

ตารางผนวกที่ 1 ผลการวิเคราะห์ความชื้นในเมล็ดสนผู้ดำเนินควบคุม (Control)

พันธุ์	ลำดับ	W	X	Y	ความชื้น (%)	เฉลี่ย (%) (mean ± S.E.)
KU 16	1	2.0026	12.6020	14.4874	5.85	
	2	2.0336	12.5690	14.4775	6.15	5.85±0.17
	3	2.0386	12.3536	14.2788	5.56	
KU 20	1	2.0259	12.0731	13.9878	5.48	
	2	2.0194	12.1744	14.0835	5.46	5.48±0.01
	3	2.0275	12.4221	14.3359	5.52	
KU 27	1	2.0508	12.4960	14.4397	5.22	
	2	2.0352	12.8137	14.7388	5.40	5.30±0.05
	3	2.0702	14.3474	16.3080	5.29	
KU 78-9	1	2.0224	12.7691	14.6944	4.80	
	2	2.0231	13.8172	15.7467	4.62	4.67±0.06
	3	2.0490	12.0796	14.0340	4.61	
KU 80-3	1	2.0569	13.3527	15.3080	4.93	
	2	2.0799	12.9548	14.9307	5.00	4.97±0.02
	3	2.0625	12.0681	14.0275	4.99	

หมายเหตุ W คือ น้ำหนักตัวอย่างก่อนอบ (กรัม)

X คือ น้ำหนักถ่วงหาความชื้น (กรัม)

Y คือ น้ำหนักถ่วงหาความชื้นและตัวอย่างหลังอบ (กรัม)

**ตารางผนวกที่ 2 ผลการวิเคราะห์ความชื้นในเมล็ดสบู่ดำปริมาณรังสี 60 กิโลกราฟ**

พันธุ์	จำพวก	W	X	Y	ความชื้น (%)	เฉลี่ย (%) (mean ± S.E.)
KU 16	1	2.0317	11.8886	13.8313	4.38	
	2	2.0289	14.0831	16.1715	5.15	4.64±0.25
	3	2.0304	14.2310	16.1720	4.40	
KU 20	1	2.0820	12.8532	14.8456	4.30	
	2	2.0835	14.2831	16.2782	4.24	4.31±0.04
	3	2.0835	12.1928	14.1844	4.41	
KU 27	1	2.0290	12.4163	14.3662	3.89	
	2	2.0269	12.2255	14.1808	3.53	3.69±0.10
	3	2.0420	12.7256	14.6931	3.66	
KU 78-9	1	2.0215	12.0438	13.9813	4.06	
	2	2.0361	11.7035	13.6555	4.13	4.03±0.06
	3	2.0208	12.2176	14.1590	3.92	
KU 80-3	1	2.0387	14.3993	16.3483	4.39	
	2	2.0331	14.2294	16.1690	4.59	4.41±0.09
	3	2.0330	13.0661	15.0124	4.26	

หมายเหตุ W คือ น้ำหนักตัวอย่างก่อนอบ (กรัม)

X คือ น้ำหนักถ่วงหาความชื้น (กรัม)

Y คือ น้ำหนักถ่วงหาความชื้นและตัวอย่างหลังอบ (กรัม)

**ตารางผนวกที่ 3 ผลการวิเคราะห์ความชื้นในเมล็ดสบู่ดำปริมาณรังสี 100 กิโลกราฟ**

พันธุ์	ช่วง	W	X	Y	ความชื้น (%)	เฉลี่ย (%) (mean ± S.E.)
KU 16	1	2.0556	12.1917	14.1373	5.35	
	2	2.0432	12.7245	14.6691	5.17	5.16±0.10
	3	2.0604	14.3990	16.3603	4.97	
KU 20	1	2.0898	14.2299	16.2194	4.79	
	2	2.0904	12.8139	14.8028	4.85	4.80±0.02
	3	2.0885	12.4208	14.4094	4.78	
KU 27	1	2.0396	11.9485	13.8833	5.13	
	2	2.0540	14.2837	16.2335	5.07	5.13±0.04
	3	2.0789	12.2174	14.1878	5.21	
KU 78-9	1	2.0600	14.2286	16.1930	4.64	
	2	2.0603	11.7031	13.6657	4.74	4.68±0.03
	3	2.0545	12.2256	14.1843	4.66	
KU 80-3	1	2.0817	12.3363	14.3165	4.87	
	2	2.0735	12.4152	14.3856	4.97	4.62±0.04
	3	2.0775	12.8534	14.8304	4.83	

หมายเหตุ W คือ น้ำหนักตัวอย่างก่อนอบ (กรัม)

X คือ น้ำหนักถ่วงหาความชื้น (กรัม)

Y คือ น้ำหนักถ่วงหาความชื้นและตัวอย่างหลังอบ (กรัม)

## ไขมัน

ตารางผนวกที่ 4 ผลการวิเคราะห์ไขมันในเมล็ดสนู่ด้าของตัวควบคุม (Control)

พันธุ์	ชุด	W	X	Y	ไขมัน (%)	เฉลี่ย (%) (mean ± S.E.)
KU 16	1	2.0758	2.4338	3.0648	30.39	
	2	2.0852	2.4395	3.0804	30.73	30.34±0.24
	3	2.0632	2.4573	3.0742	29.90	
KU 20	1	2.0886	2.4259	3.0727	30.96	
	2	2.0830	2.5004	3.0946	28.74	30.77±1.12
	3	2.0675	2.4075	3.0822	32.63	
KU 27	1	2.0864	2.4455	3.0921	30.99	
	2	2.0885	2.3944	3.0918	33.39	32.63±0.82
	3	2.0723	2.3517	3.0465	33.52	
KU 78-9	1	2.0664	2.3319	3.0884	36.60	
	2	2.0488	2.3034	3.0439	36.14	36.44±0.15
	3	2.0608	2.3035	3.0593	36.58	
KU 80-3	1	2.0522	2.2986	3.0609	37.14	
	2	2.0473	2.9638	3.0414	37.98	37.10±0.51
	3	2.0410	2.9912	3.0302	36.20	

หมายเหตุ W คือ น้ำหนักตัวอย่าง

X คือ น้ำหนักกระดาษกรองและตัวอย่าง (หลังสกัดไขมัน)

Y คือ น้ำหนักกระดาษกรองและตัวอย่าง (หลังอบ 4-5 ชั่วโมง)

**ตารางผนวกที่ 5 ผลการวิเคราะห์ไขมันในเมล็ดสนุุ่ดำปริมาณรังสี 60 กิโลกรัม**

พันธุ์	ชุด	W	X	Y	ไขมัน (%)	เฉลี่ย (%) (mean ±S.E.)
KU 16	1	2.0879	2.4215	3.0638	30.76	
	2	2.0801	2.4332	3.0735	30.78	30.56±0.20
	3	2.0809	2.4439	3.0713	30.15	
KU 20	1	2.0445	2.2950	3.0179	35.35	
	2	2.0461	2.3083	3.0526	36.37	36.20±0.45
	3	2.0430	2.2705	3.0245	36.90	
KU 27	1	2.0646	2.4330	3.0529	30.02	
	2	2.0563	2.3535	3.0576	34.19	32.19±1.20
	3	2.0527	2.3767	3.0603	32.36	
KU 78-9	1	2.0530	2.3232	3.0410	34.96	
	2	2.0657	2.3595	3.0663	34.21	34.75±0.27
	3	2.0533	2.3211	3.0420	35.10	
KU 80-3	1	2.0752	2.3361	3.0680	35.26	
	2	2.0705	2.3154	3.0598	35.95	35.90±0.36
	3	2.0700	2.2981	3.0539	36.51	

หมายเหตุ W คือ น้ำหนักตัวอย่าง

X คือ น้ำหนักระดับกรองและตัวอย่าง (หลังสกัดไขมัน)

Y คือ น้ำหนักระดับกรองและตัวอย่าง (หลังอบ 4-5 ชั่วโมง)

**ตารางผนวกที่ 6 ผลการวิเคราะห์ไขมันในเมล็ดสนุุ่ดำปริมาณรังสี 100 กิโลกรัม**

พันธุ์	ชั้น	W	X	Y	ไขมัน (%)	เฉลี่ย (%) (mean ± S.E.)
KU 16	1	2.0711	2.3672	3.0669	33.78	
	2	2.0726	2.3832	3.0419	31.75	33.08±0.66
	3	2.0573	2.3650	3.0590	33.73	
KU 20	1	2.0607	2.2939	3.0303	35.73	
	2	2.0546	2.2886	3.0257	35.87	35.95±0.15
	3	2.0684	2.2885	3.3038	36.25	
KU 27	1	2.0695	2.3695	3.0678	33.74	
	2	2.0537	2.2855	2.9669	33.16	33.23±0.27
	3	2.0697	2.3684	3.0514	32.80	
KU 78-9	1	2.0818	2.3583	3.0934	35.31	
	2	2.0840	2.3211	3.0693	35.90	35.99±0.42
	3	2.0846	2.2875	3.00543	36.78	
KU 80-3	1	2.0543	2.2736	3.0752	39.02	
	2	2.0675	2.3192	3.0638	36.01	37.07±0.97
	3	2.0740	2.2874	3.0379	36.18	

หมายเหตุ W คือ น้ำหนักตัวอย่าง

X คือ น้ำหนักกระดาษกรองและตัวอย่าง (หลังสกัดไขมัน)

Y คือ น้ำหนักกระดาษกรองและตัวอย่าง (หลังอบ 4-5 ชั่วโมง)

## ເຢືອໄຍ

ตารางພາວກທີ 7 ພລກາຣົວເຄຣະທີ່ເຢືອໄຍໃນມີຄສຸງດຳຂອງຕັວຄວບຄຸມ (Control)

ພັນນີ້	ໜໍາ	W	X	Y	ເຢືອໄຍ (%)	ແນດີໍຍ (%)
					(mean ±S.E.)	
KU 16	1	1.1455	33.1539	32.7700	33.51	
	2	1.1445	30.5515	30.1645	33.81	33.83±0.19
	3	1.1498	30.8968	30.5036	34.19	
KU 20	1	1.1830	30.8961	30.4833	34.89	
	2	1.1827	30.7099	30.3074	34.03	34.58±0.27
	3	1.1824	30.7216	30.3142	34.83	
KU 27	1	1.1552	30.6952	30.2954	34.60	
	2	1.1533	33.2002	32.7988	34.80	34.18±0.52
	3	1.1554	30.5066	30.1236	33.14	
KU 78-9	1	1.1672	32.8822	32.4714	35.19	
	2	1.1664	30.5519	30.1456	34.87	34.80±0.24
	3	1.1632	32.8430	32.4435	34.34	
KU 80-3	1	1.1615	31.0086	30.5573	38.85	
	2	1.1600	33.1654	32.7655	37.44	37.65±0.64
	3	1.1618	31.3728	30.9817	36.66	

ໝາຍເຫດ W ຄື່ອ ນໍ້າຫັກຕ້ວຍໆງ

X ຄື່ອ ນໍ້າຫັກຂອງ Filter glass crucible ທີ່ມີຕ້ວຍໆງໜັງໜັງທັນຕົ້ມແລະອັບທີ່ອຸນຫຼຸມ

100 ອົງຄາເຊລເຊີບສ

Y ຄື່ອ ນໍ້າຫັກຂອງ Filter glass crucible ທີ່ມີຕ້ວຍໆງແລະເພາທີ່ອຸນຫຼຸມ 500  
ອົງຄາເຊລເຊີບສ

**ตารางผนวกที่ 8 ผลการวิเคราะห์เยื่อไขในเมล็ดสนผู้คำปริมาณรังสี 60 กิโลกรัม**

พันธุ์	จำ	W	X	Y	เยื่อไข (%)	เฉลี่ย (%) (mean ± S.E.)
KU 16	1	1.1716	31.1208	30.7628	30.55	
	2	1.1733	33.1838	32.8070	32.11	30.95±0.58
	3	1.1719	30.4566	30.1028	30.19	
KU 20	1	1.1472	32.1071	31.7573	30.46	
	2	1.1475	32.8641	32.5108	30.86	30.40±0.28
	3	1.1487	30.3830	30.0389	29.87	
KU 27	1	1.1440	33.5381	33.1771	31.55	
	2	1.1432	30.3344	29.9843	30.62	31.37±0.39
	3	1.1464	32.9785	32.6120	31.96	
KU 78-9	1	1.1591	30.4268	30.0666	31.07	
	2	1.1599	30.5244	30.1805	29.64	30.77±0.58
	3	1.1597	30.3387	29.9721	31.61	
KU 80-3	1	1.1586	30.5089	30.0934	35.86	
	2	1.1590	30.8541	30.4507	34.57	33.75±1.50
	3	1.1593	30.5038	30.1463	30.83	

หมายเหตุ W คือ น้ำหนักตัวอย่าง

X คือ น้ำหนักของ Filter glass crucible ที่มีตัวอย่างหลังต้มและอบที่อุณหภูมิ 100 องศาเซลเซียส

Y คือ น้ำหนักของ Filter glass crucible ที่มีตัวอย่างและเผาที่อุณหภูมิ 500 องศาเซลเซียส

**ตารางผนวกที่ 9 ผลการวิเคราะห์เยื่อไขในเมล็ดสนุ่ดำปริมาณรังสี 100 กิโลกรัม**

พันธุ์	ชุด	W	X	Y	เยื่อไข (%)	เฉลี่ย (%) (mean ± S.E.)
KU 16	1	1.1818	30.9640	30.6306	28.21	
	2	1.1813	30.2622	29.9075	30.02	28.06±1.17
	3	1.1819	30.7905	30.4836	25.96	
KU 20	1	1.1677	30.6688	30.3186	29.99	
	2	1.1687	30.5626	30.2109	30.09	30.05±0.03
	3	1.1698	30.4349	30.0830	30.08	
KU 27	1	1.1698	30.6373	30.2663	31.71	
	2	1.1713	30.4401	30.0826	30.52	30.53±0.67
	3	1.1681	30.2682	29.9252	29.36	
KU 78-9	1	1.1841	30.8019	30.4403	30.53	
	2	1.1848	30.3402	29.9814	30.28	30.54±0.15
	3	1.1862	30.4737	30.1079	30.83	
KU 80-3	1	1.1788	31.9594	31.5713	32.92	
	2	1.1764	31.3625	30.9706	33.31	32.97±0.18
	3	1.1771	33.0128	32.6281	32.68	

หมายเหตุ W คือ น้ำหนักตัวอย่าง

X คือ น้ำหนักของ Filter glass crucible ที่มีตัวอย่างหลังต้มและอบที่อุณหภูมิ 100 องศาเซลเซียส

Y คือ น้ำหนักของ Filter glass crucible ที่มีตัวอย่างและเผาที่อุณหภูมิ 500 องศาเซลเซียส

ເຄົ້າ

**ตารางພນວກທີ 10 ພລກາຣົມເຄຣະທີ່ເຄົ້າໃນເມລືດສູ່ດຳຂອງຕັວຄວບຄຸມ (Control)**

ພັນຍື້	ໜໍາ	A	B	W	ເກົ່າ (%)	ເຈລື່ອ (%)
					(mean ±S.E.)	
KU 16	1	22.5706	22.6725	2.0814	4.89	
	2	23.6005	23.7020	2.0888	4.85	4.89±0.02
	3	22.5130	22.6124	2.0087	4.94	
KU 20	1	24.5476	24.6487	2.0735	4.47	
	2	23.4353	23.5377	2.0683	4.55	4.49±0.03
	3	22.3867	22.4879	2.0789	4.45	
KU 27	1	22.2072	22.2946	2.0726	4.21	
	2	24.0343	24.1228	2.0758	4.26	4.58±0.34
	3	23.1594	23.0498	2.0735	5.28	
KU 78-9	1	21.1802	21.2561	2.0699	3.66	
	2	23.0871	23.1645	2.0693	3.78	3.37±0.03
	3	22.5332	22.6114	2.0748	3.76	
KU 80-3	1	22.5426	22.6313	2.0832	4.25	
	2	22.5348	22.6240	2.0687	4.31	4.29±0.02
	3	22.6176	22.7071	2.0741	4.31	

ໝາຍເຫດ A ຄື່ອ ນໍາຫັນກໍ້ວຍ crucible ເປົ່າ

B ຄື່ອ ນໍາຫັນກໍ້ວຍ crucible ແລະ ຕັວຢ່າງໜັງເພາ

W ຄື່ອ ນໍາຫັນກັບຕັວຢ່າງ

**ตารางผนวกที่ 11 ผลการวิเคราะห์ถ้าในเมล็ดสนผู้คำปริมาณรังสี 60 กิโลกรัม**

พันธุ์	ชุด	A	B	W	ถ้า (%)	เฉลี่ย (%)
		(mean ±S.E.)				
KU 16	1	26.2267	26.3280	2.0844	4.85	
	2	33.6997	33.8016	2.0820	4.89	4.83±0.04
	3	32.1991	32.2980	2.0809	4.75	
KU 20	1	33.5300	33.6241	2.0811	4.52	
	2	40.5789	40.6720	2.0713	4.49	4.48±0.02
	3	31.2929	31.3852	2.0787	4.44	
KU 27	1	39.6355	39.7200	2.0816	4.15	
	2	31.4034	31.4913	2.0793	4.22	4.19±0.02
	3	36.5182	36.6063	2.0833	4.22	
KU 78-9	1	37.8877	37.9656	2.0737	3.75	
	2	44.1339	44.2143	2.0838	3.85	3.80±0.02
	3	34.4597	34.5394	2.0838	3.82	
KU 80-3	1	39.6465	39.7366	2.0719	4.34	
	2	36.0026	36.0935	2.0726	4.38	4.36±0.01
	3	36.7337	36.8246	2.0768	4.37	

หมายเหตุ A คือ นำหนักถ้วย crucible เป็นล่า

B คือ นำหนักถ้วย crucible และ ตัวอย่างหลังเผา

W คือ นำหนักตัวอย่าง

**ตารางผนวกที่ 12 ผลการวิเคราะห์ถ้าในเมล็ดสนผู้คำปริมาณรังสี 100 กิโลกรัม**

พันธุ์	ชุด	A	B	W	ถ้า (%)	เฉลี่ย (%)
		(mean ±S.E.)				
KU 16	1	22.5914	22.6901	2.0397	4.83	
	2	23.1731	23.2717	2.0661	4.77	4.82±0.02
	3	21.9237	22.0237	2.0549	4.86	
KU 20	1	21.5414	21.6363	2.0749	4.57	
	2	22.4470	22.5428	2.0853	4.59	4.57±0.01
	3	23.2679	23.3632	2.0926	4.55	
KU 27	1	22.4777	22.5681	2.0428	4.42	
	2	22.7882	22.8794	2.0554	4.43	4.46±0.03
	3	16.6310	16.7237	2.0460	4.53	
KU 78-9	1	18.0794	18.1622	2.0961	3.95	
	2	17.2240	17.3068	2.0754	3.98	3.97±0.02
	3	17.9394	18.0226	2.0828	3.99	
KU 80-3	1	22.0628	22.1535	2.0613	4.56	
	2	17.3660	17.4605	2.0717	4.40	4.46±0.05
	3	22.0646	22.1561	2.0701	4.42	

หมายเหตุ A คือ นำหนักถ้วย crucible เป็นล่า

B คือ นำหนักถ้วย crucible และ ตัวอย่างหลังเผา

W คือ นำหนักตัวอย่าง

## โปรตีน

ตารางผนวกที่ 13 ผลการวิเคราะห์โปรตีนในเมล็ดสนู๋ดำของตัวควบคุม (Control)

พันธุ์	ชุด	W	V1	V2	ในไตรเจน	โปรตีน	เฉลี่ย (%)
					(%)	(%)	(mean ± S.E.)
KU 16	1	0.5820	0.2	13.0	3.07	19.18	
	2	0.5858	0.2	13.6	3.20	20.30	20.16±0.61
	3	0.5849	0.2	13.3	3.34	21.31	
KU 20	1	0.5660	0.2	11.7	2.84	17.75	
	2	0.5684	0.2	12.0	2.90	18.12	17.89±0.11
	3	0.5641	0.2	11.7	2.85	17.81	
KU 27	1	0.5838	0.2	12.8	3.02	18.87	
	2	0.5830	0.2	13.4	3.16	19.75	19.45±0.29
	3	0.5833	0.2	13.4	3.16	19.75	
KU 78-9	1	0.5922	0.2	13.7	3.19	19.93	
	2	0.5962	0.2	13.4	3.09	19.31	19.60±0.18
	3	0.5933	0.2	13.5	3.13	19.56	
KU 80-3	1	0.5801	0.2	11.3	2.67	16.68	
	2	0.5817	0.2	10.1	2.38	14.87	15.72±0.52
	3	0.5821	0.2	10.6	2.50	15.62	

หมายเหตุ N คือ ความเข้มข้นของ Std.  $H_2SO_4 = 0.1 N$

V1 คือ ปริมาตรของ Std.  $H_2SO_4$  ที่ใช้ในการทดสอบ blank

V2 คือ ปริมาตรของ Std.  $H_2SO_4$  ที่ใช้ในการทดสอบตัวอย่าง

W คือ น้ำหนักตัวอย่าง

ตารางผนวกที่ 14 ผลการวิเคราะห์โปรตีนในเมล็ดสนบุ่งคำปริมาณรังสี 60 กิโลกรัม

พันธุ์	ชุด	W	V1	V2	ในโตรเจน	โปรตีน	เฉลี่ย (%)
					(%)	(%)	(mean ± S.E.)
KU 16	1	0.5882	0.2	14.0	3.28	20.50	
	2	0.5895	0.2	13.7	3.20	20.00	20.12±0.19
	3	0.5940	0.2	13.7	3.18	19.87	
KU 20	1	0.5413	0.2	11.4	2.89	18.06	
	2	0.5446	0.2	11.4	2.87	17.93	17.99±0.03
	3	0.5435	0.2	11.4	2.88	18.00	
KU 27	1	0.5524	0.2	11.7	2.91	18.81	
	2	0.5625	0.2	12.9	3.16	19.75	18.99±0.28
	3	0.5630	0.2	12.5	3.05	19.06	
KU 78-9	1	0.5531	0.2	13.3	3.31	20.68	
	2	0.5445	0.2	12.8	3.23	20.18	20.16±0.30
	3	0.5439	0.2	12.4	3.14	19.62	
KU 80-3	1	0.5579	0.2	9.7	2.38	14.87	
	2	0.5553	0.2	9.7	2.39	14.93	14.99±0.09
	3	0.5566	0.2	9.9	2.43	15.18	

หมายเหตุ N คือ ความเข้มข้นของ Std.  $H_2SO_4 = 0.1 N$

V1 คือ ปริมาตรของ Std.  $H_2SO_4$  ที่ใช้ในการทดสอบ blank

V2 คือ ปริมาตรของ Std.  $H_2SO_4$  ที่ใช้ในการทดสอบตัวอย่าง

W คือ น้ำหนักตัวอย่าง

**ตารางผนวกที่ 15 ผลการวิเคราะห์โปรตีนในเมล็ดสนบุ่งคำปริมาณรังสี 100 กิโลกรัม**

พันธุ์	ชุด	W	V1	V2	ในโตรเจน	โปรตีน	เฉลี่ย (%)
					(%)	(%)	(mean ± S.E.)
KU 16	1	0.5662	0.2	12.6	3.06	19.12	
	2	0.5623	0.2	12.2	2.98	18.62	18.91±0.15
	3	0.5653	0.2	12.5	3.04	19.00	
KU 20	1	0.5867	0.2	11.9	2.79	17.44	
	2	0.5862	0.2	12.4	2.91	18.21	17.68±0.26
	3	0.5835	0.2	11.8	2.78	17.39	
KU 27	1	0.5687	0.2	13.1	3.17	19.81	
	2	0.5680	0.2	13.2	3.20	20.00	20.04±0.14
	3	0.5684	0.2	13.4	3.25	20.31	
KU 78-9	1	0.5420	0.2	12.7	3.22	20.21	
	2	0.5402	0.2	12.8	3.26	20.37	20.31±0.05
	3	0.5400	0.2	12.8	3.26	20.37	
KU 80-3	1	0.5439	0.2	9.6	2.41	15.06	
	2	0.5444	0.2	9.3	2.34	14.62	14.81±0.13
	3	0.5442	0.2	9.4	2.36	14.75	

หมายเหตุ N คือ ความเข้มข้นของ Std.  $H_2SO_4 = 0.1 N$

V1 คือ ปริมาตรของ Std.  $H_2SO_4$  ที่ใช้ในการทดสอบ blank

V2 คือ ปริมาตรของ Std.  $H_2SO_4$  ที่ใช้ในการทดสอบตัวอย่าง

W คือ น้ำหนักตัวอย่าง

ตารางผนวกที่ 16 ค่าการดูดกลืนแสงที่ความยาวคลื่น 410 นาโนเมตร กับความเข้มข้นของ *p*-nitroaniline ตั้งแต่ 0.03-0.21 ไมโคร โมลต่อเมลลิลิตร

ความเข้มข้นของ <i>p</i> -nitroaniline (ไมโคร โมลต่อเมลลิลิตร)	$A_{410}$ (นาโนเมตร)	เฉลี่ย
0	0.000	
	0.000	0.000
	0.000	
0.03	0.131	
	0.128	0.128
	0.127	
0.06	0.253	
	0.254	0.255
	0.258	
0.09	0.378	
	0.389	0.383
	0.382	
0.12	0.503	
	0.497	0.501
	0.504	
0.15	0.630	
	0.632	0.629
	0.625	
0.18	0.755	
	0.777	0.764
	0.762	
0.21	0.890	
	0.887	0.888
	0.888	

ตารางผนวกที่ 17 ค่าการดูดกลืนแสงที่ความยาวคลื่น 410 นาโนเมตร ในกิจกรรมของเอนไซม์ทริปซินจากการคำนวณหากิจกรรมของเอนไซม์ทริปซินใน multienzyme

$A_{410}$	ค่าความชันจากกราฟ (นาโนเมตร)	DF*	กิจกรรมของเอนไซม์ทริปซิน ( $\mu\text{mol } p\text{-nitroaniline produced h}^{-1}$ )	เฉลี่ย
0.523	4.224	100	12.381	
0.519	4.224	100	12.286	12.350
0.523	4.224	100	12.381	

\* dilution factor (DF) จากสมการที่ 3

**ตารางผนวกที่ 18 ความสามารถในการย่อยโปรตีนในกากเมล็ดสนูดำหิ้ง 5 สายพันธุ์ที่ไม่ผ่านการฉายรังสี**

พันธุ์	A <sub>420</sub> (นาโนเมตร)	น้ำหนักของกากเมล็ดสนูดำหิ้ง (มิลลิกรัม)	การย่อยโปรตีน* n = 3	
			**	***
KU BP-16	0.188	5.4	657.19	53.21
	0.124	5.2	717.17	58.07
	0.122	5.1	713.54	57.77
KU BP-20	0.088	5.3	499.36	40.43
	0.098	5.2	566.80	45.89
	0.094	5.0	565.41	45.78
KU BP-27	0.146	5.3	828.48	67.08
	0.130	5.3	737.69	59.73
	0.148	5.1	872.77	70.66
KU BP 78-9	0.145	5.3	822.81	66.62
	0.154	5.4	857.69	69.44
	0.132	5.4	735.17	59.52
KU BP 80-3	0.104	5.1	613.29	49.65
	0.087	5.1	513.04	41.54
	0.099	5.2	572.58	46.36

\* คำนวณได้จากการที่ 4 โดยค่าความชันจากกราฟมาตรฐานของ L-Alanine มีค่าเท่ากับ 0.266 ค่า dilution factor เท่ากับ 8,000 และค่ากิจกรรมของเอนไซม์ทริปซิน เท่ากับ 12.35  $\mu\text{mol}$  *p*-nitroaniline produced per hour

\*\* หน่วย  $\mu\text{mol}$  L-Alanine equivalent per g feed

\*\*\* หน่วย  $\mu\text{mol}$  L-Alanine equivalent per g feed per trypsin activity

**ตารางผนวกที่ 19 ความสามารถในการย่อยโปรตีนในกากเมล็ดสนู่ดำทั้ง 5 สายพันธุ์ที่ผ่านการฉายรังสีปริมาณ 10 กิโลกราฟ\***

พันธุ์	A <sub>420</sub> (นาโนเมตร)	น้ำหนักของกากเมล็ดสนู่ดำ (มิลลิกรัม)	การย่อยโปรตีน* n = 3	
			**	***
KU BP-16	0.121	5.4	673.90	54.56
	0.135	5.5	738.20	59.77
	0.132	5.5	721.80	58.44
KU BP-20	0.101	5.2	584.15	47.29
	0.099	5.2	572.58	46.36
	0.096	5.5	524.94	42.50
KU BP-27	0.155	5.1	914.04	74.01
	0.141	5.3	800.11	64.78
	0.145	5.2	838.63	67.90
KU BP 78-9	0.149	5.0	896.24	72.56
	0.153	5.3	868.20	70.29
	0.151	5.4	840.99	68.09
KU BP 80-3	0.101	5.2	584.15	47.29
	0.084	5.2	485.83	39.33
	0.106	5.2	613.07	49.64

\* คำนวณได้จากการที่ 4 โดยค่าความชันจากกราฟมาตรฐานของ L-Alanine มีค่าเท่ากับ 0.266 ค่า dilution factor เท่ากับ 8,000 และค่ากิจกรรมของเอนไซม์ทริปซิน เท่ากับ 12.35  $\mu\text{mol}$  *p*-nitroaniline produced per hour

\*\* หน่วย  $\mu\text{mol}$  L-Alanine equivalent per g feed

\*\*\* หน่วย  $\mu\text{mol}$  L-Alanine equivalent per g feed per trypsin activity

**ตารางผนวกที่ 20 ความสามารถในการย่อยโปรตีนในกากเมล็ดสนู่ดำทั้ง 5 สายพันธุ์ที่ผ่านการฉายรังสีปริมาณ 20 กิโลกราฟ\***

พันธุ์	A <sub>420</sub> (นาโนเมตร)	น้ำหนักของกากเมล็ดสนู่ดำ (มิลลิกรัม)	การย่อยโปรตีน* n = 3	
			**	***
KU BP-16	0.122	5.3	692.29	56.05
	0.125	5.2	722.96	58.53
	0.145	5.3	822.81	66.62
KU BP-20	0.102	5.2	589.93	47.767
	0.103	5.1	607.40	49.18
	0.098	5.5	535.88	43.39
KU BP-27	0.145	5.1	855.07	69.23
	0.143	5.3	811.46	65.70
	0.15	5	902.25	73.05
KU BP 78-9	0.147	5.4	818.71	66.29
	0.155	5.3	879.55	71.21
	0.16	5.2	925.39	74.93
KU BP 80-3	0.105	5.2	607.28	49.17
	0.109	5.3	618.52	50.08
	0.098	5.2	566.80	45.89

\* คำนวณได้จากการที่ 4 โดยค่าความชันจากกราฟมาตรฐานของ L-Alanine มีค่าเท่ากับ 0.266 ค่า dilution factor เท่ากับ 8,000 และค่ากิจกรรมของเอนไซม์ทริปซิน เท่ากับ 12.35  $\mu\text{mol}$  *p*-nitroaniline produced per hour

\*\* หน่วย  $\mu\text{mol}$  L-Alanine equivalent per g feed

\*\*\* หน่วย  $\mu\text{mol}$  L-Alanine equivalent per g feed per trypsin activity

**ตารางผนวกที่ 21 ความสามารถในการย่อยโปรตีนในกากเมล็ดสนู่ดำทั้ง 5 สายพันธุ์ที่ผ่านการฉายรังสีปริมาณ 30 กิโลเกรย์**

พันธุ์	A <sub>420</sub> (นาโนเมตร)	น้ำหนักของกากเมล็ดสนู่ดำ (มิลลิกรัม)	การย่อยโปรตีน* n = 3	
			**	***
KU BP-16	0.134	5.3	760.39	61.56
	0.139	5.3	788.76	63.86
	0.135	5.1	796.10	64.46
KU BP-20	0.103	5.3	584.48	47.32
	0.117	5.2	676.69	54.79
	0.099	5.3	561.78	45.48
KU BP-27	0.147	5.1	866.87	70.19
	0.144	5	866.16	70.13
	0.149	5.3	845.51	68.46
KU BP 78-9	0.156	5.2	902.25	73.05
	0.158	5.3	896.58	72.59
	0.157	5.5	858.50	69.51
KU BP 80-3	0.105	5.1	619.19	50.136
	0.122	5.1	719.44	58.25
	0.11	5	661.65	53.57

\* คำนวณได้จากการที่ 4 โดยค่าความชันจากกราฟมาตรฐานของ L-Alanine มีค่าเท่ากับ 0.266 ค่า dilution factor เท่ากับ 8,000 และค่ากิจกรรมของเอนไซม์ทริปซิน เท่ากับ 12.35  $\mu\text{mol}$  *p*-nitroaniline produced per hour

\*\* หน่วย  $\mu\text{mol}$  L-Alanine equivalent per g feed

\*\*\* หน่วย  $\mu\text{mol}$  L-Alanine equivalent per g feed per trypsin activity

**ตารางผนวกที่ 22 ความสามารถในการย่อยโปรตีนในกากเมล็ดสนู่ด้าหัง 5 สายพันธุ์ที่ผ่านการฉายรังสีปริมาณ 60 กิโลกรัม**

พันธุ์	A <sub>420</sub> (นาโนเมตร)	น้ำหนักของกากเมล็ดสนู่ด้า (มิลลิกรัม)	การย่อยโปรตีน* n = 3	
			**	***
KU BP-16	0.164	5.3	930.62	75.35
	0.165	5.2	954.30	77.27
	0.153	5.3	868.20	70.29
KU BP-20	0.119	5.4	662.76	53.66
	0.122	5.2	705.61	57.13
	0.126	5	757.89	61.36
KU BP-27	0.157	5.1	925.84	74.96
	0.162	5.2	936.95	75.86
	0.165	5.2	954.30	77.27
KU BP 78-9	0.18	5	1082.70	87.66
	0.186	5.2	1075.76	87.10
	0.183	5	1100.75	89.12
KU BP 80-3	0.209	5.4	1164.02	94.25
	0.192	5.4	1069.34	86.58
	0.184	5.3	1044.12	84.54

\* คำนวณได้จากการที่ 4 โดยค่าความชันจากกราฟมาตรฐานของ L-Alanine มีค่าเท่ากับ 0.266 ค่า dilution factor เท่ากับ 8,000 และค่ากิจกรรมของเอนไซม์ทริปซิน เท่ากับ 12.35  $\mu\text{mol}$  *p*-nitroaniline produced per hour

\*\* หน่วย  $\mu\text{mol}$  L-Alanine equivalent per g feed

\*\*\* หน่วย  $\mu\text{mol}$  L-Alanine equivalent per g feed per trypsin activity

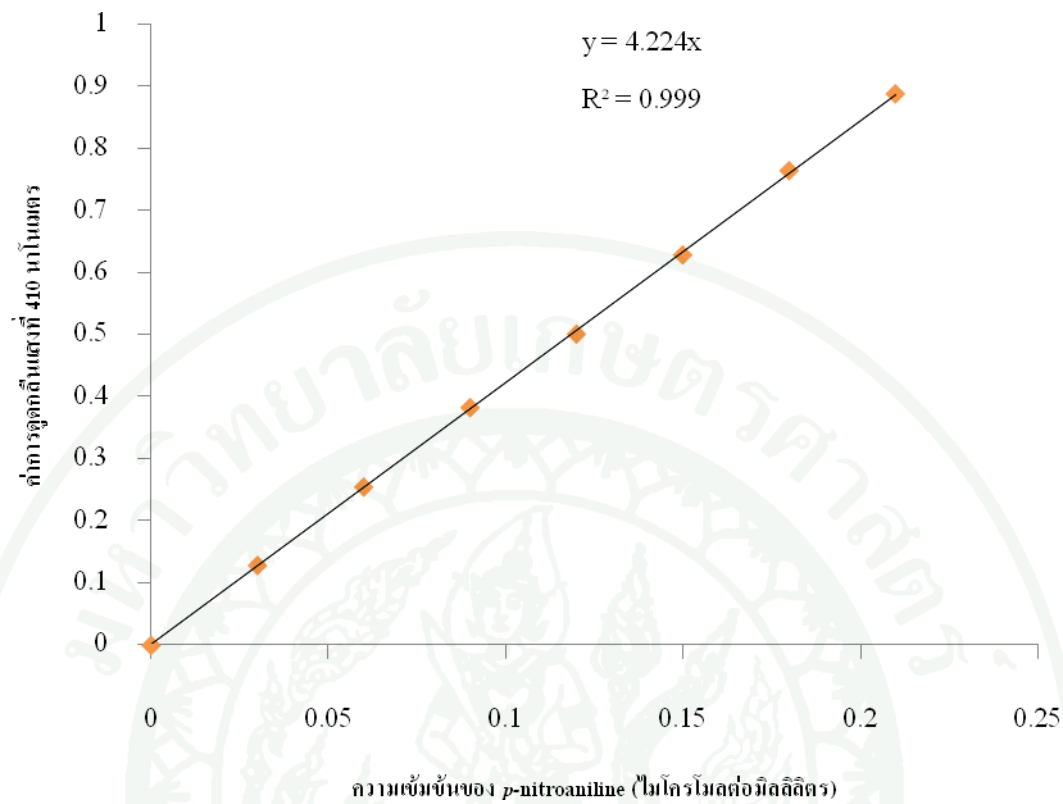
**ตารางผนวกที่ 23 ความสามารถในการย่อยโปรตีนในกากเมล็ดสนู่ดำทั้ง 5 สายพันธุ์ที่ผ่านการฉายรังสีปริมาณ 100 กิโลกรัม\***

พันธุ์	A <sub>420</sub> (นาโนเมตร)	น้ำหนักของกากเมล็ดสนู่ดำ (มิลลิกรัม)	การย่อยโปรตีน* n = 3	
			**	***
KU BP-16	0.151	5.2	873.33	70.71
	0.149	5.1	878.66	71.14
	0.153	5.1	902.25	73.05
KU BP-20	0.138	5.4	768.58	62.23
	0.145	5.4	807.57	65.39
	0.133	5.3	754.71	61.11
KU BP-27	0.167	5.3	947.65	76.73
	0.174	5.3	987.37	79.94
	0.169	5.3	959.00	77.65
KU BP 78-9	0.186	5.5	1017.08	82.35
	0.187	5.3	1061.14	85.92
	0.180	5.1	1061.47	85.94
KU BP 80-3	0.186	5.3	1055.46	85.46
	0.191	5.4	1063.77	86.13
	0.195	5.2	1127.82	91.32

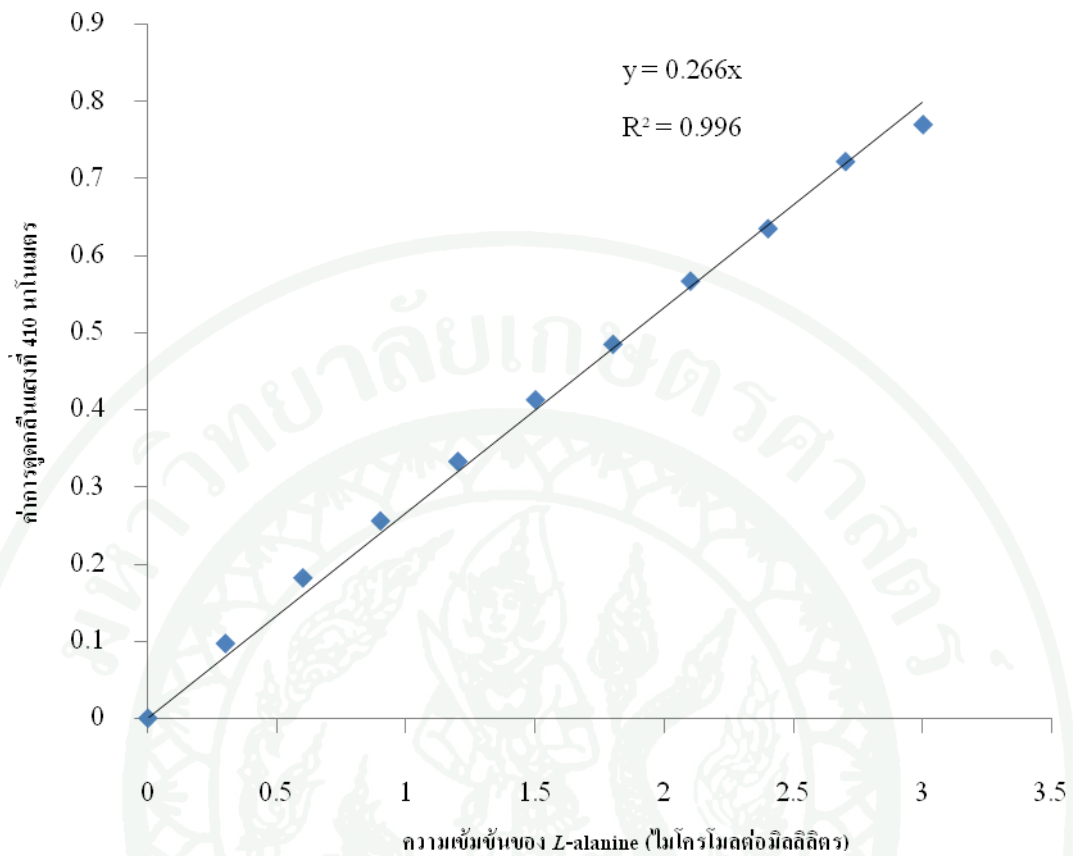
\* คำนวณได้จากการที่ 4 โดยค่าความชันจากกราฟมาตรฐานของ L-Alanine มีค่าเท่ากับ 0.266 ค่า dilution factor เท่ากับ 8,000 และค่ากิจกรรมของเอนไซม์ทริปซิน เท่ากับ 12.35  $\mu\text{mol}$  *p*-nitroaniline produced per hour

\*\* หน่วย  $\mu\text{mol}$  L-Alanine equivalent per g feed

\*\*\* หน่วย  $\mu\text{mol}$  L-Alanine equivalent per g feed per trypsin activity



ภาพผนวกที่ 1 กราฟมาตรฐานแสดงความสัมพันธ์ระหว่างค่าการดูดกลืนแสงที่ 410 นาโนเมตร กับความเข้มข้นของสารละลายน้ำ *p*-nitroaniline (ไมโครโมลต์/มิลลิลิตร)



ภาพผนวกที่ 2 กราฟมาตราฐานแสดงความสัมพันธ์ระหว่างค่าการดูดกลืนแสงที่ 410 นาโนเมตร กับความเข้มข้นของสารละลายมาตรฐาน L-alanine (ไมโครโมลต์ต่อมิลลิลิตร)

## ประวัติการศึกษา และการทำงาน

ชื่อ-นามสกุล

นายพิพัฒน์ พงษ์ จันทร์แดง

วัน เดือน ปี ที่เกิด

วันที่ 15 เดือนพฤษภาคม พ.ศ. 2527

สถานที่เกิด

จังหวัดนครพนม

ประวัติการศึกษา

ปริญญาโท สาขาวิชาสารสนเทศบัญชี สาขาสัตวศาสตร์  
มหาวิทยาลัยเทคโนโลยีราชมงคลล้านนา  
วิทยาเขตพิษณุโลก